

$^{123}\text{Sb}(^{48}\text{Ca}, 4n\gamma): \text{XUNDL-1}$     [2005Am02, 2003Am01, 2008Gu02](#)

Compiled (unevaluated) dataset from [2005Am02](#): Phys Rev C 71, 011302 (2005), and [2003Am01](#): Phys Lett B553, 197 (2003) and [2008Gu02](#): Phys Rev C 77, 024314 (2008). Includes [2007Be33](#): Acta Phys Pol B 38, 1535 (2007) and [2005Gu28](#): Jour Phys g 31, s1873 (2005).

Compiled by B. Singh (McMaster) March 31, 2003; updated by B. Singh, July 27, 2005.

Updated by S. Geraedts and B. Singh (McMaster) Mar 6, 2008, to include data from [2008Gu02](#) and numerical conversion coefficients received as email reply on Feb 28, 2008 from one of the authors (C.W. Beausang). Includes [2007Be33](#): Acta Phys Pol B 38, 1535 (2007) where measured K-conversion coefficients were given for triaxial SD-1 band.

[2005Am02](#) (also [2003Am01](#)): E=203 MeV. Measured  $E\gamma$ ,  $I\gamma$ ,  $\gamma\gamma$  coin,  $\gamma\gamma(\theta)(\text{DCO})$  using GAMMASPHERE array consisting of 100 Compton-suppressed Ge detectors. Four triaxial superdeformed structures were found, while data were reported for two such bands in addition to extending normal-deformed structures based on 1/2[411] and 5/2[402] Nilsson orbitals.

[2008Gu02](#): E=203 MeV. Measured  $E\gamma$ ,  $I\gamma$ ,  $\gamma\gamma$ ,  $\gamma(\text{ce})$  coin using Gammasphere array of 101 Compton-suppressed Ge detectors for  $\gamma$  rays and ICE Ball consisting of six mini-orange electron spectrometers for conversion electrons.

Detailed publications for the normal deformed bands and lifetime measurements in SD bands are in progress (as per references 11 and 12 in [2005Am02](#)).

All data are from [2005Am02](#) unless otherwise stated.

 $^{167}\text{Lu}$  Levels

E(level) <sup>†</sup>	J <sup>π</sup>	Comments
0.0 <sup>‡@</sup>	7/2 <sup>+</sup>	
0+x <sup>a</sup>	(1/2 <sup>+</sup> )	E(level), J <sup>π</sup> : from ENSDF for $^{167}\text{Lu}$ .
19.6+x <sup>&amp;</sup> 5	3/2 <sup>+</sup>	E(level): from ENSDF for $^{167}\text{Lu}$ . <a href="#">Additional information 1.</a>
38.6+x <sup>c</sup> 11	5/2 <sup>+</sup>	E(level): from ENSDF for $^{167}\text{Lu}$ . <a href="#">Additional information 2.</a>
122.6+x <sup>b</sup> 10	5/2 <sup>-</sup>	
140.0 <sup>‡#</sup>	(9/2 <sup>+</sup> )	
149.7+x <sup>a</sup> 8	5/2 <sup>+</sup>	
155.6+x <sup>d</sup> 7	7/2 <sup>+</sup>	
189.7+x <sup>&amp;</sup> 8	7/2 <sup>+</sup>	
234.6+x <sup>b</sup> 11	9/2 <sup>-</sup>	
300.4+x <sup>c</sup> 7	9/2 <sup>+</sup>	
305.3 <sup>‡@</sup>	(11/2 <sup>+</sup> )	
403.7+x <sup>a</sup> 8	9/2 <sup>+</sup>	
447.6+x <sup>b</sup> 11	13/2 <sup>-</sup>	
469.9+x <sup>d</sup> 8	11/2 <sup>+</sup>	
478.9+x <sup>&amp;</sup> 8	11/2 <sup>+</sup>	
494.2 <sup>‡#</sup>	(13/2 <sup>+</sup> )	
664.8+x <sup>c</sup> 8	13/2 <sup>+</sup>	
704.3 <sup>‡@</sup>	(15/2 <sup>+</sup> )	
754.8+x <sup>a</sup> 9	13/2 <sup>+</sup>	
761.6+x <sup>b</sup> 12	17/2 <sup>-</sup>	
858.3+x <sup>&amp;</sup> 9	15/2 <sup>+</sup>	
887.1+x <sup>d</sup> 9	15/2 <sup>+</sup>	
934.1 <sup>‡#</sup>	(17/2 <sup>+</sup> )	
1112.5+x <sup>c</sup> 9	17/2 <sup>+</sup>	
1172.6+x <sup>b</sup> 12	21/2 <sup>-</sup>	
1181.2 <sup>‡@</sup>	(19/2 <sup>+</sup> )	
1187.9+x <sup>a</sup> 9	17/2 <sup>+</sup>	
1318.0+x <sup>&amp;</sup> 10	19/2 <sup>+</sup>	
1377.6+x <sup>d</sup> 10	19/2 <sup>+</sup>	

Continued on next page (footnotes at end of table)

$^{123}\text{Sb}(^{48}\text{Ca}, 4n\gamma): \text{XUNDL-1}$  **2005Am02, 2003Am01, 2008Gu02** (continued) $^{167}\text{Lu}$  Levels (continued)

E(level) <sup>†</sup>	J <sup>π</sup>	E(level) <sup>†</sup>	J <sup>π</sup>	E(level) <sup>†</sup>	J <sup>π</sup>
1444.3 <sup>‡#</sup>	(21/2 <sup>+</sup> )	3945.6+x <sup>f</sup> 16	35/2 <sup>+</sup>	8115.6+x <sup>c</sup> 21	61/2 <sup>+</sup>
1621.4+x <sup>c</sup> 11	21/2 <sup>+</sup>	4096.4 <sup>‡#</sup>	(41/2 <sup>+</sup> )	8155.0+x <sup>e</sup> 21	61/2 <sup>+</sup>
1670.6+x <sup>b</sup> 13	25/2 <sup>-</sup>	4161.6+x <sup>g</sup> 21	39/2 <sup>-</sup>	8199.9+x <sup>?</sup> 22	(61/2 <sup>+</sup> )
1687.8+x <sup>a</sup> 10	21/2 <sup>+</sup>	4177.0+x <sup>c</sup> 18	41/2 <sup>+</sup>	8616+x <sup>g</sup> 3	63/2 <sup>-</sup>
1720.2 <sup>‡@</sup>	(23/2 <sup>+</sup> )	4273.6+x <sup>b</sup> 17	41/2 <sup>-</sup>	8917.8+x <sup>f</sup> 24	63/2 <sup>+</sup>
1828.1+x <sup>&amp;</sup> 13	23/2 <sup>+</sup>	4393.3+x <sup>e</sup> 17	41/2 <sup>+</sup>	8983.6+x <sup>b</sup> 22	65/2 <sup>-</sup>
1926.0+x <sup>d</sup> 11	23/2 <sup>+</sup>	4417.5 <sup>‡@</sup>	(43/2 <sup>+</sup> )	9009.8+x <sup>c</sup> 22	65/2 <sup>+</sup>
2008.0 <sup>‡#</sup>	(25/2 <sup>+</sup> )	4492.6+x <sup>f</sup> 16	39/2 <sup>+</sup>	9081.0+x <sup>e</sup> 23	65/2 <sup>+</sup>
2158.3+x <sup>c</sup> 11	25/2 <sup>+</sup>	4735.5 <sup>‡#</sup>	(45/2 <sup>+</sup> )	9541+x <sup>g</sup> 3	67/2 <sup>-</sup>
2231.8+x <sup>a</sup> 11	25/2 <sup>+</sup>	4784.6+x <sup>g</sup> 23	43/2 <sup>-</sup>	9841+x <sup>f</sup> 3	67/2 <sup>+</sup>
2245.6+x <sup>b</sup> 13	29/2 <sup>-</sup>	4832.2+x <sup>c</sup> 19	45/2 <sup>+</sup>	9941.8+x <sup>c</sup> 24	69/2 <sup>+</sup>
2249.6+x <sup>e</sup> 13	25/2 <sup>+</sup>	4909.6+x <sup>b</sup> 18	45/2 <sup>-</sup>	9963.6+x <sup>b</sup> 25	69/2 <sup>-</sup>
2299.4 <sup>‡@</sup>	(27/2 <sup>+</sup> )	5048.0+x <sup>e</sup> 18	45/2 <sup>+</sup>	10040.0+x <sup>e</sup> 25	69/2 <sup>+</sup>
2369.3+x <sup>&amp;</sup> 13	27/2 <sup>+</sup>	5093.5 <sup>‡@</sup>	(47/2 <sup>+</sup> )	10521+x <sup>g</sup> 4	71/2 <sup>-</sup>
2477.9+x <sup>d</sup> 12	27/2 <sup>+</sup>	5097.6+x <sup>f</sup> 17	43/2 <sup>+</sup>	10817+x <sup>f</sup> 3	71/2 <sup>+</sup>
2580.6 <sup>‡#</sup>	(29/2 <sup>+</sup> )	5443.1 <sup>‡#</sup>	(49/2 <sup>+</sup> )	10930+x <sup>c</sup> 3	73/2 <sup>+</sup>
2631.6+x <sup>g</sup> 16	27/2 <sup>-</sup>	5455.6+x <sup>g</sup> 25	47/2 <sup>-</sup>	10997+x <sup>b</sup> 3	73/2 <sup>-</sup>
2664.6+x 16	27/2 <sup>-</sup>	5557.3+x <sup>c</sup> 20	49/2 <sup>+</sup>	11056+x <sup>e</sup> 3	73/2 <sup>+</sup>
2666.0+x <sup>c</sup> 12	29/2 <sup>+</sup>	5605.6+x <sup>b</sup> 19	49/2 <sup>-</sup>	11558+x <sup>g</sup> 4	75/2 <sup>-</sup>
2720.4+x <sup>e</sup> 11	29/2 <sup>+</sup>	5749.8+x <sup>e</sup> 19	49/2 <sup>+</sup>	11849+x <sup>f</sup> 3	75/2 <sup>+</sup>
2823.2 <sup>‡@</sup>	(31/2 <sup>+</sup> )	5755.7+x <sup>f</sup> 18	47/2 <sup>+</sup>	11984+x <sup>c</sup> 3	77/2 <sup>+</sup>
2886.6+x <sup>b</sup> 15	33/2 <sup>-</sup>	5833.8 <sup>‡@</sup>	(51/2 <sup>+</sup> )	12132+x <sup>e</sup> 3	77/2 <sup>+</sup>
2910.3+x <sup>&amp;</sup> 17	31/2 <sup>+</sup>	6171.6+x <sup>g</sup> 27	51/2 <sup>-</sup>	12657+x <sup>g</sup> 4	79/2 <sup>-</sup>
2930.1+x <sup>d</sup> 13	31/2 <sup>+</sup>	6213.3 <sup>‡#</sup>	(53/2 <sup>+</sup> )	12933+x <sup>f</sup> 4	79/2 <sup>+</sup>
3044.1 <sup>‡#</sup>	(33/2 <sup>+</sup> )	6359.5+x <sup>c</sup> 21	53/2 <sup>+</sup>	13104+x <sup>c</sup> 3	81/2 <sup>+</sup>
3088.6+x <sup>g</sup> 15	31/2 <sup>-</sup>	6365.6+x <sup>b</sup> 21	53/2 <sup>-</sup>	13267+x <sup>e</sup> 3	81/2 <sup>+</sup>
3104.9+x <sup>c</sup> 14	33/2 <sup>+</sup>	6466.7+x <sup>f</sup> 19	51/2 <sup>+</sup>	13821+x <sup>g</sup> 4	83/2 <sup>-</sup>
3225.6+x <sup>e</sup> 13	33/2 <sup>+</sup>	6501.5+x <sup>e</sup> 19	53/2 <sup>+</sup>	14082+x <sup>f</sup> 4	83/2 <sup>+</sup>
3285.5 <sup>‡@</sup>	(35/2 <sup>+</sup> )	6934.6+x <sup>g</sup> 29	55/2 <sup>-</sup>	14287+x <sup>c</sup> 3	85/2 <sup>+</sup>
3408.6+x <sup>d</sup> 15	35/2 <sup>+</sup>	7183.6+x <sup>b</sup> 21	57/2 <sup>-</sup>	14459+x <sup>e</sup> 4	85/2 <sup>+</sup>
3532.4 <sup>‡#</sup>	(37/2 <sup>+</sup> )	7213.7+x <sup>c</sup> 21	57/2 <sup>+</sup>	15282+x <sup>f</sup> 4	87/2 <sup>+</sup>
3582.6+x <sup>b</sup> 15	37/2 <sup>-</sup>	7231.8+x <sup>f</sup> 20	55/2 <sup>+</sup>	15530+x <sup>c</sup> 4	89/2 <sup>+</sup>
3593.6+x <sup>g</sup> 18	35/2 <sup>-</sup>	7300.4+x <sup>e</sup> 20	57/2 <sup>+</sup>	15706+x <sup>e</sup> 4	89/2 <sup>+</sup>
3599.8+x <sup>c</sup> 15	37/2 <sup>+</sup>	7745+x <sup>g</sup> 3	59/2 <sup>-</sup>	16821+x <sup>c</sup> 4	93/2 <sup>+</sup>
3786.5+x <sup>e</sup> 16	37/2 <sup>+</sup>	8047.8+x <sup>f</sup> 22	59/2 <sup>+</sup>		
3813.0 <sup>‡@</sup>	(39/2 <sup>+</sup> )	8056.6+x <sup>b</sup> 22	61/2 <sup>-</sup>		

<sup>†</sup> From least-squares fit to E<sub>γ</sub>'s, assuming ΔE<sub>γ</sub>=1 keV for each γ ray in bands other than the ground-state band.

<sup>‡</sup> From 'Adopted Levels, gammas' dataset in ENSDF database for  $^{167}\text{Lu}$ .

# Band(A): 7/2[404], α=+1/2.

@ Band(a): 7/2[404], α=-1/2.

& Band(B): 1/2[411], α=-1/2.

<sup>a</sup> Band(b): 1/2[411], α=+1/2.

<sup>b</sup> Band(C): 1/2[541], α=+1/2.

<sup>c</sup> Band(D): 5/2[402], α=+1/2.

Continued on next page (footnotes at end of table)

$^{123}\text{Sb}(^{48}\text{Ca},4n\gamma):\text{XUNDL-1}$  **2005Am02,2003Am01,2008Gu02** (continued) $^{167}\text{Lu}$  Levels (continued)<sup>d</sup> Band(d):  $5/2[402]$ ,  $\alpha=-1/2$ .<sup>e</sup> Band(E): Triaxial SD-1 band (2003Am01,2005Am02). Population $\approx 8\%$  relative to yrast band. Measured  $Q(\text{transition})=6.9$  3 (preliminary value,2005Gu28).<sup>f</sup> Band(F): Wobbling-mode, Triaxial SD-2 band (2003Am01,2005Am02). Population $\approx 2\%$  relative to yrast band.<sup>g</sup> Band(G): Triaxial SD-3 band (2005Am02). Population $\approx 4\%$  relative to yrast band. Multi-quasiparticle excitation. $\gamma(^{167}\text{Lu})$ 

All measured conversion coefficients ( $\alpha(K)\text{exp}$  values) are from 2008Gu02. The numerical values corresponding to figures 6, 7, 9 and 12 in 2008Gu02 were received as email reply on Feb 28, 2008 from one of the authors (C.W. Beausang) of 2008Gu02.

$E_i(\text{level})$	$J_i^\pi$	$E_\gamma$	$E_f$	$J_f^\pi$	Mult. @	Comments
122.6+x	$5/2^-$	103 <sup>c</sup>	19.6+x	$3/2^+$		
140.0	$(9/2^+)$	139.9 <sup>‡</sup>	0.0	$7/2^+$		
149.7+x	$5/2^+$	130	19.6+x	$3/2^+$		
155.6+x	$7/2^+$	117	38.6+x	$5/2^+$		
189.7+x	$7/2^+$	170	19.6+x	$3/2^+$		
234.6+x	$9/2^-$	112	122.6+x	$5/2^-$		
300.4+x	$9/2^+$	145	155.6+x	$7/2^+$		
		262	38.6+x	$5/2^+$		
305.3	$(11/2^+)$	165.3 <sup>‡</sup>	140.0	$(9/2^+)$		
		305.3 <sup>‡</sup>	0.0	$7/2^+$		
403.7+x	$9/2^+$	214	189.7+x	$7/2^+$		
		248	155.6+x	$7/2^+$		
		254	149.7+x	$5/2^+$		
447.6+x	$13/2^-$	213	234.6+x	$9/2^-$		
469.9+x	$11/2^+$	170	300.4+x	$9/2^+$		
		314	155.6+x	$7/2^+$		
478.9+x	$11/2^+$	178	300.4+x	$9/2^+$		
		289	189.7+x	$7/2^+$		
494.2	$(13/2^+)$	188.9 <sup>‡</sup>	305.3	$(11/2^+)$		
		354.1 <sup>&amp;</sup>	140.0	$(9/2^+)$		$\alpha(K)\text{exp}=0.024$ 3 for a contaminated 356.6 $\gamma$ (2008Gu02), mult=E2.
664.8+x	$13/2^+$	185	478.9+x	$11/2^+$		
		196	469.9+x	$11/2^+$		
		365	300.4+x	$9/2^+$		
704.3	$(15/2^+)$	210.3 <sup>‡</sup>	494.2	$(13/2^+)$		
		399.0 <sup>&amp;</sup>	305.3	$(11/2^+)$		$\alpha(K)\text{exp}=0.023$ 6 for a contaminated 405.1 $\gamma$ (2008Gu02), mult=E2.
754.8+x	$13/2^+$	276	478.9+x	$11/2^+$		
		285	469.9+x	$11/2^+$		
		351	403.7+x	$9/2^+$		
761.6+x	$17/2^-$	314	447.6+x	$13/2^-$	E2	$\alpha(K)\text{exp}=0.035$ 4
858.3+x	$15/2^+$	194	664.8+x	$13/2^+$		
		380	478.9+x	$11/2^+$		
		388	469.9+x	$11/2^+$		
887.1+x	$15/2^+$	222	664.8+x	$13/2^+$		
		408	478.9+x	$11/2^+$		
		417	469.9+x	$11/2^+$		
934.1	$(17/2^+)$	230.0 <sup>‡</sup>	704.3	$(15/2^+)$		
		439.7	494.2	$(13/2^+)$	E2	$\alpha(K)\text{exp}=0.022$ 3
1112.5+x	$17/2^+$	225	887.1+x	$15/2^+$		
		254	858.3+x	$15/2^+$		
		448	664.8+x	$13/2^+$		

Continued on next page (footnotes at end of table)

$^{123}\text{Sb}(^{48}\text{Ca}, 4n\gamma): \text{XUNDL-1}$  [2005Am02, 2003Am01, 2008Gu02](#) (continued) $\gamma(^{167}\text{Lu})$  (continued)

$E_i(\text{level})$	$J_i^\pi$	$E_\gamma$	$E_f$	$J_f^\pi$	Mult. @	Comments
1172.6+x	21/2 <sup>-</sup>	411	761.6+x	17/2 <sup>-</sup>	E2	$\alpha(\text{K})\text{exp}=0.024$ 3
1181.2	(19/2 <sup>+</sup> )	247.0 <sup>‡</sup>	934.1	(17/2 <sup>+</sup> )		
		477.0 <sup>‡</sup>	704.3	(15/2 <sup>+</sup> )		
1187.9+x	17/2 <sup>+</sup>	301	887.1+x	15/2 <sup>+</sup>		
		330	858.3+x	15/2 <sup>+</sup>		
		433	754.8+x	13/2 <sup>+</sup>		
1318.0+x	19/2 <sup>+</sup>	205	1112.5+x	17/2 <sup>+</sup>		
		460	858.3+x	15/2 <sup>+</sup>		
1377.6+x	19/2 <sup>+</sup>	190	1187.9+x	17/2 <sup>+</sup>		
		265	1112.5+x	17/2 <sup>+</sup>		
		490	887.1+x	15/2 <sup>+</sup>		
1444.3	(21/2 <sup>+</sup> )	263.6 <sup>‡</sup>	1181.2	(19/2 <sup>+</sup> )		
		510.2 <sup>‡</sup>	934.1	(17/2 <sup>+</sup> )		
1621.4+x	21/2 <sup>+</sup>	243.6	1377.6+x	19/2 <sup>+</sup>		
		509	1112.5+x	17/2 <sup>+</sup>		
1670.6+x	25/2 <sup>-</sup>	498	1172.6+x	21/2 <sup>-</sup>	E2	$\alpha(\text{K})\text{exp}=0.0124$ 15
1687.8+x	21/2 <sup>+</sup>	310	1377.6+x	19/2 <sup>+</sup>		
		370	1318.0+x	19/2 <sup>+</sup>		
		500	1187.9+x	17/2 <sup>+</sup>		
1720.2	(23/2 <sup>+</sup> )	276.0 <sup>‡</sup>	1444.3	(21/2 <sup>+</sup> )		
		539.0	1181.2	(19/2 <sup>+</sup> )	E2	$\alpha(\text{K})\text{exp}=0.019$ 3
1828.1+x	23/2 <sup>+</sup>	510	1318.0+x	19/2 <sup>+</sup>		
1926.0+x	23/2 <sup>+</sup>	238	1687.8+x	21/2 <sup>+</sup>		
		305	1621.4+x	21/2 <sup>+</sup>		
		548	1377.6+x	19/2 <sup>+</sup>		
2008.0	(25/2 <sup>+</sup> )	288.3 <sup>‡</sup>	1720.2	(23/2 <sup>+</sup> )		
		563.6 <sup>‡</sup>	1444.3	(21/2 <sup>+</sup> )		
2158.3+x	25/2 <sup>+</sup>	232	1926.0+x	23/2 <sup>+</sup>		
		537	1621.4+x	21/2 <sup>+</sup>		
2231.8+x	25/2 <sup>+</sup>	306	1926.0+x	23/2 <sup>+</sup>		
		544	1687.8+x	21/2 <sup>+</sup>		
2245.6+x	29/2 <sup>-</sup>	575	1670.6+x	25/2 <sup>-</sup>	E2	$\alpha(\text{K})\text{exp}=0.0118$ 15
2249.6+x	25/2 <sup>+</sup>	562	1687.8+x	21/2 <sup>+</sup>		
2299.4	(27/2 <sup>+</sup> )	291.2 <sup>‡</sup>	2008.0	(25/2 <sup>+</sup> )		
		579.2 <sup>‡</sup>	1720.2	(23/2 <sup>+</sup> )	(E2)	$\alpha(\text{K})\text{exp}=0.0113$ 18 <a href="#">Additional information 3.</a>
2369.3+x	27/2 <sup>+</sup>	541	1828.1+x	23/2 <sup>+</sup>		
2477.9+x	27/2 <sup>+</sup>	246	2231.8+x	25/2 <sup>+</sup>		
		319 <sup>c</sup>	2158.3+x	25/2 <sup>+</sup>		
		552	1926.0+x	23/2 <sup>+</sup>		
2580.6	(29/2 <sup>+</sup> )	281.0 <sup>‡</sup>	2299.4	(27/2 <sup>+</sup> )		
		572.6	2008.0	(25/2 <sup>+</sup> )	(E2)	$\alpha(\text{K})\text{exp}=0.0113$ 18 <a href="#">Additional information 4.</a>
2631.6+x	27/2 <sup>-</sup>	961.0	1670.6+x	25/2 <sup>-</sup>	(M1+E2)	$I_\gamma$ : %BRANCHING $\approx$ 60 5. Mult., $\delta$ : $\Delta J=1$ transition; $\delta=-1.9+11-200$ or $-0.5+5-8$ .
2664.6+x	27/2 <sup>-</sup>	994	1670.6+x	25/2 <sup>-</sup>		
2666.0+x	29/2 <sup>+</sup>	188	2477.9+x	27/2 <sup>+</sup>		
		508	2158.3+x	25/2 <sup>+</sup>		
2720.4+x	29/2 <sup>+</sup>	242	2477.9+x	27/2 <sup>+</sup>		
		351	2369.3+x	27/2 <sup>+</sup>		
		471	2249.6+x	25/2 <sup>+</sup>		
		489	2231.8+x	25/2 <sup>+</sup>		
		562	2158.3+x	25/2 <sup>+</sup>		

Continued on next page (footnotes at end of table)

$^{123}\text{Sb}(^{48}\text{Ca}, 4n\gamma): \text{XUNDL-1}$  **2005Am02, 2003Am01, 2008Gu02** (continued) $\gamma(^{167}\text{Lu})$  (continued)

$E_i(\text{level})$	$J_i^\pi$	$E_\gamma$	$I_\gamma^\dagger$	$E_f$	$J_f^\pi$	Mult. <sup>@</sup>	$\delta$	Comments
2823.2	(31/2 <sup>+</sup> )	242.1 <sup>‡</sup> 523.8 <sup>‡</sup>		2580.6 2299.4	(29/2 <sup>+</sup> ) (27/2 <sup>+</sup> )			
2886.6+x	33/2 <sup>-</sup>	641		2245.6+x	29/2 <sup>-</sup>			
2910.3+x	31/2 <sup>+</sup>	541		2369.3+x	27/2 <sup>+</sup>			
2930.1+x	31/2 <sup>+</sup>	264 452		2666.0+x 2477.9+x	29/2 <sup>+</sup> 27/2 <sup>+</sup>			
3044.1	(33/2 <sup>+</sup> )	221.1 <sup>‡</sup> 462.9		2823.2 2580.6	(31/2 <sup>+</sup> ) (29/2 <sup>+</sup> )	E2		$\alpha(\text{K})_{\text{exp}}=0.0162$ 23
3088.6+x	31/2 <sup>-</sup>	424 457 843.1		2664.6+x 2631.6+x 2245.6+x	27/2 <sup>-</sup> 27/2 <sup>-</sup> 29/2 <sup>-</sup>			$I_\gamma$ : %BRANCHING=27 5. Mult., $\delta$ : expected to be the same as for 961.0 $\gamma$ from 2631.6+x, (27/2 <sup>-</sup> ) level.
3104.9+x	33/2 <sup>+</sup>	175 439		2930.1+x 2666.0+x	31/2 <sup>+</sup> 29/2 <sup>+</sup>			
3225.6+x	33/2 <sup>+</sup>	506 560		2720.4+x 2666.0+x	29/2 <sup>+</sup> 29/2 <sup>+</sup>	E2		$\alpha(\text{K})_{\text{exp}}=0.0165$ 23
3285.5	(35/2 <sup>+</sup> )	241.2 <sup>‡</sup> 462.3 <sup>‡</sup>		3044.1 2823.2	(33/2 <sup>+</sup> ) (31/2 <sup>+</sup> )			
3408.6+x	35/2 <sup>+</sup>	304 478		3104.9+x 2930.1+x	33/2 <sup>+</sup> 31/2 <sup>+</sup>			
3532.4	(37/2 <sup>+</sup> )	246.6 <sup>‡</sup> 488.4 <sup>&amp;</sup>		3285.5 3044.1	(35/2 <sup>+</sup> ) (33/2 <sup>+</sup> )	E2	#	$\alpha(\text{K})_{\text{exp}}=0.0107$ 26 Additional information 5.
3582.6+x	37/2 <sup>-</sup>	696 <sup>b</sup>		2886.6+x	33/2 <sup>-</sup>	E2		$\alpha(\text{K})_{\text{exp}}=0.0076$ 9
3593.6+x	35/2 <sup>-</sup>	505		3088.6+x	31/2 <sup>-</sup>			
3599.8+x	37/2 <sup>+</sup>	191 495		3408.6+x 3104.9+x	35/2 <sup>+</sup> 33/2 <sup>+</sup>			
3786.5+x	37/2 <sup>+</sup>	561		3225.6+x	33/2 <sup>+</sup>	E2		$\alpha(\text{K})_{\text{exp}}=0.0141$ 21
3813.0	(39/2 <sup>+</sup> )	280.7 <sup>‡</sup> 527.5 <sup>‡</sup>		3532.4 3285.5	(37/2 <sup>+</sup> ) (35/2 <sup>+</sup> )			
3945.6+x	35/2 <sup>+</sup>	720		3225.6+x	33/2 <sup>+</sup>			
4096.4	(41/2 <sup>+</sup> )	283.6 <sup>‡</sup> 563.9		3813.0 3532.4	(39/2 <sup>+</sup> ) (37/2 <sup>+</sup> )	E2		$\alpha(\text{K})_{\text{exp}}=0.0125$ 15
4161.6+x	39/2 <sup>-</sup>	568		3593.6+x	35/2 <sup>-</sup>	E2		$\alpha(\text{K})_{\text{exp}}=0.012$ 6
4177.0+x	41/2 <sup>+</sup>	577		3599.8+x	37/2 <sup>+</sup>			
4273.6+x	41/2 <sup>-</sup>	691		3582.6+x	37/2 <sup>-</sup>			
4393.3+x	41/2 <sup>+</sup>	607		3786.5+x	37/2 <sup>+</sup>	E2		$\alpha(\text{K})_{\text{exp}}=0.0077$ 28
4417.5	(43/2 <sup>+</sup> )	604.5 <sup>‡</sup>		3813.0	(39/2 <sup>+</sup> )			
4492.6+x	39/2 <sup>+</sup>	547	100	3945.6+x	35/2 <sup>+</sup>			
		706.1 <sup>&amp;</sup>	91 4	3786.5+x	37/2 <sup>+</sup>	(E2+M1)	-3.1 <sup>#</sup> +11-34	
4735.5	(45/2 <sup>+</sup> )	639.1		4096.4	(41/2 <sup>+</sup> )	E2		$\alpha(\text{K})_{\text{exp}}=0.0070$ 15
4784.6+x	43/2 <sup>-</sup>	623		4161.6+x	39/2 <sup>-</sup>	E2		$\alpha(\text{K})_{\text{exp}}=0.0094$ 23
4832.2+x	45/2 <sup>+</sup>	655		4177.0+x	41/2 <sup>+</sup>			
4909.6+x	45/2 <sup>-</sup>	636		4273.6+x	41/2 <sup>-</sup>	E2		$\alpha(\text{K})_{\text{exp}}=0.0094$ 13
5048.0+x	45/2 <sup>+</sup>	654		4393.3+x	41/2 <sup>+</sup>	E2		$\alpha(\text{K})_{\text{exp}}=0.0084$ 29
5093.5	(47/2 <sup>+</sup> )	676.0 <sup>‡</sup>		4417.5	(43/2 <sup>+</sup> )			
5097.6+x	43/2 <sup>+</sup>	605 704.2	100 41 6	4492.6+x 4393.3+x	39/2 <sup>+</sup> 41/2 <sup>+</sup>			
5443.1	(49/2 <sup>+</sup> )	707.6		4735.5	(45/2 <sup>+</sup> )	E2		$\alpha(\text{K})_{\text{exp}}=0.0042$ 8
5455.6+x	47/2 <sup>-</sup>	671		4784.6+x	43/2 <sup>-</sup>	E2		$\alpha(\text{K})_{\text{exp}}=0.0073$ 26

Continued on next page (footnotes at end of table)

$^{123}\text{Sb}(^{48}\text{Ca}, 4n\gamma): \text{XUNDL-1}$  **2005Am02, 2003Am01, 2008Gu02** (continued) $\gamma(^{167}\text{Lu})$  (continued)

$E_i(\text{level})$	$J_i^\pi$	$E_\gamma$	$I_\gamma^\dagger$	$E_f$	$J_f^\pi$	Mult. @	$\delta$	Comments
5557.3+x	49/2 <sup>+</sup>	725		4832.2+x	45/2 <sup>+</sup>			
5605.6+x	49/2 <sup>-</sup>	696 <sup>b</sup>		4909.6+x	45/2 <sup>-</sup>	E2		$\alpha(\text{K})\text{exp}=0.0076$ 9
5749.8+x	49/2 <sup>+</sup>	702		5048.0+x	45/2 <sup>+</sup>	E2		$\alpha(\text{K})\text{exp}=0.0060$ 11
5755.7+x	47/2 <sup>+</sup>	658	100	5097.6+x	43/2 <sup>+</sup>			
		707.7 <sup>&amp;</sup>	39 4	5048.0+x	45/2 <sup>+</sup>	(E2+M1)	-5.1 <sup>#</sup> +16-25	
5833.8	(51/2 <sup>+</sup> )	740.3		5093.5	(47/2 <sup>+</sup> )	E2		$\alpha(\text{K})\text{exp}=0.0064$ 16
6171.6+x	51/2 <sup>-</sup>	716		5455.6+x	47/2 <sup>-</sup>			
6213.3	(53/2 <sup>+</sup> )	770.2		5443.1	(49/2 <sup>+</sup> )	E2		$\alpha(\text{K})\text{exp}=0.0045$ 6
6359.5+x	53/2 <sup>+</sup>	802		5557.3+x	49/2 <sup>+</sup>			
6365.6+x	53/2 <sup>-</sup>	760		5605.6+x	49/2 <sup>-</sup>	E2		$\alpha(\text{K})\text{exp}=0.0062$ 7
6466.7+x	51/2 <sup>+</sup>	711	100	5755.7+x	47/2 <sup>+</sup>			
		716.9 <sup>&amp;</sup>	30 8	5749.8+x	49/2 <sup>+</sup>	(E2+M1)	-3.9 <sup>#</sup> +27-84	
6501.5+x	53/2 <sup>+</sup>	751		5749.8+x	49/2 <sup>+</sup>	E2		$\alpha(\text{K})\text{exp}=0.0068$ 16
6934.6+x	55/2 <sup>-</sup>	763		6171.6+x	51/2 <sup>-</sup>			
7183.6+x	57/2 <sup>-</sup>	818		6365.6+x	53/2 <sup>-</sup>	E2		$\alpha(\text{K})\text{exp}=0.0045$ 9
7213.7+x	57/2 <sup>+</sup>	854		6359.5+x	53/2 <sup>+</sup>			
7231.8+x	55/2 <sup>+</sup>	730.3	32 7	6501.5+x	53/2 <sup>+</sup>			
		765	100	6466.7+x	51/2 <sup>+</sup>			
7300.4+x	57/2 <sup>+</sup>	799		6501.5+x	53/2 <sup>+</sup>	E2		$\alpha(\text{K})\text{exp}=0.0057$ 11
7745+x	59/2 <sup>-</sup>	810		6934.6+x	55/2 <sup>-</sup>			
8047.8+x	59/2 <sup>+</sup>	816		7231.8+x	55/2 <sup>+</sup>			
8056.6+x	61/2 <sup>-</sup>	873		7183.6+x	57/2 <sup>-</sup>			
8115.6+x	61/2 <sup>+</sup>	815		7300.4+x	57/2 <sup>+</sup>			
		902		7213.7+x	57/2 <sup>+</sup>			
8155.0+x	61/2 <sup>+</sup>	855		7300.4+x	57/2 <sup>+</sup>			
		941		7213.7+x	57/2 <sup>+</sup>			
8616+x	63/2 <sup>-</sup>	871		7745+x	59/2 <sup>-</sup>			
8917.8+x	63/2 <sup>+</sup>	870		8047.8+x	59/2 <sup>+</sup>			
8983.6+x	65/2 <sup>-</sup>	927		8056.6+x	61/2 <sup>-</sup>			
9009.8+x	65/2 <sup>+</sup>	810 <sup>c</sup>		8199.9+x?	(61/2 <sup>+</sup> )			
		855		8155.0+x	61/2 <sup>+</sup>			
		894		8115.6+x	61/2 <sup>+</sup>			
9081.0+x	65/2 <sup>+</sup>	881 <sup>c</sup>		8199.9+x?	(61/2 <sup>+</sup> )			
		926		8155.0+x	61/2 <sup>+</sup>			
9541+x	67/2 <sup>-</sup>	925		8616+x	63/2 <sup>-</sup>			
9841+x	67/2 <sup>+</sup>	923		8917.8+x	63/2 <sup>+</sup>			
9941.8+x	69/2 <sup>+</sup>	932		9009.8+x	65/2 <sup>+</sup>			
9963.6+x	69/2 <sup>-</sup>	980		8983.6+x	65/2 <sup>-</sup>			
10040.0+x	69/2 <sup>+</sup>	959		9081.0+x	65/2 <sup>+</sup>			
10521+x	71/2 <sup>-</sup>	980		9541+x	67/2 <sup>-</sup>			
10817+x	71/2 <sup>+</sup>	976		9841+x	67/2 <sup>+</sup>			
10930+x	73/2 <sup>+</sup>	988		9941.8+x	69/2 <sup>+</sup>			
10997+x	73/2 <sup>-</sup>	1033		9963.6+x	69/2 <sup>-</sup>			
11056+x	73/2 <sup>+</sup>	1016		10040.0+x	69/2 <sup>+</sup>			
11558+x	75/2 <sup>-</sup>	1037		10521+x	71/2 <sup>-</sup>			
11849+x	75/2 <sup>+</sup>	1032		10817+x	71/2 <sup>+</sup>			
11984+x	77/2 <sup>+</sup>	1054		10930+x	73/2 <sup>+</sup>			
12132+x	77/2 <sup>+</sup>	1076		11056+x	73/2 <sup>+</sup>			
12657+x	79/2 <sup>-</sup>	1099		11558+x	75/2 <sup>-</sup>			
12933+x	79/2 <sup>+</sup>	1084		11849+x	75/2 <sup>+</sup>			
13104+x	81/2 <sup>+</sup>	1120		11984+x	77/2 <sup>+</sup>			
13267+x	81/2 <sup>+</sup>	1135		12132+x	77/2 <sup>+</sup>			
13821+x	83/2 <sup>-</sup>	1164		12657+x	79/2 <sup>-</sup>			
14082+x	83/2 <sup>+</sup>	1149		12933+x	79/2 <sup>+</sup>			
14287+x	85/2 <sup>+</sup>	1183		13104+x	81/2 <sup>+</sup>			

Continued on next page (footnotes at end of table)

---

 $^{123}\text{Sb}(^{48}\text{Ca},4n\gamma):\text{XUNDL-1}$     [2005Am02,2003Am01,2008Gu02](#) (continued)

---

 $\gamma(^{167}\text{Lu})$  (continued)

$E_i(\text{level})$	$J_i^\pi$	$E_\gamma$	$E_f$	$J_f^\pi$
14459+x	85/2 <sup>+</sup>	1192	13267+x	81/2 <sup>+</sup>
15282+x	87/2 <sup>+</sup>	1200	14082+x	83/2 <sup>+</sup>
15530+x	89/2 <sup>+</sup>	1243	14287+x	85/2 <sup>+</sup>
15706+x	89/2 <sup>+</sup>	1247	14459+x	85/2 <sup>+</sup>
16821+x	93/2 <sup>+</sup>	1291	15530+x	89/2 <sup>+</sup>

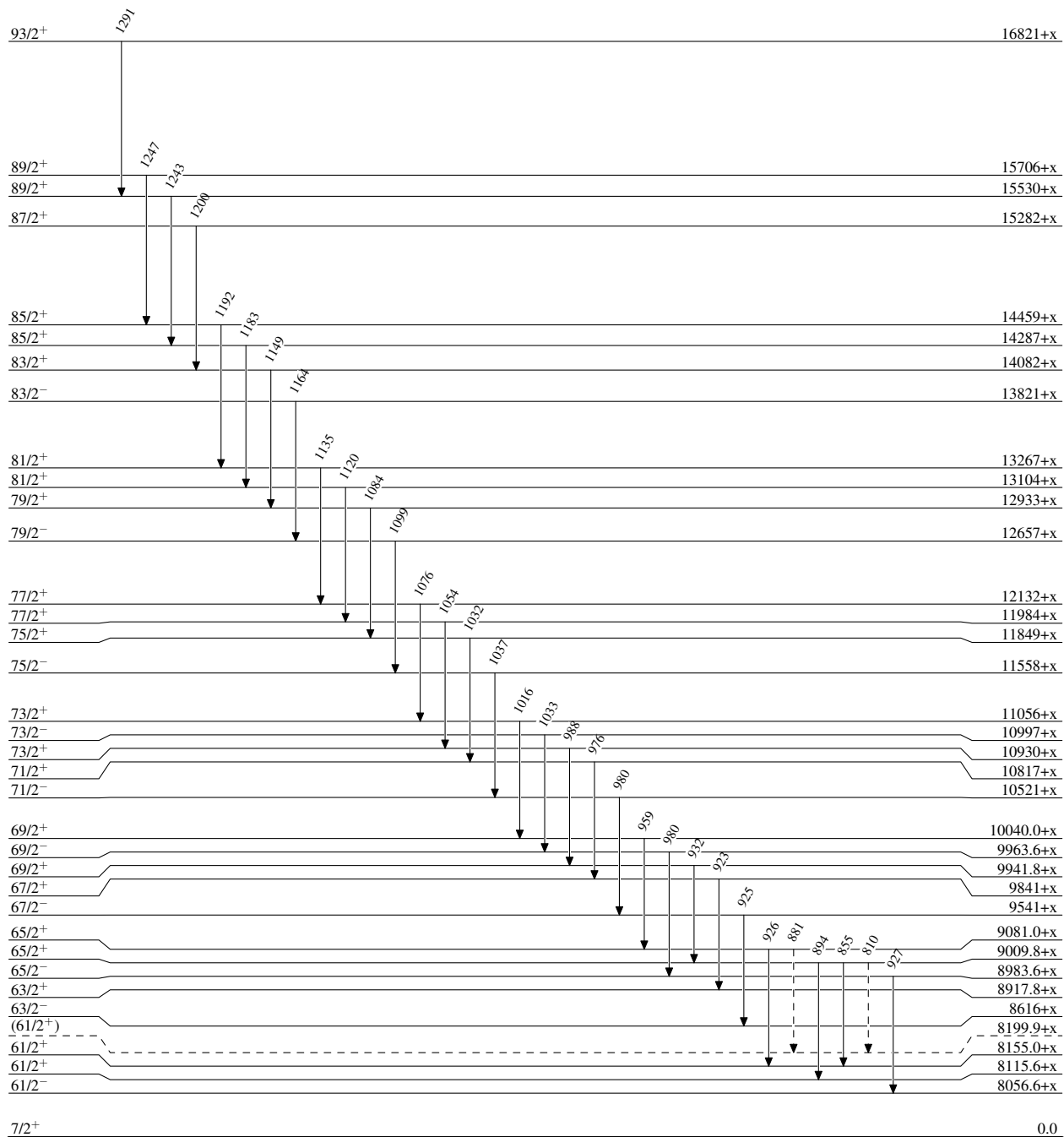
† From [2003Am01](#).‡ From 'Adopted Levels, gammas' dataset in ENSDF database for  $^{167}\text{Lu}$ .# Lower values of  $-0.26$   $16$  for  $706.1\gamma$ ,  $-0.07$   $7$  for  $707.7\gamma$ , and  $-0.35$   $65$  for  $716.9\gamma$  are possible but not likely in comparison to similar transitions (of known mixing ratios) in  $^{163}\text{Lu}$  SD bands.@ From ce data of [2008Gu02](#).& Contaminated transition in ce spectrum ([2008Gu02](#)).<sup>a</sup> The  $\gamma$  ray listed with ground-state band by [2008Gu02](#), but the compilers cannot find any such transition in the ENSDF database for  $^{167}\text{Lu}$  or in the paper [1990Yu01](#): Nucl Phys A 511, 157 (1990), where g.s. band is studied in detail.<sup>b</sup> Multiply placed.<sup>c</sup> Placement of transition in the level scheme is uncertain.<sup>x</sup>  $\gamma$  ray not placed in level scheme.

$^{123}\text{Sb}(^{48}\text{Ca},4n\gamma):\text{XUNDL-1}$  2005Am02,2003Am01,2008Gu02

Legend

### Level Scheme

Intensities: Relative photon branching from each level

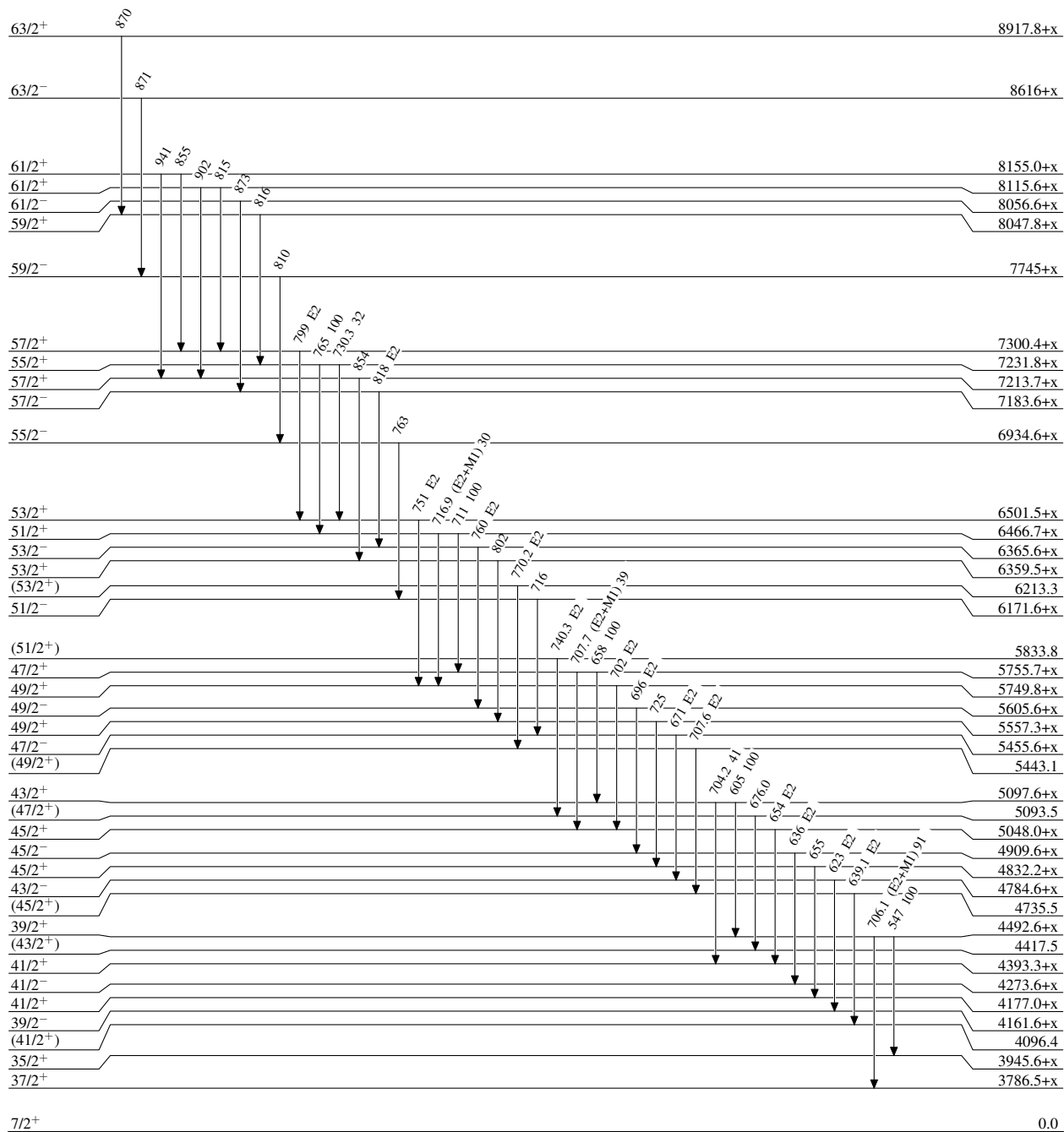
-----►  $\gamma$  Decay (Uncertain)




$^{123}\text{Sb}(^{48}\text{Ca}, 4n\gamma): \text{XUNDL-1} \quad 2005\text{Am02}, 2003\text{Am01}, 2008\text{Gu02}$ 

## Level Scheme (continued)

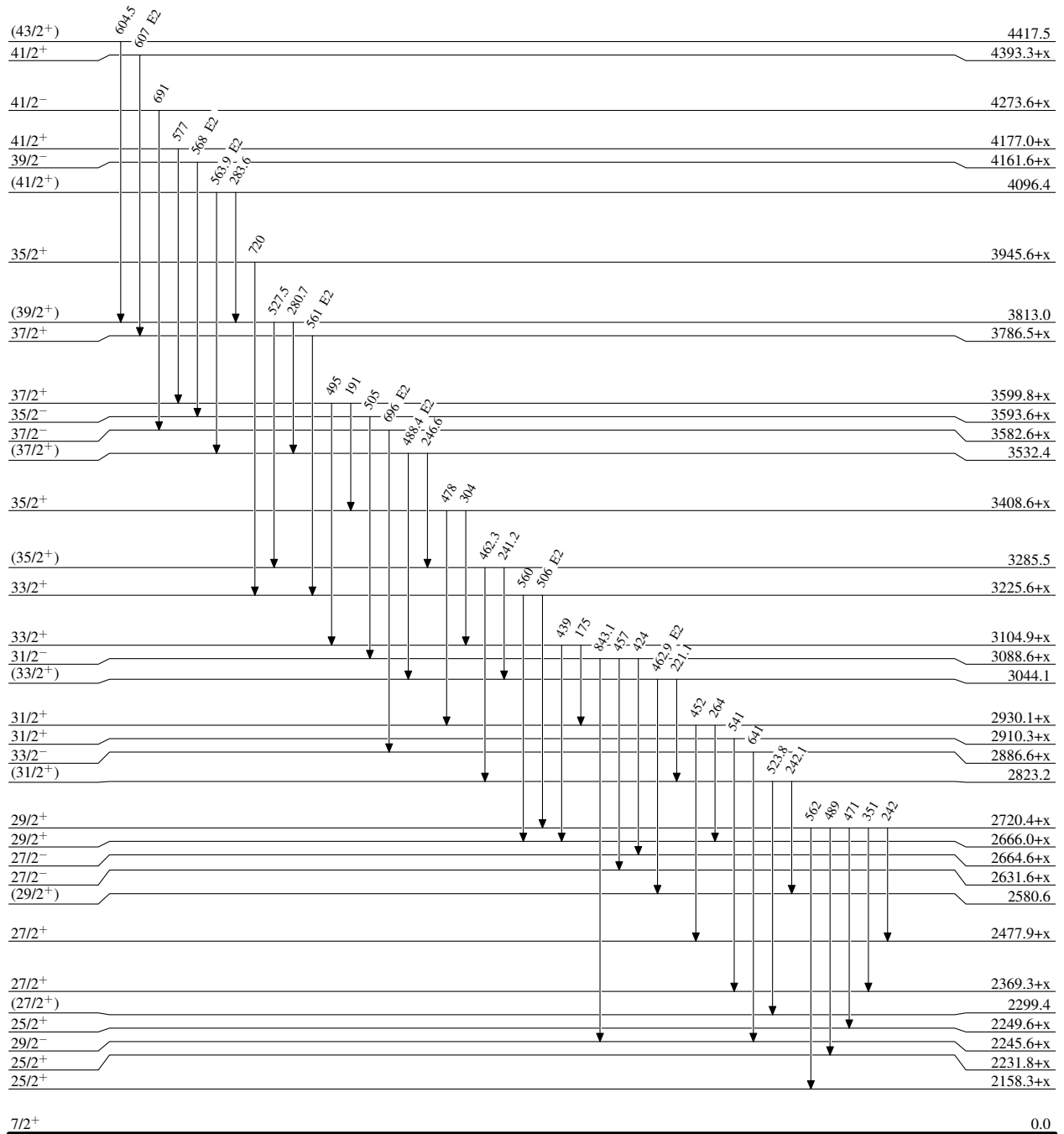
Intensities: Relative photon branching from each level



$^{123}\text{Sb}(^{48}\text{Ca},4n\gamma):\text{XUNDL-1}$  2005Am02,2003Am01,2008Gu02

## Level Scheme (continued)

Intensities: Relative photon branching from each level

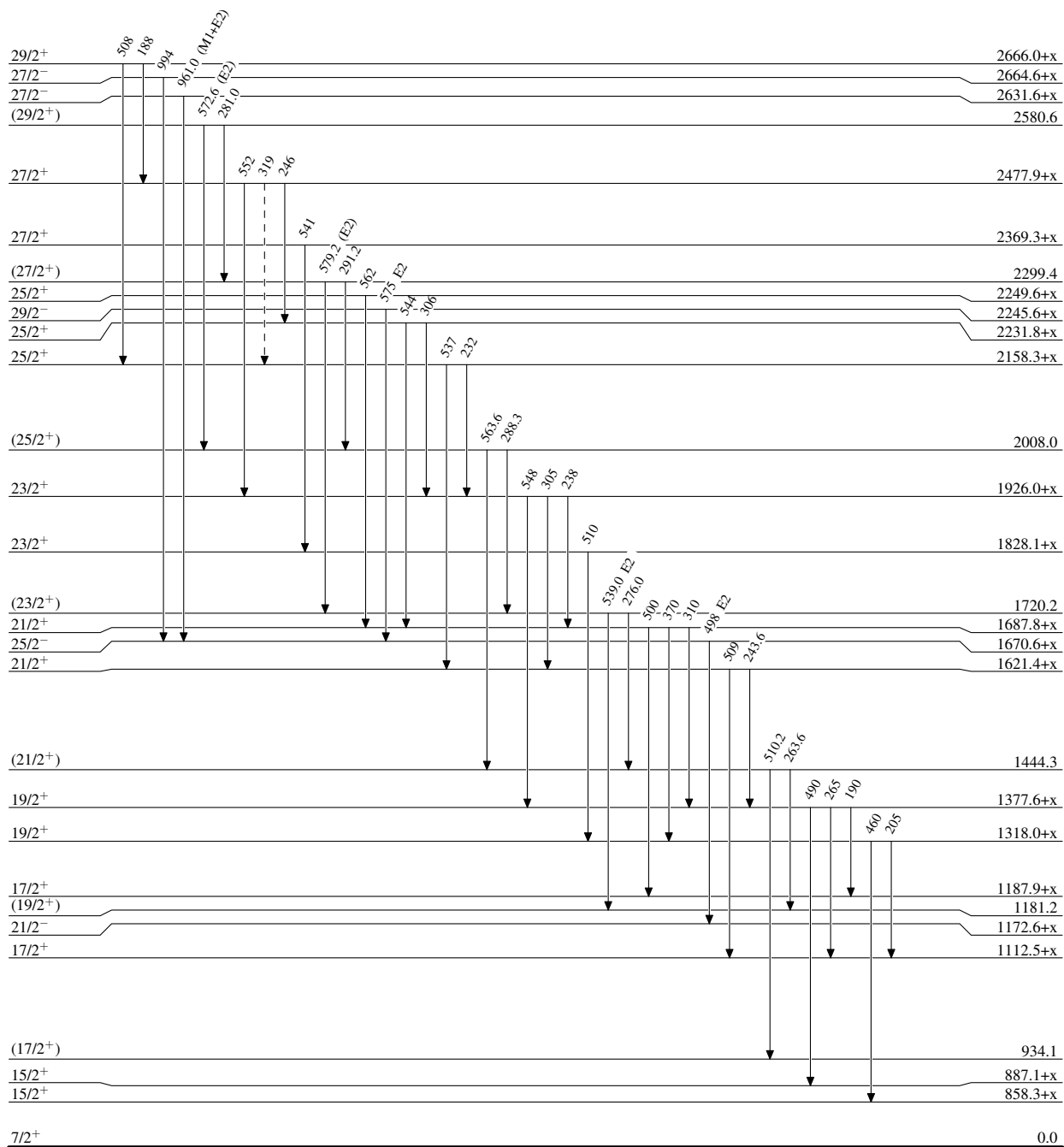


$^{123}\text{Sb}(^{48}\text{Ca},4n\gamma):\text{XUNDL-1}$  2005Am02,2003Am01,2008Gu02

Legend

## Level Scheme (continued)

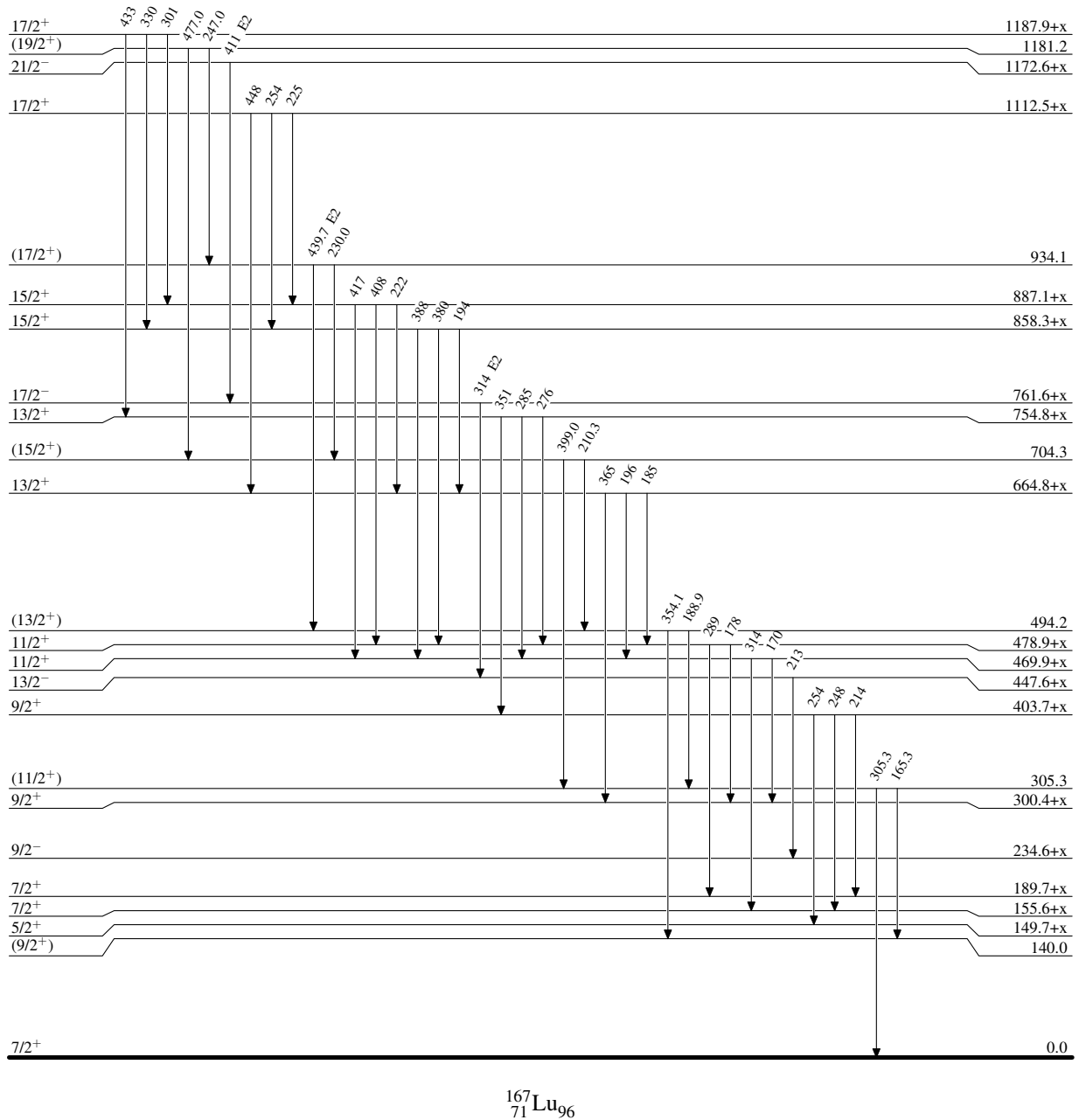
Intensities: Relative photon branching from each level

-----►  $\gamma$  Decay (Uncertain) $^{167}_{71}\text{Lu}_{96}$

$^{123}\text{Sb}(^{48}\text{Ca}, 4n\gamma): \text{XUNDL-1} \quad 2005\text{Am02}, 2003\text{Am01}, 2008\text{Gu02}$ 

## Level Scheme (continued)

Intensities: Relative photon branching from each level

 $^{167}_{71}\text{Lu}_{96}$

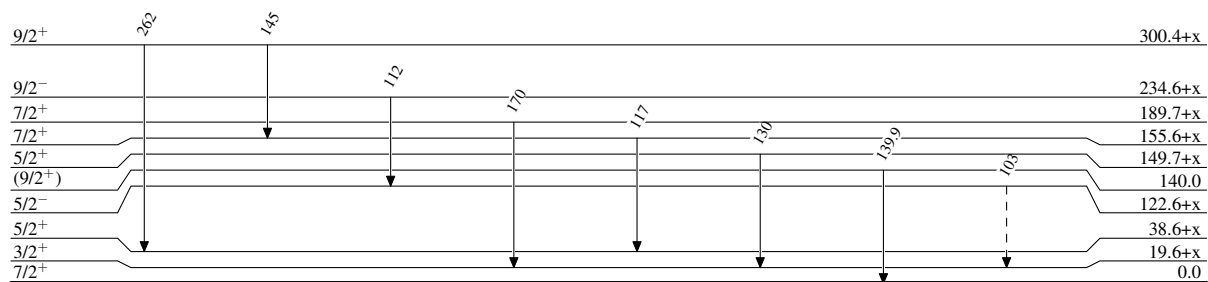
$^{123}\text{Sb}(^{48}\text{Ca},4n\gamma):\text{XUNDL-1}$     2005Am02,2003Am01,2008Gu02

Legend

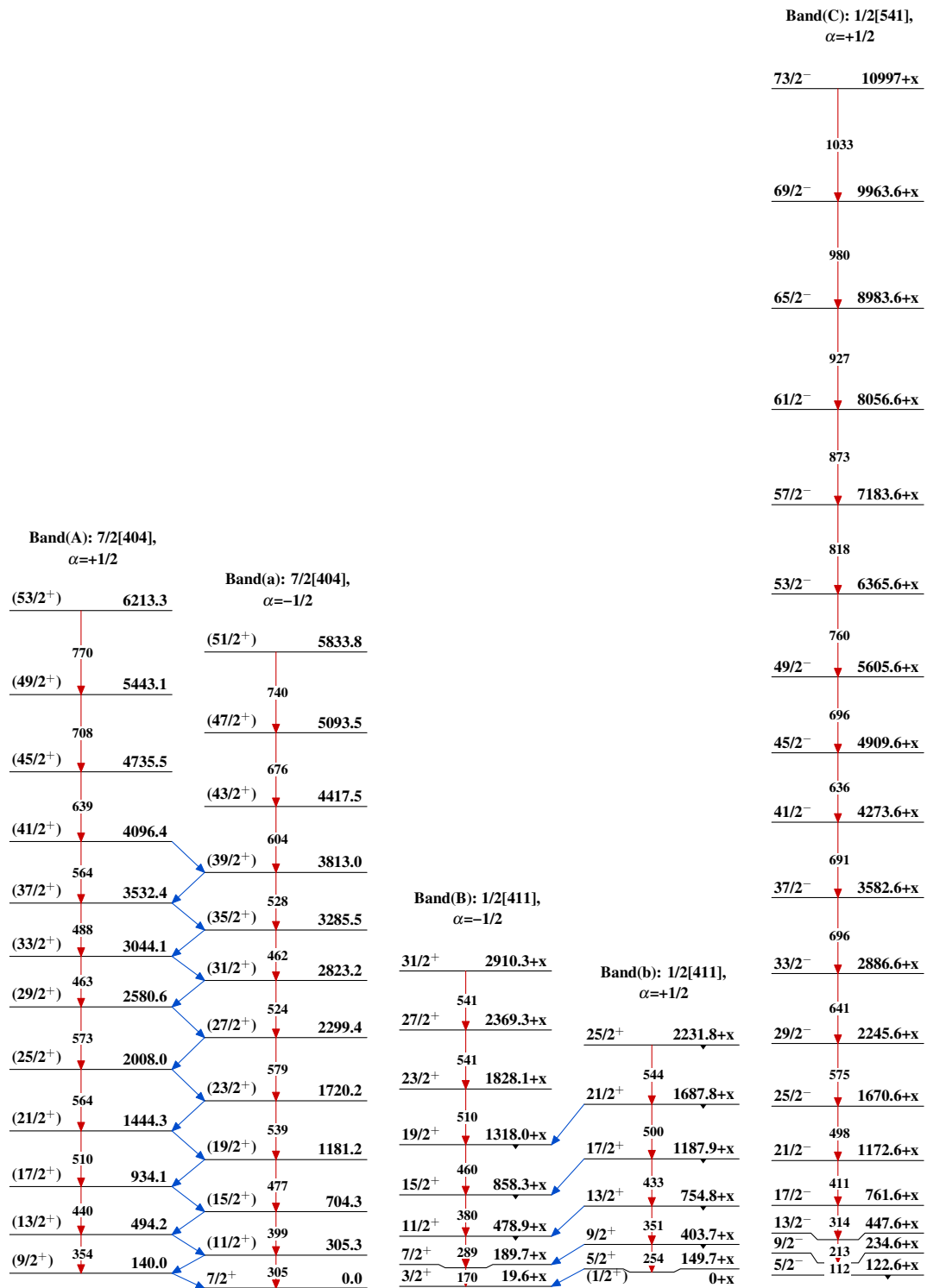
Level Scheme (continued)

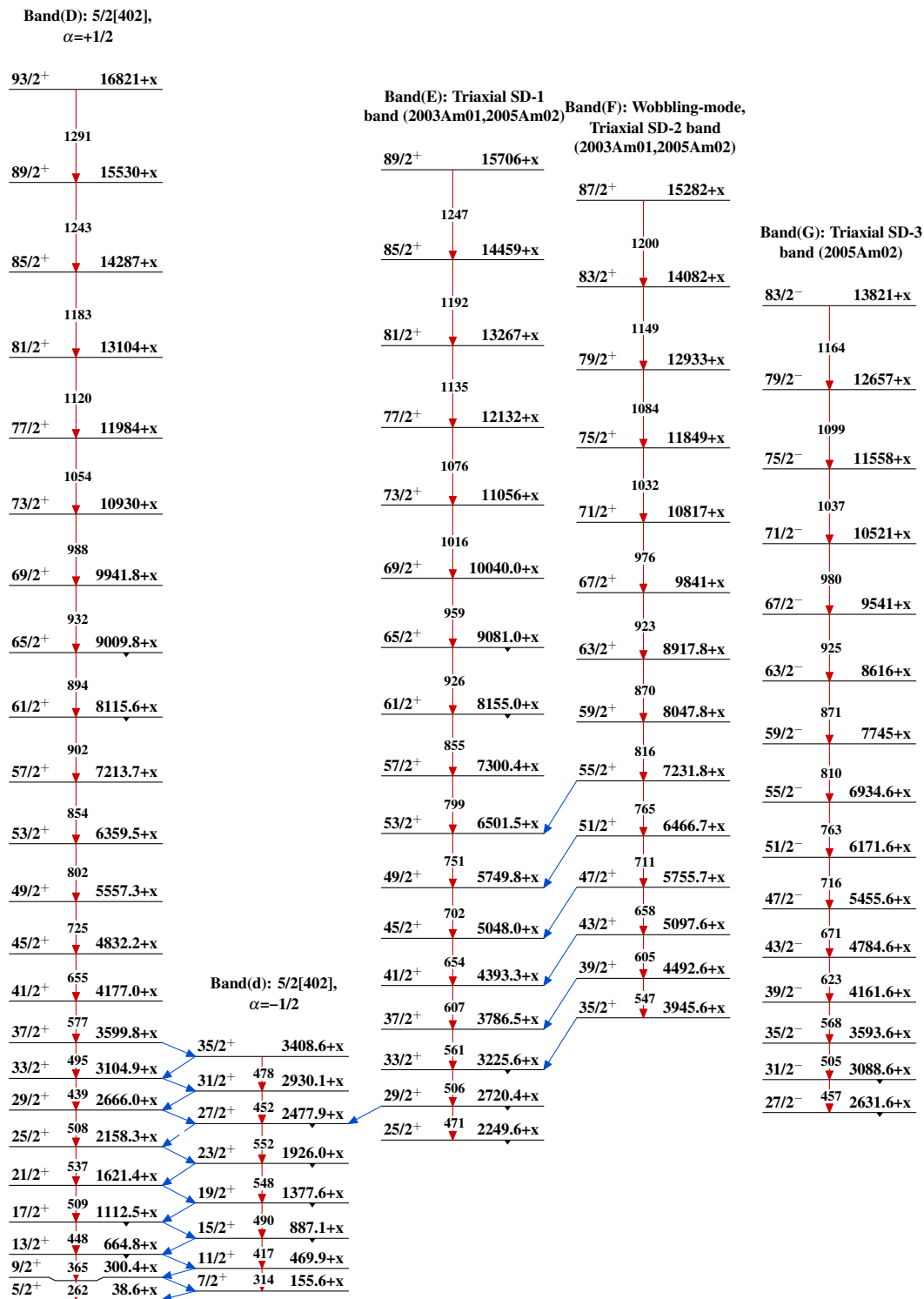
Intensities: Relative photon branching from each level

-----►  $\gamma$  Decay (Uncertain)



$^{167}_{71}\text{Lu}_{96}$

$^{123}\text{Sb}(^{48}\text{Ca}, 4n\gamma): \text{XUNDL-1}$  2005Am02, 2003Am01, 2008Gu02 $^{167}_{71}\text{Lu}_{96}$

$^{123}\text{Sb}(^{48}\text{Ca},4n\gamma):\text{XUNDL-1}$  2005Am02,2003Am01,2008Gu02 (continued)

$^{123}\text{Sb}(^{48}\text{Ca},4n\gamma):\text{XUNDL-2}$     **2015Ro27**

Compiled (unevaluated) dataset from [2015Ro27](#): Phys Rev C 92, 064313 (2015).

See also previous papers [2005Am02](#) (Phys. Rev. C 71, 011302); and [2003Am01](#) (Phys. Lett. B553, 197) with partial analysis of the data from apparently the same experiment as described in [2015Ro27](#), mainly focusing on triaxial strongly-deformed (TSD) bands.

The [2015Ro27](#) paper provides a more complete analysis of many normal-deformed structures, together with two TSD bands. A third TSD band reported in [2005Am02](#) has been reassigned to a normal-deformed structure (Band #4) in [2015Ro27](#).

Compiled by B. Singh (McMaster), February 10, 2016.

E( $^{48}\text{Ca}$ )=203 MeV. Target=520  $\mu\text{g}/\text{cm}^2$  thick 97.7% enriched self-supporting  $^{123}\text{Sb}$  foil. The isotopes  $^{166}\text{Lu}$ ,  $^{167}\text{Lu}$  and  $^{168}\text{Lu}$  were populated in the ratio 1:5:2. Measured  $E\gamma$ ,  $I\gamma$ ,  $\gamma\gamma$ -coin,  $\gamma\gamma(\theta)(\text{DCO})$  at LBNL cyclotron facility using Gammasphere with 100 Compton-suppressed Ge detectors. Deduced high-spin levels,  $J^\pi$ , multipolarities, bands, triaxial strongly-deformed (TSD) bands, multiquasiparticle configurations, alignments, and band interactions. Comparison with cranked shell-model calculations.

 $^{167}\text{Lu}$  Levels

Nomenclature for quasiparticle orbitals:

- a:  $\pi g_{7/2}$ ,  $7/2[404]$ ,  $\alpha=+1/2$ .
- b:  $\pi g_{7/2}$ ,  $7/2[404]$ ,  $\alpha=-1/2$ .
- c:  $\pi d_{3/2}$ ,  $1/2[411]$ ,  $\alpha=+1/2$ .
- d:  $\pi d_{3/2}$ ,  $1/2[411]$ ,  $\alpha=-1/2$ .
- e:  $\pi h_{11/2}$ ,  $9/2[514]$ ,  $\alpha=+1/2$ .
- f:  $\pi h_{11/2}$ ,  $9/2[514]$ ,  $\alpha=-1/2$ .
- g:  $\pi h_{9/2}$ ,  $1/2[541]$ ,  $\alpha=+1/2$ .
- h:  $\pi h_{9/2}$ ,  $1/2[541]$ ,  $\alpha=-1/2$ .
- i:  $\pi d_{5/2}$ ,  $5/2[402]$ ,  $\alpha=+1/2$ .
- j:  $\pi d_{5/2}$ ,  $5/2[402]$ ,  $\alpha=-1/2$ .
- m:  $\pi i_{13/2}$ ,  $1/2[660]$ ,  $\alpha=+1/2$ .
- A:  $\nu i_{13/2}$ ,  $5/2[642]$ ,  $\alpha=+1/2$ .
- B:  $\nu i_{13/2}$ ,  $5/2[642]$ ,  $\alpha=-1/2$ .
- C:  $\nu i_{13/2}$ ,  $3/2[651]$ ,  $\alpha=+1/2$ .
- D:  $\nu i_{13/2}$ ,  $3/2[651]$ ,  $\alpha=-1/2$ .
- E:  $\nu f_{7/2}$ ,  $5/2[523]$ ,  $\alpha=+1/2$ .
- F:  $\nu f_{7/2}$ ,  $5/2[523]$ ,  $\alpha=-1/2$ .
- G:  $\nu h_{9/2}$ ,  $3/2[521]$ ,  $\alpha=+1/2$ .
- H:  $\nu h_{9/2}$ ,  $3/2[521]$ ,  $\alpha=-1/2$ .

E(level) <sup>†</sup>	$J\pi^{\ddagger}$	$T_{1/2}^{\#}$	Comments
0.0 <sup>a</sup>	$7/2^+$	51.5 min <sup>10</sup>	$\% \varepsilon + \% \beta^+ = 100$
33.7 <sup>f</sup> 4	$1/2^+$	$\geq 1$ min	$\% \text{IT}=?$ ; $\% \varepsilon + \% \beta^+ = ?$
48.6 <sup>g</sup> 4	$3/2^+$		
67.1 <sup>j</sup> 4	$5/2^+$		
136.3 <sup>s</sup> 4	$1/2^-$		
140.04 <sup>&amp;</sup> 14	$9/2^+$		
155.9 <sup>s</sup> 4	$5/2^-$		
178.3 <sup>f</sup> 4	$5/2^+$		
184.5 <sup>k</sup> 4	$7/2^+$		
218.4 <sup>g</sup> 4	$7/2^+$		
258.7 <sup>t</sup> 4	$3/2^-$		
267.6 <sup>s</sup> 4	$9/2^-$		
305.29 <sup>a</sup> 15	$11/2^+$		
329.5 <sup>j</sup> 4	$9/2^+$		
331.87 <sup>n</sup> 15	$9/2^-$		
432.8 <sup>f</sup> 4	$9/2^+$		
433.55 <sup>o</sup> 18	$11/2^-$		

Continued on next page (footnotes at end of table)



$^{123}\text{Sb}(^{48}\text{Ca},4n\gamma):\text{XUNDL-2}$  [2015Ro27](#) (continued) $^{167}\text{Lu}$  Levels (continued)

E(level) <sup>†</sup>	J <sup>π</sup> <sup>‡</sup>	Comments
435.4 <sup>t</sup> 4	7/2 <sup>-</sup>	
479.9 <sup>s</sup> 4	13/2 <sup>-</sup>	
494.18 <sup>&amp;</sup> 18	13/2 <sup>+</sup>	
499.0 <sup>k</sup> 4	11/2 <sup>+</sup>	
507.8 <sup>g</sup> 4	11/2 <sup>+</sup>	
576.90 <sup>n</sup> 19	13/2 <sup>-</sup>	
692.8 <sup>t</sup> 4	11/2 <sup>-</sup>	
693.9 <sup>j</sup> 4	13/2 <sup>+</sup>	
704.23 <sup>a</sup> 19	15/2 <sup>+</sup>	
744.09 <sup>o</sup> 20	15/2 <sup>-</sup>	
783.7 <sup>f</sup> 4	13/2 <sup>+</sup>	
794.5 <sup>s</sup> 4	17/2 <sup>-</sup>	
887.3 <sup>g</sup> 4	15/2 <sup>+</sup>	
916.2 <sup>k</sup> 4	15/2 <sup>+</sup>	
934.17 <sup>&amp;</sup> 20	17/2 <sup>+</sup>	
947.69 <sup>n</sup> 21	17/2 <sup>-</sup>	
1034.4 <sup>t</sup> 4	15/2 <sup>-</sup>	
1141.4 <sup>j</sup> 4	17/2 <sup>+</sup>	
1159.41 <sup>o</sup> 21	19/2 <sup>-</sup>	
1180.99 <sup>a</sup> 21	19/2 <sup>+</sup>	
1205.3 <sup>s</sup> 4	21/2 <sup>-</sup>	
1217.1 <sup>f</sup> 4	17/2 <sup>+</sup>	
1346.5 <sup>g</sup> 4	19/2 <sup>+</sup>	
1406.6 <sup>k</sup> 4	19/2 <sup>+</sup>	
1411.47 <sup>n</sup> 23	21/2 <sup>-</sup>	
1444.42 <sup>&amp;</sup> 22	21/2 <sup>+</sup>	
1458.9 <sup>t</sup> 4	19/2 <sup>-</sup>	
1649.9 <sup>j</sup> 4	21/2 <sup>+</sup>	
1655.83 <sup>o</sup> 24	23/2 <sup>-</sup>	
1677.0 <sup>v</sup> 3	(17/2 <sup>-</sup> )	$J^{\pi}=17/2^{-}$ in Figure 2 of <a href="#">2015Ro27</a> . No deexciting transitions given.
1703.3 <sup>s</sup> 4	25/2 <sup>-</sup>	
1716.7 <sup>f</sup> 4	21/2 <sup>+</sup>	
1720.06 <sup>a</sup> 23	23/2 <sup>+</sup>	
1789.12 <sup>w</sup> 25	19/2 <sup>-</sup>	
1856.7 <sup>g</sup> 4	23/2 <sup>+</sup>	
1940.48 <sup>v</sup> 22	21/2 <sup>-</sup>	
1947.3 <sup>n</sup> 3	25/2 <sup>-</sup>	
1954.7 <sup>k</sup> 4	23/2 <sup>+</sup>	
1959.7 <sup>t</sup> 4	23/2 <sup>-</sup>	
1964.0 8	(21/2 <sup>+</sup> )	Level from Figure 1 in <a href="#">2015Ro27</a> .
2008.11 <sup>&amp;</sup> 24	25/2 <sup>+</sup>	
2100.28 <sup>w</sup> 23	23/2 <sup>-</sup>	
2165.0 <sup>u</sup> 4	21/2 <sup>-</sup>	
2187.1 <sup>j</sup> 4	25/2 <sup>+</sup>	
2214.9 <sup>o</sup> 3	27/2 <sup>-</sup>	
2260.7 <sup>f</sup> 4	25/2 <sup>+</sup>	
2278.0 <sup>s</sup> 4	29/2 <sup>-</sup>	
2278.5 <sup>l</sup> 5	25/2 <sup>+</sup>	
2285.55 <sup>v</sup> 23	25/2 <sup>-</sup>	

Continued on next page (footnotes at end of table)

$^{123}\text{Sb}(^{48}\text{Ca},4n\gamma):\text{XUNDL-2}$  [2015Ro27](#) (continued) $^{167}\text{Lu}$  Levels (continued)

E(level) <sup>†</sup>	J <sup>π</sup> <sup>‡</sup>	Comments
2299.3 <sup>a</sup> 3	27/2 <sup>+</sup>	Level from Figure 1 in <a href="#">2015Ro27</a> .
2350.0 4	(25/2 <sup>+</sup> )	
2378.8 <sup>x</sup> 3	25/2 <sup>-</sup>	
2398.1 <sup>g</sup> 4	27/2 <sup>+</sup>	
2483.5 <sup>u</sup> 4	25/2 <sup>-</sup>	
2491.01 <sup>w</sup> 24	27/2 <sup>-</sup>	
2506.5 <sup>k</sup> 4	27/2 <sup>+</sup>	
2508.8 <sup>c</sup> 3	25/2 <sup>+</sup>	
2526.6 <sup>t</sup> 4	27/2 <sup>-</sup>	
2531.7 <sup>n</sup> 3	29/2 <sup>-</sup>	
2580.6 <sup>&amp;</sup> 3	29/2 <sup>+</sup>	
2665.3 4	27/2 <sup>+</sup>	
2694.6 <sup>j</sup> 4	29/2 <sup>+</sup>	
2697.0 <sup>d</sup> 4	27/2 <sup>+</sup>	
2715.7 <sup>v</sup> 3	29/2 <sup>-</sup>	
2728.4 <sup>@</sup> 3	29/2 <sup>+</sup>	
2749.3 <sup>l</sup> 4	29/2 <sup>+</sup>	
2776.7 <sup>f</sup> 4	29/2 <sup>+</sup>	
2800.4 <sup>o</sup> 3	31/2 <sup>-</sup>	
2822.8 <sup>a</sup> 3	31/2 <sup>+</sup>	
2883.7 <sup>x</sup> 4	29/2 <sup>-</sup>	
2893.0 <sup>c</sup> 4	29/2 <sup>+</sup>	
2894.4 <sup>u</sup> 4	29/2 <sup>-</sup>	
2918.5 <sup>s</sup> 4	33/2 <sup>-</sup>	
2938.9 <sup>g</sup> 4	31/2 <sup>+</sup>	
2958.8 <sup>w</sup> 3	31/2 <sup>-</sup>	
2958.8 <sup>k</sup> 4	31/2 <sup>+</sup>	
3014.6 <sup>b</sup> 4	31/2 <sup>+</sup>	
3043.7 <sup>&amp;</sup> 3	33/2 <sup>+</sup>	
3069.9 <sup>n</sup> 3	33/2 <sup>-</sup>	
3121.2 <sup>d</sup> 4	31/2 <sup>+</sup>	
3133.7 <sup>j</sup> 4	33/2 <sup>+</sup>	
3138.4 <sup>t</sup> 4	31/2 <sup>-</sup>	
3210.8 <sup>f</sup> 4	33/2 <sup>+</sup>	
3217.3 <sup>v</sup> 3	33/2 <sup>-</sup>	
3254.3 <sup>l</sup> 4	33/2 <sup>+</sup>	
3285.1 <sup>a</sup> 3	35/2 <sup>+</sup>	
3288.7 <sup>o</sup> 4	35/2 <sup>-</sup>	
3293.9 <sup>u</sup> 4	33/2 <sup>-</sup>	
3322.3 <sup>@</sup> 3	33/2 <sup>+</sup>	
3356.9 <sup>c</sup> 4	33/2 <sup>+</sup>	
3413.9 <sup>g</sup> 4	35/2 <sup>+</sup>	
3417.8 4	35/2 <sup>+</sup>	
3418.1 <sup>x</sup> 4	33/2 <sup>-</sup>	
3437.3 <sup>k</sup> 4	35/2 <sup>+</sup>	
3477.5 5	35/2 <sup>-</sup>	
3491.7 <sup>w</sup> 3	35/2 <sup>-</sup>	
3523.1 <sup>n</sup> 4	37/2 <sup>-</sup>	
3531.9 <sup>&amp;</sup> 3	37/2 <sup>+</sup>	

Continued on next page (footnotes at end of table)

$^{123}\text{Sb}(^{48}\text{Ca}, 4n\gamma): \text{XUNDL-2}$  **2015Ro27** (continued) $^{167}\text{Lu}$  Levels (continued)

E(level) <sup>†</sup>	J $\pi^{\ddagger}$	E(level) <sup>†</sup>	J $\pi^{\ddagger}$	E(level) <sup>†</sup>	J $\pi^{\ddagger}$	E(level) <sup>†</sup>	J $\pi^{\ddagger}$
3589.4 <sup>b</sup> 4	35/2 <sup>+</sup>	4941.9 <sup>u</sup> 4	45/2 <sup>-</sup>	6529.6 <sup>l</sup> 5	53/2 <sup>+</sup>	8255.7 <sup>s</sup> 11	61/2 <sup>-</sup>
3613.7 <sup>s</sup> 4	37/2 <sup>-</sup>	4954.7 <sup>h</sup> 4	45/2 <sup>+</sup>	6592.6 <sup>x</sup> 5	53/2 <sup>-</sup>	8299.2 <sup>c</sup> 9	(61/2 <sup>+</sup> )
3625.8 <sup>d</sup> 4	35/2 <sup>+</sup>	4985.9 <sup>o</sup> 4	47/2 <sup>-</sup>	6599.8 <sup>@</sup> 7	53/2 <sup>+</sup>	8320.4 <sup>p</sup> 10	(J1+10)
3628.5 <sup>j</sup> 4	37/2 <sup>+</sup>	5030.7 <sup>v</sup> 4	45/2 <sup>-</sup>	6628.3 <sup>c</sup> 7	53/2 <sup>+</sup>	8342.4 <sup>a</sup> 5	63/2 <sup>+</sup>
3678.3 <sup>y</sup> 4	35/2 <sup>-</sup>	5076.2 <sup>l</sup> 5	45/2 <sup>+</sup>	6631.2 <sup>a</sup> 4	55/2 <sup>+</sup>	8455.8 <sup>i</sup> 5	63/2 <sup>+</sup>
3721.3 <sup>f</sup> 4	37/2 <sup>+</sup>	5093.0 <sup>a</sup> 4	47/2 <sup>+</sup>	6634.0 <sup>s</sup> 8	53/2 <sup>-</sup>	8549.5 <sup>w</sup> 5	63/2 <sup>-</sup>
3729.7 <sup>t</sup> 4	35/2 <sup>-</sup>	5125.6 <sup>m</sup> 5	43/2 <sup>+</sup>	6659.3 <sup>p</sup> 7	(J1+6)	8600.0 <sup>g</sup> 6	63/2 <sup>+</sup>
3770.0 <sup>u</sup> 4	37/2 <sup>-</sup>	5142.3 <sup>s</sup> 4	45/2 <sup>-</sup>	6661.9 <sup>e</sup> 7	53/2 <sup>+</sup>	8644.5 <sup>t</sup> 6	63/2 <sup>-</sup>
3774.0 <sup>o</sup> 4	39/2 <sup>-</sup>	5160.4 <sup>c</sup> 6	45/2 <sup>+</sup>	6726.6 <sup>i</sup> 4	55/2 <sup>+</sup>	8646.7 <sup>d</sup> 8	63/2 <sup>+</sup>
3778.6 <sup>v</sup> 4	37/2 <sup>-</sup>	5184.7 <sup>x</sup> 5	45/2 <sup>-</sup>	6820.1 <sup>g</sup> 5	55/2 <sup>+</sup>	8711.3 <sup>y</sup> 6	63/2 <sup>-</sup>
3812.6 <sup>a</sup> 3	39/2 <sup>+</sup>	5230.4 <sup>p</sup> 6	(J1+2)	6839.2 <sup>w</sup> 4	55/2 <sup>-</sup>	8749.0 <sup>&amp;</sup> 5	65/2 <sup>+</sup>
3814.8 <sup>l</sup> 4	37/2 <sup>+</sup>	5230.8 <sup>@</sup> 5	45/2 <sup>+</sup>	6953.1 <sup>n</sup> 5	57/2 <sup>-</sup>	8824.2 <sup>n</sup> 5	65/2 <sup>-</sup>
3892.5 <sup>c</sup> 5	37/2 <sup>+</sup>	5265.1 <sup>g</sup> 4	47/2 <sup>+</sup>	6965.7 <sup>d</sup> 6	55/2 <sup>+</sup>	8924.8 <sup>h</sup> 5	65/2 <sup>+</sup>
3948.7 <sup>x</sup> 4	37/2 <sup>-</sup>	5279.4 <sup>i</sup> 4	47/2 <sup>+</sup>	6969.2 <sup>t</sup> 5	55/2 <sup>-</sup>	8946.0 <sup>m</sup> 9	63/2 <sup>+</sup>
3957.9 <sup>g</sup> 4	39/2 <sup>+</sup>	5349.0 <sup>n</sup> 4	49/2 <sup>-</sup>	7001.3 <sup>y</sup> 5	55/2 <sup>-</sup>	9003.6 <sup>b</sup> 6	(63/2 <sup>+</sup> )
3972.4 <sup>@</sup> 4	37/2 <sup>+</sup>	5369.5 <sup>w</sup> 4	47/2 <sup>-</sup>	7036.1 <sup>&amp;</sup> 4	57/2 <sup>+</sup>	9014.0 <sup>u</sup> 5	65/2 <sup>-</sup>
3974.1 <sup>m</sup> 4	35/2 <sup>+</sup>	5442.6 <sup>&amp;</sup> 4	49/2 <sup>+</sup>	7100.9 <sup>h</sup> 4	57/2 <sup>+</sup>	9016.0 <sup>v</sup> 6	65/2 <sup>-</sup>
3978.9 <sup>k</sup> 4	39/2 <sup>+</sup>	5486.4 <sup>d</sup> 5	47/2 <sup>+</sup>	7215.0 <sup>u</sup> 5	57/2 <sup>-</sup>	9037.8 <sup>j</sup> 5	65/2 <sup>+</sup>
4045.5 <sup>n</sup> 4	41/2 <sup>-</sup>	5491.2 <sup>t</sup> 5	47/2 <sup>-</sup>	7235.0 <sup>b</sup> 5	55/2 <sup>+</sup>	9109.0 <sup>l</sup> 6	65/2 <sup>+</sup>
4078.1 <sup>w</sup> 4	39/2 <sup>-</sup>	5540.1 <sup>y</sup> 5	47/2 <sup>-</sup>	7239.8 <sup>v</sup> 4	57/2 <sup>-</sup>	9120.5 <sup>x</sup> 6	(65/2 <sup>-</sup> )
4096.0 <sup>&amp;</sup> 4	41/2 <sup>+</sup>	5586.5 <sup>j</sup> 4	49/2 <sup>+</sup>	7241.7 <sup>j</sup> 4	57/2 <sup>+</sup>	9173.2 <sup>s</sup> 12	(65/2 <sup>-</sup> )
4193.1 <sup>d</sup> 4	39/2 <sup>+</sup>	5625.1 <sup>b</sup> 5	47/2 <sup>+</sup>	7259.8 <sup>m</sup> 6	55/2 <sup>+</sup>	9192.6 <sup>o</sup> 5	67/2 <sup>-</sup>
4205.9 <sup>j</sup> 4	41/2 <sup>+</sup>	5630.7 <sup>h</sup> 4	49/2 <sup>+</sup>	7328.3 <sup>l</sup> 5	57/2 <sup>+</sup>	9210.5 <sup>c</sup> 10	(65/2 <sup>+</sup> )
4222.8 <sup>b</sup> 4	39/2 <sup>+</sup>	5638.0 <sup>u</sup> 4	49/2 <sup>-</sup>	7334.8 <sup>o</sup> 5	59/2 <sup>-</sup>	9232.4 <sup>p</sup> 11	(J1+12)
4224.9 4	39/2 <sup>-</sup>	5705.4 <sup>o</sup> 4	51/2 <sup>-</sup>	7374.9 <sup>@</sup> 8	57/2 <sup>+</sup>	9269.9 <sup>a</sup> 5	67/2 <sup>+</sup>
4244.6 <sup>y</sup> 4	39/2 <sup>-</sup>	5714.6 <sup>v</sup> 4	49/2 <sup>-</sup>	7383.6 <sup>x</sup> 5	57/2 <sup>-</sup>	9442.9 <sup>i</sup> 7	67/2 <sup>+</sup>
4266.1 <sup>t</sup> 4	39/2 <sup>-</sup>	5778.0 <sup>l</sup> 5	49/2 <sup>+</sup>	7403.0 <sup>e</sup> 7	57/2 <sup>+</sup>	9498.2 <sup>w</sup> 7	67/2 <sup>-</sup>
4306.1 <sup>u</sup> 4	41/2 <sup>-</sup>	5783.7 <sup>m</sup> 5	47/2 <sup>+</sup>	7410.6 <sup>s</sup> 9	57/2 <sup>-</sup>	9542.1 <sup>g</sup> 8	67/2 <sup>+</sup>
4307.7 <sup>f</sup> 4	41/2 <sup>+</sup>	5833.2 <sup>a</sup> 4	51/2 <sup>+</sup>	7449.8 <sup>c</sup> 8	57/2 <sup>+</sup>	9568.2 <sup>t</sup> 6	67/2 <sup>-</sup>
4339.2 <sup>o</sup> 4	43/2 <sup>-</sup>	5859.6 <sup>x</sup> 5	49/2 <sup>-</sup>	7461.2 <sup>p</sup> 8	(J1+8)	9571.4 <sup>d</sup> 9	67/2 <sup>+</sup>
4373.5 <sup>s</sup> 4	41/2 <sup>-</sup>	5873.9 <sup>c</sup> 6	49/2 <sup>+</sup>	7471.1 <sup>a</sup> 4	59/2 <sup>+</sup>	9657.3 <sup>y</sup> 6	(67/2 <sup>-</sup> )
4385.9 <sup>v</sup> 4	41/2 <sup>-</sup>	5894.8 <sup>@</sup> 6	49/2 <sup>+</sup>	7543.2 <sup>i</sup> 4	59/2 <sup>+</sup>	9674.1 <sup>&amp;</sup> 5	69/2 <sup>+</sup>
4417.0 <sup>a</sup> 4	43/2 <sup>+</sup>	5907.4 <sup>s</sup> 6	49/2 <sup>-</sup>	7662.6 <sup>w</sup> 5	59/2 <sup>-</sup>	9858.3 <sup>n</sup> 6	69/2 <sup>-</sup>
4421.6 <sup>l</sup> 4	41/2 <sup>+</sup>	5912.9 <sup>p</sup> 6	(J1+4)	7684.8 <sup>g</sup> 5	59/2 <sup>+</sup>	9869.0 <sup>m</sup> 11	67/2 <sup>+</sup>
4496.0 <sup>c</sup> 5	41/2 <sup>+</sup>	5982.1 <sup>i</sup> 4	51/2 <sup>+</sup>	7775.7 <sup>d</sup> 6	59/2 <sup>+</sup>	9946.8 <sup>h</sup> 5	69/2 <sup>+</sup>
4521.2 <sup>m</sup> 4	39/2 <sup>+</sup>	6015.4 <sup>g</sup> 4	51/2 <sup>+</sup>	7779.5 <sup>t</sup> 6	59/2 <sup>-</sup>	9969.6 <sup>j</sup> 5	69/2 <sup>+</sup>
4544.8 <sup>x</sup> 4	41/2 <sup>-</sup>	6077.5 <sup>w</sup> 4	51/2 <sup>-</sup>	7824.3 <sup>y</sup> 6	59/2 <sup>-</sup>	9993.8 <sup>u</sup> 6	69/2 <sup>-</sup>
4554.1 <sup>p</sup> 5	(J1)	6116.9 <sup>n</sup> 5	53/2 <sup>-</sup>	7855.3 <sup>n</sup> 5	61/2 <sup>-</sup>	9997.0 <sup>v</sup> 6	69/2 <sup>-</sup>
4578.1 <sup>g</sup> 4	43/2 <sup>+</sup>	6202.5 <sup>d</sup> 5	51/2 <sup>+</sup>	7877.1 <sup>&amp;</sup> 4	61/2 <sup>+</sup>	10068.0 <sup>l</sup> 8	69/2 <sup>+</sup>
4594.8 <sup>@</sup> 4	41/2 <sup>+</sup>	6206.0 <sup>t</sup> 5	51/2 <sup>-</sup>	7967.8 <sup>h</sup> 4	61/2 <sup>+</sup>	10070.9 <sup>x</sup> 7	(69/2 <sup>-</sup> )
4597.4 <sup>k</sup> 4	43/2 <sup>+</sup>	6212.7 <sup>&amp;</sup> 4	53/2 <sup>+</sup>	8075.8 <sup>m</sup> 8	59/2 <sup>+</sup>	10144.7 <sup>s</sup> 13	(69/2 <sup>-</sup> )
4655.9 <sup>n</sup> 4	45/2 <sup>-</sup>	6242.3 <sup>y</sup> 5	51/2 <sup>-</sup>	8087.5 <sup>u</sup> 5	61/2 <sup>-</sup>	10185.0 <sup>p</sup> 12	(J1+14)
4704.8 <sup>w</sup> 4	43/2 <sup>-</sup>	6332.7 <sup>h</sup> 4	53/2 <sup>+</sup>	8095.9 <sup>v</sup> 5	61/2 <sup>-</sup>	10193.0 <sup>c</sup> 12	(69/2 <sup>+</sup> )
4734.9 <sup>&amp;</sup> 4	45/2 <sup>+</sup>	6388.3 <sup>j</sup> 4	53/2 <sup>+</sup>	8099.4 <sup>b</sup> 6	(59/2 <sup>+</sup> )	10202.9 <sup>o</sup> 6	71/2 <sup>-</sup>
4815.5 <sup>d</sup> 4	43/2 <sup>+</sup>	6397.5 <sup>u</sup> 5	53/2 <sup>-</sup>	8143.6 <sup>j</sup> 5	61/2 <sup>+</sup>	10263.6 <sup>a</sup> 6	71/2 <sup>+</sup>
4838.6 <sup>t</sup> 4	43/2 <sup>-</sup>	6405.7 <sup>b</sup> 5	51/2 <sup>+</sup>	8182.9 <sup>l</sup> 5	61/2 <sup>+</sup>	10489.1 <sup>i</sup> 9	71/2 <sup>+</sup>
4861.3 <sup>j</sup> 4	45/2 <sup>+</sup>	6447.7 <sup>v</sup> 4	53/2 <sup>-</sup>	8227.4 <sup>x</sup> 6	61/2 <sup>-</sup>	10504.1 <sup>w</sup> 9	71/2 <sup>-</sup>
4880.8 <sup>y</sup> 4	43/2 <sup>-</sup>	6490.5 <sup>o</sup> 5	55/2 <sup>-</sup>	8228.9 <sup>e</sup> 7	61/2 <sup>+</sup>	10531.4 <sup>g</sup> 9	71/2 <sup>+</sup>
4898.4 <sup>b</sup> 4	43/2 <sup>+</sup>	6494.8 <sup>m</sup> 5	51/2 <sup>+</sup>	8236.2 <sup>o</sup> 5	63/2 <sup>-</sup>	10551.3 <sup>d</sup> 11	71/2 <sup>+</sup>

Continued on next page (footnotes at end of table)

$^{123}\text{Sb}(^{48}\text{Ca}, 4n\gamma): \text{XUNDL-2}$  **2015Ro27** (continued) $^{167}\text{Lu}$  Levels (continued)

E(level) <sup>†</sup>	J <sup>π</sup> <sup>‡</sup>	E(level) <sup>†</sup>	J <sup>π</sup> <sup>‡</sup>	E(level) <sup>†</sup>	J <sup>π</sup> <sup>‡</sup>	E(level) <sup>†</sup>	J <sup>π</sup> <sup>‡</sup>
10553.1 <sup>t</sup> 8	(71/2 <sup>-</sup> )	12049.5 <sup>n</sup> 6	77/2 <sup>-</sup>	13851.1 <sup>d</sup> 14	(83/2 <sup>+</sup> )	x <sup>r</sup>	(J2)
10654.4 <sup>&amp;</sup> 5	73/2 <sup>+</sup>	12127.2 <sup>u</sup> 7	(77/2 <sup>-</sup> )	13921.7 <sup>&amp;</sup> 9	85/2 <sup>+</sup>	768.0+x <sup>r</sup> 5	
10655.3 <sup>v</sup> 7	(71/2 <sup>-</sup> )	12139.2 <sup>v</sup> 7	77/2 <sup>-</sup>	14111.9 <sup>m</sup> 15	(83/2 <sup>+</sup> )	1582.8+x <sup>r</sup> 7	(J2+2)
10846.4 <sup>m</sup> 12	(71/2 <sup>+</sup> )	12154.7 <sup>x</sup> 7	(77/2 <sup>-</sup> )	14299.7 <sup>n</sup> 10	(85/2 <sup>-</sup> )	2459.0+x <sup>r</sup> 9	(J2+4)
10947.3 <sup>n</sup> 6	73/2 <sup>-</sup>	12160.3 <sup>l</sup> 11	77/2 <sup>+</sup>	14315.0 <sup>j</sup> 11	85/2 <sup>+</sup>	3389.0+x <sup>r</sup> 10	(J2+6)
10957.6 <sup>j</sup> 6	73/2 <sup>+</sup>	12168.0 <sup>h</sup> 8	(77/2 <sup>+</sup> )	14466.4 <sup>u</sup> 9	(85/2 <sup>-</sup> )	4373.7+x <sup>r</sup> 12	(J2+8)
11027.2 <sup>u</sup> 7	73/2 <sup>-</sup>	12209.6 <sup>s</sup> 15	(77/2 <sup>-</sup> )	14487.8 <sup>l</sup> 13	(85/2 <sup>+</sup> )	5413.2+x <sup>r</sup> 13	(J2+10)
11030.9 <sup>h</sup> 5	(73/2 <sup>+</sup> )	12377.2 <sup>o</sup> 6	79/2 <sup>-</sup>	14737.5 <sup>o</sup> 10	87/2 <sup>-</sup>	6509.4+x <sup>r</sup> 14	(J2+12)
11037.0 <sup>v</sup> 7	73/2 <sup>-</sup>	12440.4 <sup>a</sup> 9	79/2 <sup>+</sup>	14823.3 <sup>a</sup> 12	87/2 <sup>+</sup>	7662.5+x <sup>r</sup> 15	(J2+14)
11084.1 <sup>x</sup> 7	(73/2 <sup>-</sup> )	12657.0 <sup>w</sup> 12	79/2 <sup>-</sup>	14965.0 <sup>w</sup> 14	(87/2 <sup>-</sup> )	8872.9+x <sup>r</sup> 15	(J2+16)
11084.4 <sup>l</sup> 10	73/2 <sup>+</sup>	12686.9 <sup>d</sup> 13	(79/2 <sup>+</sup> )	15108.1 <sup>&amp;</sup> 11	89/2 <sup>+</sup>	10136.9+x <sup>r</sup> 16	(J2+18)
11151.7 <sup>s</sup> 14	(73/2 <sup>-</sup> )	12697.3 <sup>t</sup> 11	(79/2 <sup>-</sup> )	15312.0 <sup>m</sup> 16	(87/2 <sup>+</sup> )	11446.2+x <sup>r</sup> 17	(J2+20)
11194.1 <sup>p</sup> 13	(J1+16)	12780.9 <sup>&amp;</sup> 8	81/2 <sup>+</sup>	15472.8 <sup>n</sup> 11	(89/2 <sup>-</sup> )	12802.3+x <sup>r</sup> 18	(J2+22)
11219.4 <sup>c</sup> 13	(73/2 <sup>+</sup> )	12962.7 <sup>m</sup> 14	(79/2 <sup>+</sup> )	15558.2 <sup>j</sup> 12	(89/2 <sup>+</sup> )	y <sup>q</sup>	(J3)
11265.3 <sup>o</sup> 6	75/2 <sup>-</sup>	13131.7 <sup>j</sup> 9	81/2 <sup>+</sup>	15735.0 <sup>l</sup> 14	(89/2 <sup>+</sup> )	807.0+y <sup>q</sup> 5	(J3+2)
11321.9 <sup>a</sup> 8	75/2 <sup>+</sup>	13157.8 <sup>n</sup> 8	81/2 <sup>-</sup>	15968.5 <sup>o</sup> 11	(91/2 <sup>-</sup> )	1670.1+y <sup>q</sup> 7	(J3+4)
11558.9 <sup>w</sup> 10	75/2 <sup>-</sup>	13278.2 <sup>u</sup> 8	(81/2 <sup>-</sup> )	16067.3 <sup>a</sup> 13	(91/2 <sup>+</sup> )	2588.4+y <sup>q</sup> 9	(J3+6)
11571.4 <sup>g</sup> 11	(75/2 <sup>+</sup> )	13290.8 <sup>x</sup> 9	(81/2 <sup>-</sup> )	16339.3 <sup>&amp;</sup> 12	93/2 <sup>+</sup>	3562.9+y <sup>q</sup> 10	(J3+8)
11587.9 <sup>d</sup> 12	75/2 <sup>+</sup>	13291.0 <sup>v</sup> 9	(81/2 <sup>-</sup> )	16681.2 <sup>n</sup> 12	(93/2 <sup>-</sup> )	4593.0+y <sup>q</sup> 12	(J3+10)
11594.4 <sup>i</sup> 10	75/2 <sup>+</sup>	13295.4 <sup>l</sup> 12	(81/2 <sup>+</sup> )	17048.1 <sup>l</sup> 15	(93/2 <sup>+</sup> )	5682.3+y <sup>q</sup> 13	(J3+12)
11601.2 <sup>t</sup> 10	(75/2 <sup>-</sup> )	13537.3 <sup>o</sup> 8	83/2 <sup>-</sup>	17229.8 <sup>o</sup> 12	(95/2 <sup>-</sup> )	6830.5+y <sup>q</sup> 14	(J3+14)
11690.5 <sup>&amp;</sup> 6	77/2 <sup>+</sup>	13611.0 <sup>a</sup> 10	83/2 <sup>+</sup>	17323.4 <sup>a</sup> 14	(95/2 <sup>+</sup> )	8040.5+y <sup>q</sup> 15	(J3+16)
11878.7 <sup>m</sup> 13	(75/2 <sup>+</sup> )	13795.4 <sup>w</sup> 13	(83/2 <sup>-</sup> )	17617.9 <sup>&amp;</sup> 13	(97/2 <sup>+</sup> )	9310.7+y <sup>q</sup> 15	(J3+18)
12011.6 <sup>j</sup> 8	77/2 <sup>+</sup>	13813.3 <sup>t</sup> 12	(83/2 <sup>-</sup> )	17943.3 <sup>n</sup> 13	(97/2 <sup>-</sup> )		

<sup>†</sup> From least-squares fit (by compiler) to  $E\gamma$  values. Normalized  $\chi^2=0.61$ , with about 40  $\gamma$  ray energies out of 630  $\gamma$  rays falling within  $2\sigma$  of the corresponding level-energy differences, which implies 94% of the  $E\gamma$  values are fitted within  $1\sigma$ .

<sup>‡</sup> As assigned by **2015Ro27** based on multiplicities deduced from  $\gamma\gamma(\theta)$ (DCO) values, band structures, decay modes and theoretical model calculations.

# From  $^{167}\text{Lu}$  Adopted Levels in the ENSDF database.

@ Band(A): Band #7 built on  $\pi 5/2[402], \alpha=+1/2$ . Configuration=iBC -> iBCAD; BC crossing at  $\hbar\omega=0.32$  MeV, followed by AD crossing. This band appears to be a continuation of  $\alpha=+1/2$  signature of band #9 in **2015Ro27**. Band #7 interacts with band #4 at  $49/2^+$ ; energy separation=21.0 keV.

& Band(B): Band #1 built on  $\pi 7/2[404], \alpha=+1/2$ . Configuration=a -> aAB -> aABCD; AB crossing at  $\hbar\omega=0.26$  MeV, and CD crossing at  $\hbar\omega=0.42$  MeV. Band #1 interacts with band #10 at  $57/2^+$ ; energy separation=65.8 keV.

<sup>a</sup> Band(b): Band #1 built on  $\pi 7/2[404], \alpha=-1/2$ . Configuration=b -> bAB -> bABCD -> bABCD(ef or fg); AB crossing at  $\hbar\omega=0.26$  MeV, CD crossing at  $\hbar\omega=0.42$  MeV and ef or fg proton crossing at  $\hbar\omega=0.62$  MeV.

<sup>b</sup> Band(C): Band #6,  $\gamma$ -vibrational band. Possible  $\gamma$ -vibrational band built on  $\pi 1/2[411]$  orbital. Band #6 interacts with band #4 at  $39/2^+$ ; energy separation=29.6 keV.

<sup>c</sup> Band(D): 3-qp, eAF band #4,  $\alpha=+1/2$ . Configuration=eAF -> eAFBC; BC crossing at  $\hbar\omega\approx 0.32$  MeV. Band #4 interacts with band #5 at  $53/2^+$ ; energy separation=33.9 keV. Band #4 interacts with band #7 at  $49/2^+$ ; energy separation=21.0 keV.

<sup>d</sup> Band(d): 3-qp, fAF band #4,  $\alpha=-1/2$ . Configuration=fAF -> fAFBC; BC crossing at  $\hbar\omega\approx 0.32$  MeV. This positive-parity band was previously assigned in **2005Am02**, incorrectly, as a triaxial strongly deformed (tsd-3) band with a negative parity. Band #4 interacts with band #6 at  $39/2^+$ ; energy separation=29.6 keV.

<sup>e</sup> Band(E): Possible 5-qp band #5, cBCAD,  $\alpha=+1/2$ . Band #5 interacts with band #11 at  $61/2^+$ ; energy separation=45.9 keV. Band #5 interacts with band #4 at  $53/2^+$ ; energy separation=33.9 keV.

<sup>f</sup> Band(F): Band #8 built on  $\pi 1/2[411], \alpha=+1/2$ . Configuration=c -> cAB; AB crossing at  $\hbar\omega=0.27$  MeV.

Continued on next page (footnotes at end of table)

$^{123}\text{Sb}(^{48}\text{Ca},4n\gamma):\text{XUNDL-2}$  **2015Ro27 (continued)** $^{167}\text{Lu}$  Levels (continued)

- <sup>g</sup> Band(f): Band #8 built on  $\pi 1/2[411], \alpha = -1/2$ . Configuration=d  $\rightarrow$  dAB  $\rightarrow$  dABCD; AB crossing at  $\hbar\omega = 0.27$  MeV, and CD crossing at  $\hbar\omega = 0.46$  MeV. Band #8 interacts with band #9 at  $31/2^+$ ; energy separation=20.0 keV. Band #8 interacts with band #10 at  $47/2^+$ ; energy separation=14.2 keV.
- <sup>h</sup> Band(G): 5-qp band #10, aABCD,  $\alpha = +1/2$ . Configuration=aABCD  $\rightarrow$  aAB, Landau-Zener crossing with band #1 at  $J=57/2$ . Band #10 interacts with band #1 at  $57/2^+$ ; energy separation=65.8 keV. Band #10 interacts with band #9 at  $49/2^+$ ; energy separation=45.2 keV.
- <sup>i</sup> Band(g): 5-qp band #10, bABCD,  $\alpha = -1/2$ . Configuration=bABCD  $\rightarrow$  bAB, Landau-Zener crossing with band #1 at  $J=57/2$ . Band #10 interacts with band #8 at  $47/2^+$ ; energy separation=14.2 keV.
- <sup>j</sup> Band(H): Band #9 built on  $\pi 5/2[402], \alpha = +1/2$ . Configuration=i  $\rightarrow$  iAB  $\rightarrow$  iABCD; AB crossing at  $\hbar\omega = 0.25$  MeV, and CD crossing at  $\hbar\omega = 0.46$  MeV. Band #9 interacts with band #10 at  $49/2^+$ ; energy separation=45.2 keV. Band #9 interacts with band #11 at  $61/2^+$ ; energy separation=39.3 keV.
- <sup>k</sup> Band(h): Band #9 built on  $\pi 5/2[402], \alpha = -1/2$ . Configuration=j  $\rightarrow$  jAB; AB crossing at  $\hbar\omega = 0.25$  MeV. Band #9 interacts with band #8 at  $31/2^+$ ; energy separation=20.0 keV.
- <sup>l</sup> Band(I): TSD-1, 0-phonon band #11,  $\alpha = +1/2$ . Triaxial strongly-deformed band (TSD) associated with  $\pi 1/2[660]$  orbital. Band #11 interacts with band #5 at  $61/2^+$ ; energy separation=45.9 keV. Band #11 interacts with band #9 at  $61/2^+$ ; energy separation=39.3 keV.
- <sup>m</sup> Band(J): TSD-2, 1-phonon band #12,  $\alpha = -1/2$ . Triaxial strongly-deformed (TSD) band associated with  $\pi 1/2[660]$  orbital.
- <sup>n</sup> Band(K): Band #15 built on  $\pi 9/2[514], \alpha = +1/2$ . Configuration=e  $\rightarrow$  eAB  $\rightarrow$  eABfg; AB crossing at  $\hbar\omega = 0.26$  MeV, and fg crossing at  $\hbar\omega = 0.55$  MeV.
- <sup>o</sup> Band(k): Band #15 built on  $\pi 9/2[514], \alpha = -1/2$ . Configuration=f  $\rightarrow$  fAB  $\rightarrow$  fABCD  $\rightarrow$  fABCDEF; AB crossing at  $\hbar\omega = 0.26$  MeV, Cd crossing at  $\hbar\omega = 0.35-0.55$  MeV, and ef crossing at  $\hbar\omega = 0.6$  MeV.
- <sup>p</sup> Band(L): 3-qp, eBC band #16. Configuration=eBC  $\rightarrow$  eBCAD; AD crossing at  $\hbar\omega = 0.35-0.50$  MeV.
- <sup>q</sup> Band(M): Possible triaxial strongly-deformed band #18.
- <sup>r</sup> Band(N): Possible triaxial strongly-deformed band #17.
- <sup>s</sup> Band(O): Band #13 built on  $\pi 1/2[541], \alpha = +1/2$ . Configuration=g  $\rightarrow$  gBCAD; BCAD crossing at  $\hbar\omega = 0.38$  MeV. Band #13 interacts with band #2 at  $41/2^-$ ; energy separation=12.4 keV.
- <sup>t</sup> Band(o): Band #13 built on  $\pi 1/2[541], \alpha = -1/2$ . Configuration=h  $\rightarrow$  hAB  $\rightarrow$  hABCD  $\rightarrow$  hABCD(proton orbital); AB crossing at  $\hbar\omega = 0.29$  MeV, CD crossing at  $\hbar\omega = 0.4-0.5$  MeV and possible crossing at  $\hbar\omega = 0.55$  MeV due to proton orbitals. Band #13 interacts with band #3 at  $39/2^-$ ; energy separation=21.5 keV.
- <sup>u</sup> Band(P): 3-qp, gAB band #14,  $\alpha = +1/2$ . Configuration=gAB  $\rightarrow$  gAB(CD/EF)  $\rightarrow$  gAB(CD/EF)ef; CD/EF crossing at  $\hbar\omega = 0.4-0.5$  MeV and ef crossing at  $\hbar\omega \approx 0.57$  MeV. Band #14 interacts with band #2 at  $65/2^-$ ; energy separation=1.3 keV.
- <sup>v</sup> Band(Q): 3-qp, aAE band #2,  $\alpha = +1/2$ . Configuration=aAE  $\rightarrow$  aAEBC  $\rightarrow$  aAEBC(ef); BC crossing at  $\hbar\omega = 0.32$  MeV and possible ef crossing at  $\hbar\omega \approx 0.5$  MeV. Band #2 interacts with band #13 at  $41/2^-$ ; energy separation=12.4 keV. Band #2 interacts with band #14 at  $65/2^-$ ; energy separation=1.3 keV.
- <sup>w</sup> Band(q): 3-qp, bAE band #2,  $\alpha = -1/2$ . Configuration=bAE  $\rightarrow$  bAEBC; BC crossing at  $\hbar\omega = 0.32$  MeV.
- <sup>x</sup> Band(R): 3-qp, aAF band #3,  $\alpha = +1/2$ . Configuration=aAF  $\rightarrow$  aAFBC; BC crossing at  $\hbar\omega \approx 0.32$  MeV.
- <sup>y</sup> Band(r): 3-qp, bAF band #3,  $\alpha = -1/2$ . Configuration=bAF  $\rightarrow$  bAFBC; BC crossing at  $\hbar\omega \approx 0.32$  MeV. Band #3 interacts with band #13 at  $39/2^-$ ; energy separation=21.5 keV.

 $\gamma(^{167}\text{Lu})$ 

DCO values correspond to gates on  $\Delta J=2$ , quadrupole (E2) transitions, and angles of  $32^\circ$ ,  $37^\circ$ ,  $143^\circ$ ,  $148^\circ$  and  $163^\circ$  along the x-axis and  $58^\circ$  to  $122^\circ$  along the y-axis. Expected DCO values are 1.0 for  $\Delta J=2$ , quadrupole and 0.6 for  $\Delta J=1$ , dipole transitions. Mixed M1+E2 transitions in coupled bands have DCO values between 0.6 and 1.0. Multipolarities deduced from DCO ratios and decay patterns are not listed explicitly by 2015Ro27 but these can be implied from the assigned  $J^\pi$  values and band structures.

Continued on next page (footnotes at end of table)

$^{123}\text{Sb}(^{48}\text{Ca},4n\gamma):\text{XUNDL-2}$  **2015Ro27** (continued) $\gamma(^{167}\text{Lu})$  (continued)

$E_\gamma$ †	$I_\gamma$ ‡	$E_i(\text{level})$	$J_i^\pi$	$E_f$	$J_f^\pi$	Comments
87.7 @ 2	@	136.3	1/2 <sup>-</sup>	48.6	3/2 <sup>+</sup>	
101.5 2	10.1 20	433.55	11/2 <sup>-</sup>	331.87	9/2 <sup>-</sup>	
102.6 2	11.2 22	136.3	1/2 <sup>-</sup>	33.7	1/2 <sup>+</sup>	DCO=0.92 4
107.3 2	26.3 53	155.9	5/2 <sup>-</sup>	48.6	3/2 <sup>+</sup>	DCO=0.84 3
111.7 2	29.1 58	267.6	9/2 <sup>-</sup>	155.9	5/2 <sup>-</sup>	
117.4 @ 2	@	184.5	7/2 <sup>+</sup>	67.1	5/2 <sup>+</sup>	DCO=0.85 4
129.7 @ 2	@	178.3	5/2 <sup>+</sup>	48.6	3/2 <sup>+</sup>	
140.0 2	14.7 29	140.04	9/2 <sup>+</sup>	0.0	7/2 <sup>+</sup>	
143.4 2	44.8 28	576.90	13/2 <sup>-</sup>	433.55	11/2 <sup>-</sup>	
144.6 @ 2	@	178.3	5/2 <sup>+</sup>	33.7	1/2 <sup>+</sup>	
145.0 2	19.5 33	329.5	9/2 <sup>+</sup>	184.5	7/2 <sup>+</sup>	DCO=0.80 8
159.7 2	1.5 1	2100.28	23/2 <sup>-</sup>	1940.48	21/2 <sup>-</sup>	
162.2 5	≤0.3	2938.9	31/2 <sup>+</sup>	2776.7	29/2 <sup>+</sup>	
165.3 2	37.5 36	305.29	11/2 <sup>+</sup>	140.04	9/2 <sup>+</sup>	
167.3 2	62.9 55	744.09	15/2 <sup>-</sup>	576.90	13/2 <sup>-</sup>	
167.7 2	2.5 7	435.4	7/2 <sup>-</sup>	267.6	9/2 <sup>-</sup>	
169.4 2	14.1 11	499.0	11/2 <sup>+</sup>	329.5	9/2 <sup>+</sup>	DCO=0.74 7
169.8 @ 2	@	218.4	7/2 <sup>+</sup>	48.6	3/2 <sup>+</sup>	DCO=1.00 4
174.9 2	2.1 2	3133.7	33/2 <sup>+</sup>	2958.8	31/2 <sup>-</sup>	DCO=0.66 11
176.7 2	1.0 2	435.4	7/2 <sup>-</sup>	258.7	3/2 <sup>-</sup>	DCO=1.07 5
178.2 2	9.5 10	507.8	11/2 <sup>+</sup>	329.5	9/2 <sup>+</sup>	DCO=0.82 4
185.3 2	4.2 4	2285.55	25/2 <sup>-</sup>	2100.28	23/2 <sup>-</sup>	DCO=0.91 13
186.0 2	7.9 8	693.9	13/2 <sup>+</sup>	507.8	11/2 <sup>+</sup>	DCO=0.68 7
188.2 2	5.1 4	2694.6	29/2 <sup>+</sup>	2506.5	27/2 <sup>+</sup>	DCO=0.83 8
188.9 2	25.3 28	494.18	13/2 <sup>+</sup>	305.29	11/2 <sup>+</sup>	
189.5 2	1.5 1	1406.6	19/2 <sup>+</sup>	1217.1	17/2 <sup>+</sup>	DCO=0.78 16
191.2 2	1.1 2	3628.5	37/2 <sup>+</sup>	3437.3	35/2 <sup>+</sup>	DCO=0.74 15
191.7 2	32.1 64	331.87	9/2 <sup>-</sup>	140.04	9/2 <sup>+</sup>	
193.5 5	0.9 1	887.3	15/2 <sup>+</sup>	693.9	13/2 <sup>+</sup>	DCO=0.69 14
194.8 2	5.8 5	693.9	13/2 <sup>+</sup>	499.0	11/2 <sup>+</sup>	DCO=0.82 9
203.1 2	1.9 2	3413.9	35/2 <sup>+</sup>	3210.8	33/2 <sup>+</sup>	
203.6 2	49.4 29	947.69	17/2 <sup>-</sup>	744.09	15/2 <sup>-</sup>	
205.3 5	0.5 1	1346.5	19/2 <sup>+</sup>	1141.4	17/2 <sup>+</sup>	DCO=0.77 15
205.4 2	3.8 3	2491.01	27/2 <sup>-</sup>	2285.55	25/2 <sup>-</sup>	DCO=0.86 12
210.3 2	24.0 22	704.23	15/2 <sup>+</sup>	494.18	13/2 <sup>+</sup>	
211.7 2	46.3 34	1159.41	19/2 <sup>-</sup>	947.69	17/2 <sup>-</sup>	
212.3 2	66.3 61	479.9	13/2 <sup>-</sup>	267.6	9/2 <sup>-</sup>	DCO=1.10 4
213.0 5	0.7 2	692.8	11/2 <sup>-</sup>	479.9	13/2 <sup>-</sup>	
214.5 2	5.7 6	432.8	9/2 <sup>+</sup>	218.4	7/2 <sup>+</sup>	DCO=0.81 8
214.6 2	1.2 2	3628.5	37/2 <sup>+</sup>	3413.9	35/2 <sup>+</sup>	
218.8 2	24.4 15	3288.7	35/2 <sup>-</sup>	3069.9	33/2 <sup>-</sup>	
221.1 2	11.0 9	3043.7	33/2 <sup>+</sup>	2822.8	31/2 <sup>+</sup>	
222.4 2	8.9 7	916.2	15/2 <sup>+</sup>	693.9	13/2 <sup>+</sup>	DCO=0.81 5
224.7 2	1.3 2	2715.7	29/2 <sup>-</sup>	2491.01	27/2 <sup>-</sup>	DCO=0.99 20
225.0 2	1.7 3	258.7	3/2 <sup>-</sup>	33.7	1/2 <sup>+</sup>	
225.3 2	6.8 3	1141.4	17/2 <sup>+</sup>	916.2	15/2 <sup>+</sup>	DCO=0.68 16
226.6 5	0.6 1	3437.3	35/2 <sup>+</sup>	3210.8	33/2 <sup>+</sup>	
226.9 5	0.3 1	4205.9	41/2 <sup>+</sup>	3978.9	39/2 <sup>+</sup>	
230.0 2	21.6 31	934.17	17/2 <sup>+</sup>	704.23	15/2 <sup>+</sup>	
232.3 2	2.4 3	2187.1	25/2 <sup>+</sup>	1954.7	23/2 <sup>+</sup>	DCO=0.82 12
234.4 2	24.9 15	3523.1	37/2 <sup>-</sup>	3288.7	35/2 <sup>-</sup>	
235.4 5	≤0.3	3356.9	33/2 <sup>+</sup>	3121.2	31/2 <sup>+</sup>	
238.0 5	0.8 1	1954.7	23/2 <sup>+</sup>	1716.7	21/2 <sup>+</sup>	DCO=0.80 16
241.2 2	10.9 12	3285.1	35/2 <sup>+</sup>	3043.7	33/2 <sup>+</sup>	
242.1 2	8.1 8	2822.8	31/2 <sup>+</sup>	2580.6	29/2 <sup>+</sup>	

Continued on next page (footnotes at end of table)

$^{123}\text{Sb}(^{48}\text{Ca},4n\gamma):\text{XUNDL-2}$  **2015Ro27** (continued) $\gamma(^{167}\text{Lu})$  (continued)

$E_\gamma$ †	$I_\gamma$ ‡	$E_i(\text{level})$	$J_i^\pi$	$E_f$	$J_f^\pi$	Comments
242.9 5	0.9 3	2749.3	29/2 <sup>+</sup>	2506.5	27/2 <sup>+</sup>	DCO=0.82 12
243.1 2	1.1 2	2958.8	31/2 <sup>-</sup>	2715.7	29/2 <sup>-</sup>	DCO=1.07 21
243.4 2	3.9 3	1649.9	21/2 <sup>+</sup>	1406.6	19/2 <sup>+</sup>	DCO=0.75 11
244.4 2	32.0 30	1655.83	23/2 <sup>-</sup>	1411.47	21/2 <sup>-</sup>	
245.1 2	14.4 24	576.90	13/2 <sup>-</sup>	331.87	9/2 <sup>-</sup>	
245.8 2	2.9 3	2506.5	27/2 <sup>+</sup>	2260.7	25/2 <sup>+</sup>	DCO=0.63 16
246.6 2	≤21.6	1180.99	19/2 <sup>+</sup>	934.17	17/2 <sup>+</sup>	
246.6 2	≤13.8	3531.9	37/2 <sup>+</sup>	3285.1	35/2 <sup>+</sup>	
248.3 2	2.0 3	432.8	9/2 <sup>+</sup>	184.5	7/2 <sup>+</sup>	DCO=0.84 13
251.0 2	17.2 17	3774.0	39/2 <sup>-</sup>	3523.1	37/2 <sup>-</sup>	
252.1 2	39.6 32	1411.47	21/2 <sup>-</sup>	1159.41	19/2 <sup>-</sup>	
254.0 2	1.4 1	1141.4	17/2 <sup>+</sup>	887.3	15/2 <sup>+</sup>	DCO=0.81 16
254.5 2	5.6 6	432.8	9/2 <sup>+</sup>	178.3	5/2 <sup>+</sup>	DCO=0.99 10
257.4 2	6.4 13	692.8	11/2 <sup>-</sup>	435.4	7/2 <sup>-</sup>	DCO=1.04 5
258.5 5	0.7 2	3217.3	33/2 <sup>-</sup>	2958.8	31/2 <sup>-</sup>	DCO=1.21 24
260.0 5	0.5 2	3678.3	35/2 <sup>-</sup>	3418.1	33/2 <sup>-</sup>	
262.4 2	2.7 5	329.5	9/2 <sup>+</sup>	67.1	5/2 <sup>+</sup>	DCO=0.90 14
263.5 2	9.5 11	1940.48	21/2 <sup>-</sup>	1677.0	(17/2 <sup>-</sup> )	
263.6 2	12.8 10	1444.42	21/2 <sup>+</sup>	1180.99	19/2 <sup>+</sup>	
264.0 2	1.0 2	4861.3	45/2 <sup>+</sup>	4597.4	43/2 <sup>+</sup>	
264.1 2	6.6 7	2958.8	31/2 <sup>+</sup>	2694.6	29/2 <sup>+</sup>	DCO=0.83 8
265.2 2	3.7 2	1406.6	19/2 <sup>+</sup>	1141.4	17/2 <sup>+</sup>	DCO=0.77 12
266.6 5	≤0.3	3892.5	37/2 <sup>+</sup>	3625.8	35/2 <sup>+</sup>	
267.6 2	14.2 25	2214.9	27/2 <sup>-</sup>	1947.3	25/2 <sup>-</sup>	
268.4 2	34.8 60	2800.4	31/2 <sup>-</sup>	2531.7	29/2 <sup>-</sup>	
269.1 5	0.4 1	3625.8	35/2 <sup>+</sup>	3356.9	33/2 <sup>+</sup>	
269.6 2	37.8 60	3069.9	33/2 <sup>-</sup>	2800.4	31/2 <sup>-</sup>	
270.2 2	2.8 3	2776.7	29/2 <sup>+</sup>	2506.5	27/2 <sup>+</sup>	
270.4 2	2.2 6	3948.7	37/2 <sup>-</sup>	3678.3	35/2 <sup>-</sup>	DCO=0.61 6
271.7 2	20.9 14	4045.5	41/2 <sup>-</sup>	3774.0	39/2 <sup>-</sup>	
272.0 5	0.6 1	3210.8	33/2 <sup>+</sup>	2938.9	31/2 <sup>+</sup>	
274.3 5	0.8 4	3491.7	35/2 <sup>-</sup>	3217.3	33/2 <sup>-</sup>	DCO=0.99 20
275.8 2	10.0 9	1720.06	23/2 <sup>+</sup>	1444.42	21/2 <sup>+</sup>	
276.0 2	1.4 2	783.7	13/2 <sup>+</sup>	507.8	11/2 <sup>+</sup>	DCO=0.67 13
279.4 2	11.0 22	435.4	7/2 <sup>-</sup>	155.9	5/2 <sup>-</sup>	
280.7 2	4.8 9	3812.6	39/2 <sup>+</sup>	3531.9	37/2 <sup>+</sup>	
281.0 2	7.6 12	2580.6	29/2 <sup>+</sup>	2299.3	27/2 <sup>+</sup>	
283.6 2	5.2 6	4096.0	41/2 <sup>+</sup>	3812.6	39/2 <sup>+</sup>	
284.5 2	4.0 5	783.7	13/2 <sup>+</sup>	499.0	11/2 <sup>+</sup>	DCO=0.65 10
287.0 5	0.6 2	3778.6	37/2 <sup>-</sup>	3491.7	35/2 <sup>-</sup>	DCO=1.00 20
288.3 2	11.0 9	2008.11	25/2 <sup>+</sup>	1720.06	23/2 <sup>+</sup>	
289.4 2	17.5 17	507.8	11/2 <sup>+</sup>	218.4	7/2 <sup>+</sup>	DCO=0.97 4
291.2 2	6.8 7	2299.3	27/2 <sup>+</sup>	2008.11	25/2 <sup>+</sup>	
291.6 2	25.2 16	1947.3	25/2 <sup>-</sup>	1655.83	23/2 <sup>-</sup>	
293.6 2	33.0 66	433.55	11/2 <sup>-</sup>	140.04	9/2 <sup>+</sup>	
293.9 2	14.5 16	4339.2	43/2 <sup>-</sup>	4045.5	41/2 <sup>-</sup>	
295.7 5	0.4 1	4244.6	39/2 <sup>-</sup>	3948.7	37/2 <sup>-</sup>	
299.4 5	0.9 2	4078.1	39/2 <sup>-</sup>	3778.6	37/2 <sup>-</sup>	DCO=1.02 20
300.0 5	0.5 1	4193.1	39/2 <sup>+</sup>	3892.5	37/2 <sup>+</sup>	
300.3 5	0.4 1	4544.8	41/2 <sup>-</sup>	4244.6	39/2 <sup>-</sup>	
301.0 2	1.1 2	1217.1	17/2 <sup>+</sup>	916.2	15/2 <sup>+</sup>	DCO=0.69 14
303.6 2	1.9 2	3437.3	35/2 <sup>+</sup>	3133.7	33/2 <sup>+</sup>	DCO=0.67 13
304.1 5	0.5 2	5184.7	45/2 <sup>-</sup>	4880.8	43/2 <sup>-</sup>	
304.9 2	2.8 1	1954.7	23/2 <sup>+</sup>	1649.9	21/2 <sup>+</sup>	DCO=0.73 11
305.3 2	44.3 33	305.29	11/2 <sup>+</sup>	0.0	7/2 <sup>+</sup>	
306.0 2	6.0 7	2260.7	25/2 <sup>+</sup>	1954.7	23/2 <sup>+</sup>	DCO=0.79 8

Continued on next page (footnotes at end of table)



$^{123}\text{Sb}(^{48}\text{Ca}, 4n\gamma): \text{XUNDL-2}$  **2015Ro27** (continued) $\gamma(^{167}\text{Lu})$  (continued)

$E_\gamma$ †	$I_\gamma$ ‡	$E_i(\text{level})$	$J_i^\pi$	$E_f$	$J_f^\pi$	Comments
307.2 5	0.7 1	5586.5	49/2 <sup>+</sup>	5279.4	47/2 <sup>+</sup>	
307.4 2	1.9 2	3721.3	37/2 <sup>+</sup>	3413.9	35/2 <sup>+</sup>	
307.9 5	0.7 2	4385.9	41/2 <sup>-</sup>	4078.1	39/2 <sup>-</sup>	DCO=0.91 18
310.0 2	9.0 9	1716.7	21/2 <sup>+</sup>	1406.6	19/2 <sup>+</sup>	DCO=0.84 4
310.4 2	32.8 24	744.09	15/2 <sup>-</sup>	433.55	11/2 <sup>-</sup>	
311.2 2	3.8 2	2100.28	23/2 <sup>-</sup>	1789.12	19/2 <sup>-</sup>	
314.5 2	7.3 7	499.0	11/2 <sup>+</sup>	184.5	7/2 <sup>+</sup>	DCO=0.93 18
314.5 2	87.5 81	794.5	17/2 <sup>-</sup>	479.9	13/2 <sup>-</sup>	DCO=1.02 4
316.4 2	20.0 29	2531.7	29/2 <sup>-</sup>	2214.9	27/2 <sup>-</sup>	
316.9 2	13.4 21	4655.9	45/2 <sup>-</sup>	4339.2	43/2 <sup>-</sup>	
317.7 2	≤4.8	4734.9	45/2 <sup>+</sup>	4417.0	43/2 <sup>+</sup>	DCO=0.68 4
318.4 2	1.6 2	2483.5	25/2 <sup>-</sup>	2165.0	21/2 <sup>-</sup>	DCO=1.10 20
318.8 5	0.5 1	4704.8	43/2 <sup>-</sup>	4385.9	41/2 <sup>-</sup>	DCO=1.09 22
319.4 2	1.2 2	2506.5	27/2 <sup>+</sup>	2187.1	25/2 <sup>+</sup>	DCO=0.52 10
319.4 5	≤0.3	5859.6	49/2 <sup>-</sup>	5540.1	47/2 <sup>-</sup>	
319.7 5	≤0.3	4815.5	43/2 <sup>+</sup>	4496.0	41/2 <sup>+</sup>	
321.0 2	≤3.0	4417.0	43/2 <sup>+</sup>	4096.0	41/2 <sup>+</sup>	DCO=0.73 4
326.2 5	≤0.3	5030.7	45/2 <sup>-</sup>	4704.8	43/2 <sup>-</sup>	DCO=0.81 16
329.2 2	2.0 4	4554.1	(J1)	4224.9	39/2 <sup>-</sup>	
329.8 2	4.4 5	1217.1	17/2 <sup>+</sup>	887.3	15/2 <sup>+</sup>	DCO=0.56 8
330.0 2	13.8 12	4985.9	47/2 <sup>-</sup>	4655.9	45/2 <sup>-</sup>	
331.9 2	40.4 60	331.87	9/2 <sup>-</sup>	0.0	7/2 <sup>+</sup>	
335.9 5	0.9 3	4880.8	43/2 <sup>-</sup>	4544.8	41/2 <sup>-</sup>	
338.4 5	0.7 6	5369.5	47/2 <sup>-</sup>	5030.7	45/2 <sup>-</sup>	DCO=0.86 17
341.6 2	6.8 6	1034.4	15/2 <sup>-</sup>	692.8	11/2 <sup>-</sup>	DCO=1.08 11
345.0 2	7.7 7	2285.55	25/2 <sup>-</sup>	1940.48	21/2 <sup>-</sup>	
345.0 2	1.0 9	5714.6	49/2 <sup>-</sup>	5369.5	47/2 <sup>-</sup>	
349.6 2	4.7 5	5442.6	49/2 <sup>+</sup>	5093.0	47/2 <sup>+</sup>	DCO=0.72 11
350.1 5	≤0.3	6592.6	53/2 <sup>-</sup>	6242.3	51/2 <sup>-</sup>	
350.4 2	1.6 3	3978.9	39/2 <sup>+</sup>	3628.5	37/2 <sup>+</sup>	
350.6 5	0.9 2	6332.7	53/2 <sup>+</sup>	5982.1	51/2 <sup>+</sup>	
351.0 2	12.6 13	783.7	13/2 <sup>+</sup>	432.8	9/2 <sup>+</sup>	DCO=0.94 4
351.0 2	1.0 3	2749.3	29/2 <sup>+</sup>	2398.1	27/2 <sup>+</sup>	DCO=0.85 13
351.4 2	3.2 7	5982.1	51/2 <sup>+</sup>	5630.7	49/2 <sup>+</sup>	
354.1 2	66.0 60	494.18	13/2 <sup>+</sup>	140.04	9/2 <sup>+</sup>	
355.5 5	0.7 2	5540.1	47/2 <sup>-</sup>	5184.7	45/2 <sup>-</sup>	
356.4 2	8.7 7	5705.4	51/2 <sup>-</sup>	5349.0	49/2 <sup>-</sup>	
358.1 2	≤2.4	5093.0	47/2 <sup>+</sup>	4734.9	45/2 <sup>+</sup>	DCO=0.85 6
362.8 5	0.9 4	6077.5	51/2 <sup>-</sup>	5714.6	49/2 <sup>-</sup>	
363.0 2	9.0 18	5349.0	49/2 <sup>-</sup>	4985.9	47/2 <sup>-</sup>	
364.6 2	12.9 13	693.9	13/2 <sup>+</sup>	329.5	9/2 <sup>+</sup>	DCO=1.01 4
368.4 2	1.3 2	9192.6	67/2 <sup>-</sup>	8824.2	65/2 <sup>-</sup>	DCO=0.75 6
370.0 5	0.4 2	6447.7	53/2 <sup>-</sup>	6077.5	51/2 <sup>-</sup>	
370.1 2	2.1 2	1716.7	21/2 <sup>+</sup>	1346.5	19/2 <sup>+</sup>	DCO=0.83 12
370.8 2	33.6 29	947.69	17/2 <sup>-</sup>	576.90	13/2 <sup>-</sup>	
373.8 2	3.3 4	6490.5	55/2 <sup>-</sup>	6116.9	53/2 <sup>-</sup>	
374.2 5	0.7 2	7100.9	57/2 <sup>+</sup>	6726.6	55/2 <sup>+</sup>	
379.2 2	17.3 17	887.3	15/2 <sup>+</sup>	507.8	11/2 <sup>+</sup>	DCO=0.96 4
379.5 2	1.9 5	6212.7	53/2 <sup>+</sup>	5833.2	51/2 <sup>+</sup>	DCO=0.76 15
381.0 2	1.6 2	8236.2	63/2 <sup>-</sup>	7855.3	61/2 <sup>-</sup>	DCO=0.61 12
381.7 2	2.2 2	7334.8	59/2 <sup>-</sup>	6953.1	57/2 <sup>-</sup>	
382.5 5	≤0.3	6242.3	51/2 <sup>-</sup>	5859.6	49/2 <sup>-</sup>	
384.3 2	1.1 1	2893.0	29/2 <sup>+</sup>	2508.8	25/2 <sup>+</sup>	DCO=0.91 18
386 1		2350.0	(25/2 <sup>+</sup> )	1964.0	(21/2 <sup>+</sup> )	$E_\gamma$ : from Figure 1 in <a href="#">2015Ro27</a> , not listed in authors' Table IV.
388.3 2	16.4 40	887.3	15/2 <sup>+</sup>	499.0	11/2 <sup>+</sup>	DCO=0.96 4
390.7 2	10.5 8	2491.01	27/2 <sup>-</sup>	2100.28	23/2 <sup>-</sup>	DCO=0.97 4

Continued on next page (footnotes at end of table)



$^{123}\text{Sb}(^{48}\text{Ca},4n\gamma):\text{XUNDL-2}$  **2015Ro27** (continued) $\gamma(^{167}\text{Lu})$  (continued)

$E_\gamma$ †	$I_\gamma$ ‡	$E_i(\text{level})$	$J_i^\pi$	$E_f$	$J_f^\pi$	Comments
390.7 2	2.8 4	5833.2	51/2 <sup>+</sup>	5442.6	49/2 <sup>+</sup>	DCO=0.71 11
391.3 5	0.7 2	4597.4	43/2 <sup>+</sup>	4205.9	41/2 <sup>+</sup>	
392.0 5	0.7 3	6839.2	55/2 <sup>-</sup>	6447.7	53/2 <sup>-</sup>	
393.9 5	0.6 2	6726.6	55/2 <sup>+</sup>	6332.7	53/2 <sup>+</sup>	
395.6 5	0.4 1	5982.1	51/2 <sup>+</sup>	5586.5	49/2 <sup>+</sup>	
399.0 2	82.8 66	704.23	15/2 <sup>+</sup>	305.29	11/2 <sup>+</sup>	
399.3 2	1.7 3	2749.3	29/2 <sup>+</sup>	2350.0	(25/2 <sup>+</sup> )	
399.4 2	7.6 16	3293.9	33/2 <sup>-</sup>	2894.4	29/2 <sup>-</sup>	DCO=0.97 10
400.7 5	0.5 2	7239.8	57/2 <sup>-</sup>	6839.2	55/2 <sup>-</sup>	
404.8 2	3.4 13	7036.1	57/2 <sup>+</sup>	6631.2	55/2 <sup>+</sup>	DCO=0.67 10
406.5 5	≤0.3	887.3	15/2 <sup>+</sup>	479.9	13/2 <sup>-</sup>	
408.4 2	7.1 7	916.2	15/2 <sup>+</sup>	507.8	11/2 <sup>+</sup>	DCO=0.93 9
408.7 5	≤0.3	7001.3	55/2 <sup>-</sup>	6592.6	53/2 <sup>-</sup>	
410.8 2	100.0 14	1205.3	21/2 <sup>-</sup>	794.5	17/2 <sup>-</sup>	DCO=0.93 4
410.8 2	≈8.0	2894.4	29/2 <sup>-</sup>	2483.5	25/2 <sup>-</sup>	DCO=0.93 5
411.8 2	3.8 5	6116.9	53/2 <sup>-</sup>	5705.4	51/2 <sup>-</sup>	
415.3 2	48.1 29	1159.41	19/2 <sup>-</sup>	744.09	15/2 <sup>-</sup>	
417.4 2	6.0 5	916.2	15/2 <sup>+</sup>	499.0	11/2 <sup>+</sup>	DCO=1.00 10
418.0 5	≤0.3	5279.4	47/2 <sup>+</sup>	4861.3	45/2 <sup>+</sup>	
418.2 2	1.7 2	6631.2	55/2 <sup>+</sup>	6212.7	53/2 <sup>+</sup>	DCO=0.77 15
423.0 5	≤0.3	7662.6	59/2 <sup>-</sup>	7239.8	57/2 <sup>-</sup>	
424.0 5	0.5 1	3121.2	31/2 <sup>+</sup>	2697.0	27/2 <sup>+</sup>	
424.6 2	6.9 8	1458.9	19/2 <sup>-</sup>	1034.4	15/2 <sup>-</sup>	DCO=1.05 11
425.2 2	8.8 18	692.8	11/2 <sup>-</sup>	267.6	9/2 <sup>-</sup>	
430.1 2	5.6 6	2715.7	29/2 <sup>-</sup>	2285.55	25/2 <sup>-</sup>	DCO=0.94 9
433.3 <sup>#</sup> 5	16.9 <sup>#</sup> 20	1217.1	17/2 <sup>+</sup>	783.7	13/2 <sup>+</sup>	DCO=1.05 4
434.0 <sup>#</sup> 5	5.4 <sup>#</sup> 13	3210.8	33/2 <sup>+</sup>	2776.7	29/2 <sup>+</sup>	
434.7 5	0.9 2	7471.1	59/2 <sup>+</sup>	7036.1	57/2 <sup>+</sup>	DCO=0.66 13
439.0 2	11.5 13	3133.7	33/2 <sup>+</sup>	2694.6	29/2 <sup>+</sup>	DCO=1.03 4
439.7 2	96 12	934.17	17/2 <sup>+</sup>	494.18	13/2 <sup>+</sup>	
447.5 2	10.9 7	1141.4	17/2 <sup>+</sup>	693.9	13/2 <sup>+</sup>	DCO=0.91 4
452.3 2	5.7 4	2958.8	31/2 <sup>+</sup>	2506.5	27/2 <sup>+</sup>	DCO=0.97 10
453.1 2	17.4 11	3523.1	37/2 <sup>-</sup>	3069.9	33/2 <sup>-</sup>	
455.8 2	2.8 8	3121.2	31/2 <sup>+</sup>	2665.3	27/2 <sup>+</sup>	DCO=1.06 21
459.0 2	22.8 57	1346.5	19/2 <sup>+</sup>	887.3	15/2 <sup>+</sup>	DCO=1.03 4
462.3 2	18.5 38	3285.1	35/2 <sup>+</sup>	2822.8	31/2 <sup>+</sup>	
462.7 2	8.7 10	6953.1	57/2 <sup>-</sup>	6490.5	55/2 <sup>-</sup>	
463.0 2	35.6 50	3043.7	33/2 <sup>+</sup>	2580.6	29/2 <sup>+</sup>	
463.8 2	42.6 26	1411.47	21/2 <sup>-</sup>	947.69	17/2 <sup>-</sup>	
464.1 5	0.8 1	3356.9	33/2 <sup>+</sup>	2893.0	29/2 <sup>+</sup>	DCO=1.00 20
467.8 2	7.0 11	2958.8	31/2 <sup>-</sup>	2491.01	27/2 <sup>-</sup>	DCO=0.97 10
471.0 5	≤0.3	2749.3	29/2 <sup>+</sup>	2278.5	25/2 <sup>+</sup>	
475.0 2	6.8 7	3413.9	35/2 <sup>+</sup>	2938.9	31/2 <sup>+</sup>	DCO=1.02 10
476.0 2	6.4 13	3770.0	37/2 <sup>-</sup>	3293.9	33/2 <sup>-</sup>	DCO=1.01 4
477.0 2	70.1 52	1180.99	19/2 <sup>+</sup>	704.23	15/2 <sup>+</sup>	
478.4 2	5.8 5	3437.3	35/2 <sup>+</sup>	2958.8	31/2 <sup>-</sup>	DCO=1.01 10
478.9 2	2.3 5	3417.8	35/2 <sup>+</sup>	2938.9	31/2 <sup>+</sup>	Placement apparently shown from 3437.7 level in Table IV of <b>2015Ro27</b> is incorrect. The placement here follows from Figure 1 of <b>2015Ro27</b> .
483.0 2	2.2 2	2491.01	27/2 <sup>-</sup>	2008.11	25/2 <sup>+</sup>	DCO=0.69 10
485.3 2	16.1 12	3774.0	39/2 <sup>-</sup>	3288.7	35/2 <sup>-</sup>	
488.3 2	22.1 14	3288.7	35/2 <sup>-</sup>	2800.4	31/2 <sup>-</sup>	
488.4 2	23.1 18	3531.9	37/2 <sup>+</sup>	3043.7	33/2 <sup>+</sup>	
488.6 2	2.2 4	2749.3	29/2 <sup>+</sup>	2260.7	25/2 <sup>+</sup>	DCO=0.95 10
490.4 2	12.7 5	1406.6	19/2 <sup>+</sup>	916.2	15/2 <sup>+</sup>	DCO=1.04 4

Continued on next page (footnotes at end of table)

$^{123}\text{Sb}(^{48}\text{Ca},4n\gamma):\text{XUNDL-2}$  **2015Ro27** (continued) $\gamma(^{167}\text{Lu})$  (continued)

$E_\gamma$ †	$I_\gamma$ ‡	$E_i(\text{level})$	$J_i^\pi$	$E_f$	$J_f^\pi$	Comments
494.8 2	10.3 10	3628.5	37/2 <sup>+</sup>	3133.7	33/2 <sup>+</sup>	DCO=1.02 4
496.4 2	48.2 29	1655.83	23/2 <sup>-</sup>	1159.41	19/2 <sup>-</sup>	
498.2 2	93.6 14	1703.3	25/2 <sup>-</sup>	1205.3	21/2 <sup>-</sup>	DCO=1.03 4
499.8 2	15.6 16	1716.7	21/2 <sup>+</sup>	1217.1	17/2 <sup>+</sup>	DCO=1.11 3
501.1 2	8.0 16	1959.7	23/2 <sup>-</sup>	1458.9	19/2 <sup>-</sup>	DCO=1.03 4
501.6 2	5.5 11	3217.3	33/2 <sup>-</sup>	2715.7	29/2 <sup>-</sup>	DCO=1.02 10
504.6 2	3.5 4	3625.8	35/2 <sup>+</sup>	3121.2	31/2 <sup>+</sup>	DCO=1.08 16
504.7 2	7.8 9	3254.3	33/2 <sup>+</sup>	2749.3	29/2 <sup>+</sup>	DCO=0.90 5
504.9 2	5.2 9	2883.7	29/2 <sup>-</sup>	2378.8	25/2 <sup>-</sup>	DCO=0.95 19
505 1		1964.0	(21/2 <sup>+</sup> )	1458.9	19/2 <sup>-</sup>	$E_\gamma$ : from Figure 1 in <b>2015Ro27</b> , not listed in authors' Table IV.
508.0# 5	10.5# 21	2694.6	29/2 <sup>+</sup>	2187.1	25/2 <sup>+</sup>	DCO=0.93 4 DCO for 508.7+508.0.
508.7# 5	11.0# 22	1649.9	21/2 <sup>+</sup>	1141.4	17/2 <sup>+</sup>	DCO=0.93 4 DCO for 508.7+508.0.
510.0 2	21.0 40	1856.7	23/2 <sup>+</sup>	1346.5	19/2 <sup>+</sup>	DCO=1.07 4
510.2 2	89.4 66	1444.42	21/2 <sup>+</sup>	934.17	17/2 <sup>+</sup>	
510.4 2	5.7 14	3721.3	37/2 <sup>+</sup>	3210.8	33/2 <sup>+</sup>	
516.0 2	6.4 13	2776.7	29/2 <sup>+</sup>	2260.7	25/2 <sup>+</sup>	
520.4 2	1.0 3	7855.3	61/2 <sup>-</sup>	7334.8	59/2 <sup>-</sup>	DCO=0.95 19
522.4 2	20.9 14	4045.5	41/2 <sup>-</sup>	3523.1	37/2 <sup>-</sup>	
523.8 2	26.8 21	2822.8	31/2 <sup>+</sup>	2299.3	27/2 <sup>+</sup>	
524.9 5	0.8 2	4898.4	43/2 <sup>+</sup>	4373.5	41/2 <sup>-</sup>	DCO=0.69 6
527.5 2	21.1 17	3812.6	39/2 <sup>+</sup>	3285.1	35/2 <sup>+</sup>	
530.6 2	5.1 10	3948.7	37/2 <sup>-</sup>	3418.1	33/2 <sup>-</sup>	DCO=0.98 10
532.8 2	5.8 17	3491.7	35/2 <sup>-</sup>	2958.8	31/2 <sup>-</sup>	DCO=1.00 10
534.4 2	5.7 10	3418.1	33/2 <sup>-</sup>	2883.7	29/2 <sup>-</sup>	DCO=1.18 15
535.3 5	0.8 1	3892.5	37/2 <sup>+</sup>	3356.9	33/2 <sup>+</sup>	DCO=0.98 20
535.9 2	42.5 27	1947.3	25/2 <sup>-</sup>	1411.47	21/2 <sup>-</sup>	
536.0 2	6.5 9	4306.1	41/2 <sup>-</sup>	3770.0	37/2 <sup>-</sup>	
536.4 2	4.7 11	4266.1	39/2 <sup>-</sup>	3729.7	35/2 <sup>-</sup>	DCO=0.93 14
537.3 2	10.0 20	2187.1	25/2 <sup>+</sup>	1649.9	21/2 <sup>+</sup>	DCO=0.98 4
538.2 2	25.7 18	3069.9	33/2 <sup>-</sup>	2531.7	29/2 <sup>-</sup>	
539.0 2	63.7 47	1720.06	23/2 <sup>+</sup>	1180.99	19/2 <sup>+</sup>	
541.2&# 5	14.0&# 27	2398.1	27/2 <sup>+</sup>	1856.7	23/2 <sup>+</sup>	DCO=1.10 DCO for 541.2 doublet.
541.2&# 5	9.0&# 18	2938.9	31/2 <sup>+</sup>	2398.1	27/2 <sup>+</sup>	DCO=1.10 4 DCO for 541.2 doublet.
541.6 2	4.4 9	3978.9	39/2 <sup>+</sup>	3437.3	35/2 <sup>+</sup>	
544.0 2	10.4 26	2260.7	25/2 <sup>+</sup>	1716.7	21/2 <sup>+</sup>	DCO=0.92 4
544.0 2	3.8 4	3957.9	39/2 <sup>+</sup>	3413.9	35/2 <sup>+</sup>	DCO=1.12 17
547.0 2	1.8 3	4521.2	39/2 <sup>+</sup>	3974.1	35/2 <sup>+</sup>	DCO=0.92 18
548.0 2	10.2 7	1954.7	23/2 <sup>+</sup>	1406.6	19/2 <sup>+</sup>	DCO=1.00 5
551.7 2	7.2 14	2506.5	27/2 <sup>+</sup>	1954.7	23/2 <sup>+</sup>	DCO=1.05 5
554.6 2	2.4 2	1034.4	15/2 <sup>-</sup>	479.9	13/2 <sup>-</sup>	DCO=0.58 9
558.9 2	46.7 29	2214.9	27/2 <sup>-</sup>	1655.83	23/2 <sup>-</sup>	
559.8 2	5.5 8	3254.3	33/2 <sup>+</sup>	2694.6	29/2 <sup>+</sup>	DCO=1.02 4 DCO for 559.8+560.6.
560.6 2	9.0 9	3814.8	37/2 <sup>+</sup>	3254.3	33/2 <sup>+</sup>	DCO=1.02 4 DCO for 559.8+560.6.
561.1 2	2.0 4	3978.9	39/2 <sup>+</sup>	3417.8	35/2 <sup>+</sup>	
561.3 2	4.0 14	3778.6	37/2 <sup>-</sup>	3217.3	33/2 <sup>-</sup>	DCO=0.91 14
562.0 5	≤0.3	2278.5	25/2 <sup>+</sup>	1716.7	21/2 <sup>+</sup>	DCO=1.02 4 DCO for 562.0+562.3.
562.3 2	2.0 3	2749.3	29/2 <sup>+</sup>	2187.1	25/2 <sup>+</sup>	DCO=1.02 4 DCO for 562.0+562.3.

Continued on next page (footnotes at end of table)

$^{123}\text{Sb}(^{48}\text{Ca}, 4n\gamma): \text{XUNDL-2}$  **2015Ro27** (continued) $\gamma(^{167}\text{Lu})$  (continued)

$E_\gamma$ †	$I_\gamma$ ‡	$E_i(\text{level})$	$J_i^\pi$	$E_f$	$J_f^\pi$	Comments
563.6 2	64.8 60	2008.11	25/2 <sup>+</sup>	1444.42	21/2 <sup>+</sup>	
563.9 2	22.1 36	4096.0	41/2 <sup>+</sup>	3531.9	37/2 <sup>+</sup>	
565.2 2	16.6 12	4339.2	43/2 <sup>-</sup>	3774.0	39/2 <sup>-</sup>	
565.4 2	6.6 6	2285.55	25/2 <sup>-</sup>	1720.06	23/2 <sup>+</sup>	DCO=0.68 7
566.3 2	2.3 6	4244.6	39/2 <sup>-</sup>	3678.3	35/2 <sup>-</sup>	
566.8 2	8.6 17	2526.6	27/2 <sup>-</sup>	1959.7	23/2 <sup>-</sup>	DCO=1.04 4
567.4 2	2.8 2	4193.1	39/2 <sup>+</sup>	3625.8	35/2 <sup>+</sup>	DCO=0.99 15
568.4 2	1.4 3	4941.9	45/2 <sup>-</sup>	4373.5	41/2 <sup>-</sup>	
572.6 2	40.1 31	2580.6	29/2 <sup>+</sup>	2008.11	25/2 <sup>+</sup>	
572.6 2	5.1 5	4838.6	43/2 <sup>-</sup>	4266.1	39/2 <sup>-</sup>	DCO=1.04 10
574.7 2	71.6 13	2278.0	29/2 <sup>-</sup>	1703.3	25/2 <sup>-</sup>	DCO=1.03 4
574.8 2	1.5 2	3589.4	35/2 <sup>+</sup>	3014.6	31/2 <sup>+</sup>	
577.3 2	9.5 10	4205.9	41/2 <sup>+</sup>	3628.5	37/2 <sup>+</sup>	DCO=0.97 5
579.2 2	52.5 40	2299.3	27/2 <sup>+</sup>	1720.06	23/2 <sup>+</sup>	
584.4 2	30.1 38	2531.7	29/2 <sup>-</sup>	1947.3	25/2 <sup>-</sup>	
585.8 2	47.8 51	2800.4	31/2 <sup>-</sup>	2214.9	27/2 <sup>-</sup>	
586.4 2	5.7 21	4078.1	39/2 <sup>-</sup>	3491.7	35/2 <sup>-</sup>	DCO=0.99 10
586.4 2	5.5 6	4307.7	41/2 <sup>+</sup>	3721.3	37/2 <sup>+</sup>	
588.0 2	1.3 2	8824.2	65/2 <sup>-</sup>	8236.2	63/2 <sup>-</sup>	
591.3 2	5.7 6	3729.7	35/2 <sup>-</sup>	3138.4	31/2 <sup>-</sup>	DCO=1.07 11
593.9 2	2.3 5	3322.3	33/2 <sup>+</sup>	2728.4	29/2 <sup>+</sup>	DCO=0.99 11
594.0 2	2.1 2	4838.6	43/2 <sup>-</sup>	4244.6	39/2 <sup>-</sup>	DCO=0.81 15
596.0 2	3.2 8	4544.8	41/2 <sup>-</sup>	3948.7	37/2 <sup>-</sup>	
597.0 2	1.1 3	4222.8	39/2 <sup>+</sup>	3625.8	35/2 <sup>+</sup>	
603.3 2	1.5 3	4373.5	41/2 <sup>-</sup>	3770.0	37/2 <sup>-</sup>	DCO=0.93 19
603.5 2	1.0 2	4496.0	41/2 <sup>+</sup>	3892.5	37/2 <sup>+</sup>	DCO=0.99 20
603.6 5	0.6 1	4193.1	39/2 <sup>+</sup>	3589.4	35/2 <sup>+</sup>	
604.3 2	1.4 3	5125.6	43/2 <sup>+</sup>	4521.2	39/2 <sup>+</sup>	
604.4 2	22.4 20	4417.0	43/2 <sup>+</sup>	3812.6	39/2 <sup>+</sup>	DCO=0.99 2
606.8 2	7.8 7	4421.6	41/2 <sup>+</sup>	3814.8	37/2 <sup>+</sup>	DCO=1.07 11
607.3 2	5.3 21	4385.9	41/2 <sup>-</sup>	3778.6	37/2 <sup>-</sup>	DCO=0.95 10
609.4 2	1.0 3	4222.8	39/2 <sup>+</sup>	3613.7	37/2 <sup>-</sup>	DCO=0.64 5
610.2 2	20.2 14	4655.9	45/2 <sup>-</sup>	4045.5	41/2 <sup>-</sup>	
612.0 2	5.4 5	3138.4	31/2 <sup>-</sup>	2526.6	27/2 <sup>-</sup>	DCO=1.05 11
613.7 2	1.5 2	4838.6	43/2 <sup>-</sup>	4224.9	39/2 <sup>-</sup>	
616.6 2	3.2 8	3014.6	31/2 <sup>+</sup>	2398.1	27/2 <sup>+</sup>	
618.6 2	2.1 8	4597.4	43/2 <sup>+</sup>	3978.9	39/2 <sup>+</sup>	DCO=1.02 15
620.2 2	3.0 10	4578.1	43/2 <sup>+</sup>	3957.9	39/2 <sup>+</sup>	DCO=1.05 16
622.4 2	1.6 3	4594.8	41/2 <sup>+</sup>	3972.4	37/2 <sup>+</sup>	DCO=1.02 10
622.4 2	2.6 2	4815.5	43/2 <sup>+</sup>	4193.1	39/2 <sup>+</sup>	DCO=0.94 14
Initial level: negative parity in Table IV of <b>2015Ro27</b> is a misprint, it should be positive as in level-scheme Figure 1.						
626.6 2	4.4 17	4704.8	43/2 <sup>-</sup>	4078.1	39/2 <sup>-</sup>	DCO=1.02 15
632.2 5	0.4 1	2893.0	29/2 <sup>+</sup>	2260.7	25/2 <sup>+</sup>	
633.2 2	6.4 16	4222.8	39/2 <sup>+</sup>	3589.4	35/2 <sup>+</sup>	DCO=0.97 4
635.9 2	10.9 10	4941.9	45/2 <sup>-</sup>	4306.1	41/2 <sup>-</sup>	DCO=1.05 4
636.0 2	1.2 2	5230.8	45/2 <sup>+</sup>	4594.8	41/2 <sup>+</sup>	DCO=1.07 6
636.2 2	2.9 8	4880.8	43/2 <sup>-</sup>	4244.6	39/2 <sup>-</sup>	
639.1 2	26.1 22	4734.9	45/2 <sup>+</sup>	4096.0	41/2 <sup>+</sup>	DCO=0.98 2
640.0 2	3.3 9	5184.7	45/2 <sup>-</sup>	4544.8	41/2 <sup>-</sup>	DCO=1.13 17
640.9 2	50.8 12	2918.5	33/2 <sup>-</sup>	2278.0	29/2 <sup>-</sup>	DCO=1.05 4
644.7 2	3.8 15	5030.7	45/2 <sup>-</sup>	4385.9	41/2 <sup>-</sup>	DCO=0.98 15
646.7 2	18.1 15	4985.9	47/2 <sup>-</sup>	4339.2	43/2 <sup>-</sup>	
647.0 2	4.7 6	4954.7	45/2 <sup>+</sup>	4307.7	41/2 <sup>+</sup>	DCO=1.02 15
650.1 2	3.1 6	3972.4	37/2 <sup>+</sup>	3322.3	33/2 <sup>+</sup>	DCO=0.94 7
650.4 2	2.3 6	3589.4	35/2 <sup>+</sup>	2938.9	31/2 <sup>+</sup>	

Continued on next page (footnotes at end of table)

$^{123}\text{Sb}(^{48}\text{Ca}, 4n\gamma): \text{XUNDL-2}$  **2015Ro27** (continued) $\gamma(^{167}\text{Lu})$  (continued)

$E_\gamma^\dagger$	$I_\gamma^\ddagger$	$E_i(\text{level})$	$J_i^\pi$	$E_f$	$J_f^\pi$	Comments
651.5 2	1.7 4	1856.7	23/2 <sup>+</sup>	1205.3	21/2 <sup>-</sup>	
652.6 2	6.9 7	5491.2	47/2 <sup>-</sup>	4838.6	43/2 <sup>-</sup>	DCO=1.02 10
654.6 2	6.4 6	5076.2	45/2 <sup>+</sup>	4421.6	41/2 <sup>+</sup>	DCO=0.91 4
655.3 2	9.0 9	4861.3	45/2 <sup>+</sup>	4205.9	41/2 <sup>+</sup>	DCO=0.94 5
655.9 2	14.4 7	2100.28	23/2 <sup>-</sup>	1444.42	21/2 <sup>+</sup>	DCO=0.65 3
657.0 5	0.9 4	5030.7	45/2 <sup>-</sup>	4373.5	41/2 <sup>-</sup>	
658.1 2	1.0 2	5783.7	47/2 <sup>+</sup>	5125.6	43/2 <sup>+</sup>	DCO=0.87 13
658.7 2	5.0 5	2378.8	25/2 <sup>-</sup>	1720.06	23/2 <sup>+</sup>	DCO=0.69 7
659.3 2	2.8 7	5540.1	47/2 <sup>-</sup>	4880.8	43/2 <sup>-</sup>	
660.9 5	0.9 3	2938.9	31/2 <sup>+</sup>	2278.0	29/2 <sup>-</sup>	
664.1 5	0.7 1	5894.8	49/2 <sup>+</sup>	5230.8	45/2 <sup>+</sup>	DCO=0.98 5
664.4 5	0.6 1	5160.4	45/2 <sup>+</sup>	4496.0	41/2 <sup>+</sup>	DCO=1.04 21
664.5 2	2.3 1	1458.9	19/2 <sup>-</sup>	794.5	17/2 <sup>-</sup>	DCO=0.55 8
664.6 2	4.1 17	5369.5	47/2 <sup>-</sup>	4704.8	43/2 <sup>-</sup>	DCO=1.00 15
670.8 2	5.2 12	3589.4	35/2 <sup>+</sup>	2918.5	33/2 <sup>-</sup>	DCO=0.64 6
670.9 2	2.4 2	5486.4	47/2 <sup>+</sup>	4815.5	43/2 <sup>+</sup>	DCO=0.94 14
674.9 2	3.8 10	5859.6	49/2 <sup>-</sup>	5184.7	45/2 <sup>-</sup>	DCO=0.97 4
675.5 2	7.4 19	4898.4	43/2 <sup>+</sup>	4222.8	39/2 <sup>+</sup>	DCO=1.10 7
676.0 2	17.1 15	5093.0	47/2 <sup>+</sup>	4417.0	43/2 <sup>+</sup>	DCO=1.00 4
676.0 2	4.7 6	5630.7	49/2 <sup>+</sup>	4954.7	45/2 <sup>+</sup>	DCO=1.03 15
676.2 <sup>#</sup> 5	1.5 <sup>#</sup> 3	5230.4	(J1+2)	4554.1	(J1)	
677.0 <sup>#</sup> 5	2.5 <sup>#</sup> 5	3477.5	35/2 <sup>-</sup>	2800.4	31/2 <sup>-</sup>	
682.0 2	2.9 3	5279.4	47/2 <sup>+</sup>	4597.4	43/2 <sup>+</sup>	DCO=1.01 15
682.5 2	1.4 3	5912.9	(J1+4)	5230.4	(J1+2)	
684.0 2	3.2 16	5714.6	49/2 <sup>-</sup>	5030.7	45/2 <sup>-</sup>	DCO=1.05 16
687.0 2	2.9 3	5265.1	47/2 <sup>+</sup>	4578.1	43/2 <sup>+</sup>	DCO=1.07 16
692.6 2	11.5 20	4306.1	41/2 <sup>-</sup>	3613.7	37/2 <sup>-</sup>	DCO=1.04 4
693.0 2	17.4 24	5349.0	49/2 <sup>-</sup>	4655.9	45/2 <sup>-</sup>	
694.7 2	1.2 3	2398.1	27/2 <sup>+</sup>	1703.3	25/2 <sup>-</sup>	
695.8 2	32.4 69	3613.7	37/2 <sup>-</sup>	2918.5	33/2 <sup>-</sup>	DCO=1.01 4
696.2 2	10.0 20	5638.0	49/2 <sup>-</sup>	4941.9	45/2 <sup>-</sup>	E <sub>γ</sub> : somewhat poor fit, level-energy difference=695.2.
701.8 2	4.9 5	5778.0	49/2 <sup>+</sup>	5076.2	45/2 <sup>+</sup>	DCO=1.00 10
702.0 2	4.7 6	6332.7	53/2 <sup>+</sup>	5630.7	49/2 <sup>+</sup>	DCO=1.01 15
702.1 2	3.0 8	6242.3	51/2 <sup>-</sup>	5540.1	47/2 <sup>-</sup>	
702.8 2	2.0 2	5982.1	51/2 <sup>+</sup>	5279.4	47/2 <sup>+</sup>	DCO=0.99 15
704.2 5	0.5 2	5125.6	43/2 <sup>+</sup>	4421.6	41/2 <sup>+</sup>	
705.0 5	≤0.3	6599.8	53/2 <sup>+</sup>	5894.8	49/2 <sup>+</sup>	DCO=0.97 5
705.8 5	0.4 1	2893.0	29/2 <sup>+</sup>	2187.1	25/2 <sup>+</sup>	
706.1 5	0.8 2	4521.2	39/2 <sup>+</sup>	3814.8	37/2 <sup>+</sup>	DCO=0.66 13
707.6 2	21.4 19	5442.6	49/2 <sup>+</sup>	4734.9	45/2 <sup>+</sup>	DCO=1.01 4
707.7 5	0.4 1	5783.7	47/2 <sup>+</sup>	5076.2	45/2 <sup>+</sup>	
707.9 2	3.2 14	6077.5	51/2 <sup>-</sup>	5369.5	47/2 <sup>-</sup>	DCO=0.96 14
710.8 5	0.7 1	6494.8	51/2 <sup>+</sup>	5783.7	47/2 <sup>+</sup>	DCO=1.00 20
713.6 5	0.7 1	5873.9	49/2 <sup>+</sup>	5160.4	45/2 <sup>+</sup>	DCO=1.02 20
714.8 2	6.9 7	6206.0	51/2 <sup>-</sup>	5491.2	47/2 <sup>-</sup>	DCO=1.05 11
716.1 2	2.2 2	6202.5	51/2 <sup>+</sup>	5486.4	47/2 <sup>+</sup>	DCO=0.99 15
717.0 2	2.0 2	5982.1	51/2 <sup>+</sup>	5265.1	47/2 <sup>+</sup>	
717.0 5	0.4 1	6494.8	51/2 <sup>+</sup>	5778.0	49/2 <sup>+</sup>	
719.6 2	18.7 25	5705.4	51/2 <sup>-</sup>	4985.9	47/2 <sup>-</sup>	
719.8 <sup>@</sup> 2	@	3974.1	35/2 <sup>+</sup>	3254.3	33/2 <sup>+</sup>	DCO=0.66 10
720.2 2	6.3 13	2728.4	29/2 <sup>+</sup>	2008.11	25/2 <sup>+</sup>	DCO=0.94 9
723.1 5	≤0.3	3121.2	31/2 <sup>+</sup>	2398.1	27/2 <sup>+</sup>	
725.2 2	5.9 6	5586.5	49/2 <sup>+</sup>	4861.3	45/2 <sup>+</sup>	DCO=1.04 10
725.8 5	≤0.3	6599.8	53/2 <sup>+</sup>	5873.9	49/2 <sup>+</sup>	

Continued on next page (footnotes at end of table)

$^{123}\text{Sb}(^{48}\text{Ca},4n\gamma):\text{XUNDL-2}$  **2015Ro27** (continued) $\gamma(^{167}\text{Lu})$  (continued)

$E_\gamma$ †	$I_\gamma$ ‡	$E_i(\text{level})$	$J_i^\pi$	$E_f$	$J_f^\pi$	Comments
726.6 5	0.8 2	6634.0	53/2 <sup>-</sup>	5907.4	49/2 <sup>-</sup>	DCO=1.06 21
726.7 2	7.0 18	5625.1	47/2 <sup>+</sup>	4898.4	43/2 <sup>+</sup>	DCO=0.95 10
730.3 5	≤0.3	7259.8	55/2 <sup>+</sup>	6529.6	53/2 <sup>+</sup>	
733.0 2	3.7 9	6592.6	53/2 <sup>-</sup>	5859.6	49/2 <sup>-</sup>	DCO=0.97 4
733.1 2	2.3 9	6447.7	53/2 <sup>-</sup>	5714.6	49/2 <sup>-</sup>	DCO=1.08 16
735.6 5	0.7 1	6015.4	51/2 <sup>+</sup>	5279.4	47/2 <sup>+</sup>	
736.4 2	1.0 2	3014.6	31/2 <sup>+</sup>	2278.0	29/2 <sup>-</sup>	DCO=0.67 13
740.3 2	14.7 17	5833.2	51/2 <sup>+</sup>	5093.0	47/2 <sup>+</sup>	DCO=0.97 4
741.0 <sup>a</sup> 5	≤0.3	7403.0	57/2 <sup>+</sup>	6661.9	53/2 <sup>+</sup>	
741.8 2	2.9 6	3322.3	33/2 <sup>+</sup>	2580.6	29/2 <sup>+</sup>	DCO=0.96 5
744.4 2	1.5 2	6726.6	55/2 <sup>+</sup>	5982.1	51/2 <sup>+</sup>	DCO=0.95 19
744.6 5	0.5 1	7471.1	59/2 <sup>+</sup>	6726.6	55/2 <sup>+</sup>	
746.4 5	≤0.3	6332.7	53/2 <sup>+</sup>	5586.5	49/2 <sup>+</sup>	
746.4 <sup>#</sup> 5	1.3 <sup>#</sup> 3	6659.3	(J1+6)	5912.9	(J1+4)	
747.3 <sup>#</sup> 5	2.3 <sup>#</sup> 5	4224.9	39/2 <sup>-</sup>	3477.5	35/2 <sup>-</sup>	
750.4 2	1.8 2	6015.4	51/2 <sup>+</sup>	5265.1	47/2 <sup>+</sup>	DCO=1.07 21
751.6 2	3.8 5	6529.6	53/2 <sup>+</sup>	5778.0	49/2 <sup>+</sup>	DCO=0.91 9
752.0 5	≤0.3	6659.3	(J1+6)	5907.4	49/2 <sup>-</sup>	
754.1 2	2.7 1	1959.7	23/2 <sup>-</sup>	1205.3	21/2 <sup>-</sup>	
754.4 5	0.3 1	6628.3	53/2 <sup>+</sup>	5873.9	49/2 <sup>+</sup>	DCO=1.00 20
757.6 2	1.1 1	6388.3	53/2 <sup>+</sup>	5630.7	49/2 <sup>+</sup>	
759.0 2	3.2 8	7001.3	55/2 <sup>-</sup>	6242.3	51/2 <sup>-</sup>	DCO=0.97 4
759.4 2	3.8 3	1940.48	21/2 <sup>-</sup>	1180.99	19/2 <sup>+</sup>	
759.6 2	7.7 19	6397.5	53/2 <sup>-</sup>	5638.0	49/2 <sup>-</sup>	DCO=0.97 10
760.0 2	13.0 14	4373.5	41/2 <sup>-</sup>	3613.7	37/2 <sup>-</sup>	DCO=0.95 4
761.6 2	2.5 11	6839.2	55/2 <sup>-</sup>	6077.5	51/2 <sup>-</sup>	DCO=0.94 14
763.2 2	1.4 2	6965.7	55/2 <sup>+</sup>	6202.5	51/2 <sup>+</sup>	DCO=0.94 19
763.2 2	5.6 7	6969.2	55/2 <sup>-</sup>	6206.0	51/2 <sup>-</sup>	DCO=1.08 11
765.0 5	0.6 2	7259.8	55/2 <sup>+</sup>	6494.8	51/2 <sup>+</sup>	DCO=1.06 21
765.1 5	0.8 2	5907.4	49/2 <sup>-</sup>	5142.3	45/2 <sup>-</sup>	DCO=1.04 8
						DCO for 768.8+765.1.
767.9 2	11.7 10	6116.9	53/2 <sup>-</sup>	5349.0	49/2 <sup>-</sup>	
768.0 5	≤0.3	768.0+x	x	x	(J2)	DCO=0.84 31
768.1 2	4.8 6	7100.9	57/2 <sup>+</sup>	6332.7	53/2 <sup>+</sup>	DCO=1.03 15
768.8 5	0.8 2	5142.3	45/2 <sup>-</sup>	4373.5	41/2 <sup>-</sup>	DCO=1.04 21
						DCO for 768.8+765.1.
770.0 2	16.1 15	6212.7	53/2 <sup>+</sup>	5442.6	49/2 <sup>+</sup>	DCO=0.99 4
772.0 5	≤0.3	4385.9	41/2 <sup>-</sup>	3613.7	37/2 <sup>-</sup>	
774.9 5	≤0.3	7403.0	57/2 <sup>+</sup>	6628.3	53/2 <sup>+</sup>	DCO=0.99 20
775.1 5	≤0.3	7374.9	57/2 <sup>+</sup>	6599.8	53/2 <sup>+</sup>	DCO=0.96 10
776.2 2	2.6 10	7877.1	61/2 <sup>+</sup>	7100.9	57/2 <sup>+</sup>	
776.6 5	0.4 2	7410.6	57/2 <sup>-</sup>	6634.0	53/2 <sup>-</sup>	DCO=1.02 20
780.6 2	6.7 17	6405.7	51/2 <sup>+</sup>	5625.1	47/2 <sup>+</sup>	DCO=0.86 13
781.0 2	4.0 4	1940.48	21/2 <sup>-</sup>	1159.41	19/2 <sup>-</sup>	
784.8 2	10.2 9	6490.5	55/2 <sup>-</sup>	5705.4	51/2 <sup>-</sup>	
788.0 5	≤0.3	6661.9	53/2 <sup>+</sup>	5873.9	49/2 <sup>+</sup>	
788.0 5	≤0.3	7449.8	57/2 <sup>+</sup>	6661.9	53/2 <sup>+</sup>	
791.0 2	3.6 9	7383.6	57/2 <sup>-</sup>	6592.6	53/2 <sup>-</sup>	DCO=1.02 4
792.1 2	1.7 7	7239.8	57/2 <sup>-</sup>	6447.7	53/2 <sup>-</sup>	DCO=0.93 19
798.3 2	10.1 11	6631.2	55/2 <sup>+</sup>	5833.2	51/2 <sup>+</sup>	DCO=0.99 4
798.7 2	2.7 4	7328.3	57/2 <sup>+</sup>	6529.6	53/2 <sup>+</sup>	DCO=0.96 10
801.8 2	3.4 3	6388.3	53/2 <sup>+</sup>	5586.5	49/2 <sup>+</sup>	DCO=0.95 4
801.9 5	0.6 2	7461.2	(J1+8)	6659.3	(J1+6)	
804.7 2	2.0 2	6820.1	55/2 <sup>+</sup>	6015.4	51/2 <sup>+</sup>	DCO=0.97 19
807.0 5	≤0.3	807.0+y	(J3+2)	y	(J3)	

Continued on next page (footnotes at end of table)

$^{123}\text{Sb}(^{48}\text{Ca},4n\gamma):\text{XUNDL-2}$  **2015Ro27** (continued) $\gamma(^{167}\text{Lu})$  (continued)

$E_\gamma$ †	$I_\gamma$ ‡	$E_i(\text{level})$	$J_i^\pi$	$E_f$	$J_f^\pi$	Comments
808.5 2	1.0 2	2665.3	27/2 <sup>+</sup>	1856.7	23/2 <sup>+</sup>	
810.0 2	1.2 2	7775.7	59/2 <sup>+</sup>	6965.7	55/2 <sup>+</sup>	DCO=1.01 19
810.3 2	3.0 3	7779.5	59/2 <sup>-</sup>	6969.2	55/2 <sup>-</sup>	DCO=1.09 16
814.8 5	≤0.3	1582.8+x	(J2+2)	768.0+x		DCO=0.96 18
815.2 5	≤0.3	8143.6	61/2 <sup>+</sup>	7328.3	57/2 <sup>+</sup>	DCO=0.99 20
816.0 5	0.6 2	8075.8	59/2 <sup>+</sup>	7259.8	55/2 <sup>+</sup>	DCO=1.03 20
816.6 2	1.2 2	7543.2	59/2 <sup>+</sup>	6726.6	55/2 <sup>+</sup>	DCO=1.09 22
817.6 2	6.8 17	7215.0	57/2 <sup>-</sup>	6397.5	53/2 <sup>-</sup>	DCO=1.00 10
821.4 5	0.4 1	7449.8	57/2 <sup>+</sup>	6628.3	53/2 <sup>+</sup>	DCO=1.00 20
823.0 2	3.2 8	7824.3	59/2 <sup>-</sup>	7001.3	55/2 <sup>-</sup>	DCO=1.02 4
823.3 2	1.7 8	7662.6	59/2 <sup>-</sup>	6839.2	55/2 <sup>-</sup>	DCO=0.93 19
823.4 2	2.5 1	2526.6	27/2 <sup>-</sup>	1703.3	25/2 <sup>-</sup>	
823.4 2	11.2 40	7036.1	57/2 <sup>+</sup>	6212.7	53/2 <sup>+</sup>	DCO=0.94 4
826.0 5	≤0.3	8228.9	61/2 <sup>+</sup>	7403.0	57/2 <sup>+</sup>	
829.3 2	4.6 12	7235.0	55/2 <sup>+</sup>	6405.7	51/2 <sup>+</sup>	DCO=0.90 14
836.2 2	2.4 2	5142.3	45/2 <sup>-</sup>	4306.1	41/2 <sup>-</sup>	DCO=1.03 16
836.2 2	10.1 10	6953.1	57/2 <sup>-</sup>	6116.9	53/2 <sup>-</sup>	
840.0 2	6.1 8	7471.1	59/2 <sup>+</sup>	6631.2	55/2 <sup>+</sup>	DCO=0.98 10
841.0 2	8.5 30	7877.1	61/2 <sup>+</sup>	7036.1	57/2 <sup>+</sup>	DCO=0.97 5
843.1 5	0.7 1	3121.2	31/2 <sup>+</sup>	2278.0	29/2 <sup>-</sup>	DCO=0.50 10
843.8 2	3.7 9	8227.4	61/2 <sup>-</sup>	7383.6	57/2 <sup>-</sup>	DCO=0.93 6
844.4 2	7.4 8	7334.8	59/2 <sup>-</sup>	6490.5	55/2 <sup>-</sup>	
845.1 5	≤0.3	8255.7	61/2 <sup>-</sup>	7410.6	57/2 <sup>-</sup>	DCO=1.02 20
849.4 5	≤0.3	8299.2	(61/2 <sup>+</sup> )	7449.8	57/2 <sup>+</sup>	
851.3 2	1.9 2	3770.0	37/2 <sup>-</sup>	2918.5	33/2 <sup>-</sup>	DCO=0.95 19
853.0 2	1.3 1	2508.8	25/2 <sup>+</sup>	1655.83	23/2 <sup>-</sup>	DCO=0.63 13
853.5 2	2.3 2	7241.7	57/2 <sup>+</sup>	6388.3	53/2 <sup>+</sup>	DCO=1.02 15
854.5 2	1.3 3	8182.9	61/2 <sup>+</sup>	7328.3	57/2 <sup>+</sup>	DCO=1.10 17
854.9 5	0.6 2	9037.8	65/2 <sup>+</sup>	8182.9	61/2 <sup>+</sup>	DCO for 854.9+854.5. DCO=1.10 22 DCO for 854.9+854.5.
855.0 2	2.1 5	1789.12	19/2 <sup>-</sup>	934.17	17/2 <sup>+</sup>	
855.9 2	1.3 5	8095.9	61/2 <sup>-</sup>	7239.8	57/2 <sup>-</sup>	DCO=0.96 19
859.2 5	≤0.3	8320.4	(J1+10)	7461.2	(J1+8)	
860.4 2	1.5 1	3138.4	31/2 <sup>-</sup>	2278.0	29/2 <sup>-</sup>	
863.1 5	≤0.3	1670.1+y	(J3+4)	807.0+y	(J3+2)	
864.4 2	4.2 11	8099.4	(59/2 <sup>+</sup> )	7235.0	55/2 <sup>+</sup>	
864.7 2	1.4 2	7684.8	59/2 <sup>+</sup>	6820.1	55/2 <sup>+</sup>	DCO=0.97 19
865.0 2	1.9 2	8644.5	63/2 <sup>-</sup>	7779.5	59/2 <sup>-</sup>	DCO=1.05 21
866.9 2	3.9 5	7967.8	61/2 <sup>+</sup>	7100.9	57/2 <sup>+</sup>	DCO=0.99 15
870.1 5	0.5 1	8946.0	63/2 <sup>+</sup>	8075.8	59/2 <sup>+</sup>	DCO=0.94 19
871.0 5	0.6 2	8646.7	63/2 <sup>+</sup>	7775.7	59/2 <sup>+</sup>	DCO=0.99 20
871.3 2	3.7 4	8342.4	63/2 <sup>+</sup>	7471.1	59/2 <sup>+</sup>	DCO=1.08 16
871.9 2	6.4 23	8749.0	65/2 <sup>+</sup>	7877.1	61/2 <sup>+</sup>	DCO=0.96 10
872.6 2	5.4 13	8087.5	61/2 <sup>-</sup>	7215.0	57/2 <sup>-</sup>	DCO=0.96 9
876.2 5	≤0.3	2459.0+x	(J2+4)	1582.8+x	(J2+2)	DCO=0.95 19
880.1 5	0.4 2	9109.0	65/2 <sup>+</sup>	8228.9	61/2 <sup>+</sup>	
886.9 2	1.3 5	8549.5	63/2 <sup>-</sup>	7662.6	59/2 <sup>-</sup>	DCO=0.96 19
887.0 2	3.3 8	8711.3	63/2 <sup>-</sup>	7824.3	59/2 <sup>-</sup>	DCO=0.93 6
888.4 2	1.8 7	7100.9	57/2 <sup>+</sup>	6212.7	53/2 <sup>+</sup>	
890.0 2	1.5 2	6332.7	53/2 <sup>+</sup>	5442.6	49/2 <sup>+</sup>	
893.1 2	2.6 7	9120.5	(65/2 <sup>-</sup> )	8227.4	61/2 <sup>-</sup>	
894.2 2	1.0 1	9037.8	65/2 <sup>+</sup>	8143.6	61/2 <sup>+</sup>	DCO=1.09 22
901.4 2	6.0 7	8236.2	63/2 <sup>-</sup>	7334.8	59/2 <sup>-</sup>	DCO=0.94 9
901.9 2	1.2 1	8143.6	61/2 <sup>+</sup>	7241.7	57/2 <sup>+</sup>	DCO=1.05 21
902.1 2	8.9 9	7855.3	61/2 <sup>-</sup>	6953.1	57/2 <sup>-</sup>	DCO=1.08 5

Continued on next page (footnotes at end of table)

$^{123}\text{Sb}(^{48}\text{Ca},4n\gamma):\text{XUNDL-2}$  **2015Ro27** (continued) $\gamma(^{167}\text{Lu})$  (continued)

$E_\gamma$ †	$I_\gamma$ ‡	$E_i(\text{level})$	$J_i^\pi$	$E_f$	$J_f^\pi$	Comments
904.2 2	1.9 5	9003.6	(63/2 <sup>+</sup> )	8099.4	(59/2 <sup>+</sup> )	
911.3 5	≤0.3	9210.5	(65/2 <sup>+</sup> )	8299.2	(61/2 <sup>+</sup> )	
912.0 5	0.9 2	7543.2	59/2 <sup>+</sup>	6631.2	55/2 <sup>+</sup>	
912.0 5	≤0.3	9232.4	(J1+12)	8320.4	(J1+10)	
912.6 2	1.0 1	8455.8	63/2 <sup>+</sup>	7543.2	59/2 <sup>+</sup>	DCO=0.98 5
915.2 2	1.2 2	8600.0	63/2 <sup>+</sup>	7684.8	59/2 <sup>+</sup>	DCO=0.92 18
917.5 5	≤0.3	9173.2	(65/2 <sup>-</sup> )	8255.7	61/2 <sup>-</sup>	
918.3 5	≤0.3	2588.4+y	(J3+6)	1670.1+y	(J3+4)	
919.5 5	0.8 4	9016.0	65/2 <sup>-</sup>	8095.9	61/2 <sup>-</sup>	DCO=1.03 21
923.0 5	0.5 1	9869.0	67/2 <sup>+</sup>	8946.0	63/2 <sup>+</sup>	DCO=1.05 21
923.7 2	1.2 2	9568.2	67/2 <sup>-</sup>	8644.5	63/2 <sup>-</sup>	DCO=1.10 22
924.7 5	0.4 2	9571.4	67/2 <sup>+</sup>	8646.7	63/2 <sup>+</sup>	DCO=1.04 21
925.1 2	5.5 20	9674.1	69/2 <sup>+</sup>	8749.0	65/2 <sup>+</sup>	DCO=1.01 10
926.0 5	0.9 2	9109.0	65/2 <sup>+</sup>	8182.9	61/2 <sup>+</sup>	DCO=0.98 15
926.6 2	3.8 10	9014.0	65/2 <sup>-</sup>	8087.5	61/2 <sup>-</sup>	DCO=0.98 15
927.5 2	2.8 3	9269.9	67/2 <sup>+</sup>	8342.4	63/2 <sup>+</sup>	DCO=0.96 14
930.0 5	≤0.3	3389.0+x	(J2+6)	2459.0+x	(J2+4)	DCO=0.99 20
931.7 2	1.7 4	7967.8	61/2 <sup>+</sup>	7036.1	57/2 <sup>+</sup>	DCO=0.93 14
931.8 2	1.5 2	9969.6	69/2 <sup>+</sup>	9037.8	65/2 <sup>+</sup>	DCO=1.01 20
941.2 5	≤0.3	8182.9	61/2 <sup>+</sup>	7241.7	57/2 <sup>+</sup>	DCO=1.05 21
942.1 5	≤0.3	9542.1	67/2 <sup>+</sup>	8600.0	63/2 <sup>+</sup>	DCO=0.96 19
946.0 2	2.9 7	9657.3	(67/2 <sup>-</sup> )	8711.3	63/2 <sup>-</sup>	
948.7 5	0.8 4	9498.2	67/2 <sup>-</sup>	8549.5	63/2 <sup>-</sup>	DCO=1.02 20
950.4 2	2.8 8	10070.9	(69/2 <sup>-</sup> )	9120.5	(65/2 <sup>-</sup> )	
952.6 5	≤0.3	10185.0	(J1+14)	9232.4	(J1+12)	
956.4 2	4.8 5	9192.6	67/2 <sup>-</sup>	8236.2	63/2 <sup>-</sup>	DCO=1.01 15
957.0 2	2.8 8	8924.8	65/2 <sup>+</sup>	7967.8	61/2 <sup>+</sup>	DCO=0.95 14
959.0 5	0.7 2	10068.0	69/2 <sup>+</sup>	9109.0	65/2 <sup>+</sup>	DCO=0.96 19
962.0 2	1.3 4	2665.3	27/2 <sup>+</sup>	1703.3	25/2 <sup>-</sup>	DCO=0.53 11
968.9 2	4.8 5	8824.2	65/2 <sup>-</sup>	7855.3	61/2 <sup>-</sup>	DCO=1.00 15
971.5 5	≤0.3	10144.7	(69/2 <sup>-</sup> )	9173.2	(65/2 <sup>-</sup> )	
974.5 5	≤0.3	3562.9+y	(J3+8)	2588.4+y	(J3+6)	
976.9 5	≤0.3	9993.8	69/2 <sup>-</sup>	9016.0	65/2 <sup>-</sup>	
977.4 5	≤0.3	10846.4	(71/2 <sup>+</sup> )	9869.0	67/2 <sup>+</sup>	$I_\gamma$ : listed as 3 in table IV of <b>2015Ro27</b> (or 0.3 for revised normalization here). Compiler assumes that it is meant to be ≤3.
979.9 5	≤0.3	10551.3	71/2 <sup>+</sup>	9571.4	67/2 <sup>+</sup>	DCO=0.98 20
980.0 2	2.4 6	9993.8	69/2 <sup>-</sup>	9014.0	65/2 <sup>-</sup>	DCO=1.02 15
980.3 2	3.0 11	10654.4	73/2 <sup>+</sup>	9674.1	69/2 <sup>+</sup>	DCO=1.02 15
981.1 5	≤0.3	9997.0	69/2 <sup>-</sup>	9016.0	65/2 <sup>-</sup>	DCO=0.95 19
982.5 5	≤0.3	9997.0	69/2 <sup>-</sup>	9014.0	65/2 <sup>-</sup>	
982.5 5	≤0.3	10193.0	(69/2 <sup>+</sup> )	9210.5	(65/2 <sup>+</sup> )	
984.7 5	≤0.3	4373.7+x	(J2+8)	3389.0+x	(J2+6)	DCO=0.98 20
984.9 5	≤0.3	10553.1	(71/2 <sup>-</sup> )	9568.2	67/2 <sup>-</sup>	
987.1 5	0.9 1	9442.9	67/2 <sup>+</sup>	8455.8	63/2 <sup>+</sup>	DCO=1.22 24
988.0 2	1.0 1	10957.6	73/2 <sup>+</sup>	9969.6	69/2 <sup>+</sup>	DCO=1.03 21
989.3 5	≤0.3	10531.4	71/2 <sup>+</sup>	9542.1	67/2 <sup>+</sup>	DCO=0.90 18
993.7 2	1.2 2	2697.0	27/2 <sup>+</sup>	1703.3	25/2 <sup>-</sup>	
993.7 2	1.0 2	10263.6	71/2 <sup>+</sup>	9269.9	67/2 <sup>+</sup>	DCO=0.91 18
998.0 2	2.0 5	10655.3	(71/2 <sup>-</sup> )	9657.3	(67/2 <sup>-</sup> )	
1005.9 5	0.5 2	10504.1	71/2 <sup>-</sup>	9498.2	67/2 <sup>-</sup>	DCO=0.94 19
1007.0 5	≤0.3	11151.7	(73/2 <sup>-</sup> )	10144.7	(69/2 <sup>-</sup> )	
1009.1 5	≤0.3	11194.1	(J1+16)	10185.0	(J1+14)	
1010.3 2	3.4 4	10202.9	71/2 <sup>-</sup>	9192.6	67/2 <sup>-</sup>	DCO=0.99 15
1013.2 2	2.2 6	11084.1	(73/2 <sup>-</sup> )	10070.9	(69/2 <sup>-</sup> )	
1016.0 2	1.2 3	3293.9	33/2 <sup>-</sup>	2278.0	29/2 <sup>-</sup>	

Continued on next page (footnotes at end of table)



$^{123}\text{Sb}(^{48}\text{Ca}, 4n\gamma): \text{XUNDL-2}$  **2015Ro27** (continued) $\gamma(^{167}\text{Lu})$  (continued)

$E_\gamma$ †	$I_\gamma$ ‡	$E_i(\text{level})$	$J_i^\pi$	$E_f$	$J_f^\pi$	Comments
1016.4 5	0.6 2	11084.4	73/2 <sup>+</sup>	10068.0	69/2 <sup>+</sup>	DCO=1.17 23
1022.0 2	2.7 8	9946.8	69/2 <sup>+</sup>	8924.8	65/2 <sup>+</sup>	DCO=0.91 18
1026.4 5	≤0.3	11219.4	(73/2 <sup>+</sup> )	10193.0	(69/2 <sup>+</sup> )	
1030.1 5	≤0.3	4593.0+y	(J3+10)	3562.9+y	(J3+8)	
1032.3 5	≤0.3	11878.7	(75/2 <sup>+</sup> )	10846.4	(71/2 <sup>+</sup> )	
1033.9 5	0.8 3	11027.2	73/2 <sup>-</sup>	9993.8	69/2 <sup>-</sup>	DCO=0.95 19
1034.1 2	3.0 4	9858.3	69/2 <sup>-</sup>	8824.2	65/2 <sup>-</sup>	DCO=1.04 16
1036.1 2	1.9 7	11690.5	77/2 <sup>+</sup>	10654.4	73/2 <sup>+</sup>	DCO=1.01 20
1036.6 5	≤0.3	11587.9	75/2 <sup>+</sup>	10551.3	71/2 <sup>+</sup>	DCO=1.11 22
1039.5 5	≤0.3	5413.2+x	(J2+10)	4373.7+x	(J2+8)	DCO=0.98 20
1039.5 5	≤0.3	11037.0	73/2 <sup>-</sup>	9997.0	69/2 <sup>-</sup>	DCO=0.90 18
1040.0 5	≤0.3	11571.4	(75/2 <sup>+</sup> )	10531.4	71/2 <sup>+</sup>	
1046.2 5	0.8 1	10489.1	71/2 <sup>+</sup>	9442.9	67/2 <sup>+</sup>	DCO=0.87 17
1048.1 5	≤0.3	11601.2	(75/2 <sup>-</sup> )	10553.1	(71/2 <sup>-</sup> )	
1054.0 5	0.8 1	12011.6	77/2 <sup>+</sup>	10957.6	73/2 <sup>+</sup>	DCO=1.11 22
1054.8 5	0.4 2	11558.9	75/2 <sup>-</sup>	10504.1	71/2 <sup>-</sup>	DCO=0.97 19
1057.9 <sup>a</sup> 5	≤0.3	12209.6	(77/2 <sup>-</sup> )	11151.7	(73/2 <sup>-</sup> )	
1058.3 5	0.8 2	11321.9	75/2 <sup>+</sup>	10263.6	71/2 <sup>+</sup>	DCO=1.13 23
1062.4 2	1.6 2	11265.3	75/2 <sup>-</sup>	10202.9	71/2 <sup>-</sup>	DCO=0.97 19
1070.6 2	1.1 3	12154.7	(77/2 <sup>-</sup> )	11084.1	(73/2 <sup>-</sup> )	
1075.9 5	0.5 1	12160.3	77/2 <sup>+</sup>	11084.4	73/2 <sup>+</sup>	DCO=1.13 23
1084.0 5	≤0.3	12962.7	(79/2 <sup>+</sup> )	11878.7	(75/2 <sup>+</sup> )	
1084.1 2	1.4 3	11030.9	(73/2 <sup>+</sup> )	9946.8	69/2 <sup>+</sup>	
1089.0 2	2.0 3	10947.3	73/2 <sup>-</sup>	9858.3	69/2 <sup>-</sup>	DCO=1.00 15
1089.3 5	≤0.3	5682.3+y	(J3+12)	4593.0+y	(J3+10)	
1090.1 5	≤0.3	12127.2	(77/2 <sup>-</sup> )	11037.0	73/2 <sup>-</sup>	
1090.4 5	0.7 3	12780.9	81/2 <sup>+</sup>	11690.5	77/2 <sup>+</sup>	DCO=0.92 18
1096.1 5	≤0.3	12697.3	(79/2 <sup>-</sup> )	11601.2	(75/2 <sup>-</sup> )	
1096.2 5	≤0.3	6509.4+x	(J2+12)	5413.2+x	(J2+10)	DCO=0.94 19
1098.1 5	0.4 2	12657.0	79/2 <sup>-</sup>	11558.9	75/2 <sup>-</sup>	DCO=0.98 20
1099.0 5	≤0.3	12686.9	(79/2 <sup>+</sup> )	11587.9	75/2 <sup>+</sup>	
1100.1 5	≤0.3	12127.2	(77/2 <sup>-</sup> )	11027.2	73/2 <sup>-</sup>	
1102.0 5	≤0.3	12139.2	77/2 <sup>-</sup>	11037.0	73/2 <sup>-</sup>	DCO=0.98 20
1102.2 2	1.1 3	12049.5	77/2 <sup>-</sup>	10947.3	73/2 <sup>-</sup>	DCO=0.98 20
1105.3 5	0.6 1	11594.4	75/2 <sup>+</sup>	10489.1	71/2 <sup>+</sup>	DCO=1.08 22
1108.3 5	0.8 3	13157.8	81/2 <sup>-</sup>	12049.5	77/2 <sup>-</sup>	DCO=1.01 22
1111.9 2	1.1 4	12377.2	79/2 <sup>-</sup>	11265.3	75/2 <sup>-</sup>	DCO=1.03 21
1112.3 5	≤0.3	12139.2	77/2 <sup>-</sup>	11027.2	73/2 <sup>-</sup>	
1115.9 5	≤0.3	13813.3	(83/2 <sup>-</sup> )	12697.3	(79/2 <sup>-</sup> )	
1118.4 5	0.4 1	12440.4	79/2 <sup>+</sup>	11321.9	75/2 <sup>+</sup>	DCO=0.90 18
1120.1 5	0.6 1	13131.7	81/2 <sup>+</sup>	12011.6	77/2 <sup>+</sup>	DCO=1.02 20
1135.1 5	0.4 1	13295.4	(81/2 <sup>+</sup> )	12160.3	77/2 <sup>+</sup>	
1136.1 5	0.7 2	13290.8	(81/2 <sup>-</sup> )	12154.7	(77/2 <sup>-</sup> )	
1137.1 5	0.9 2	12168.0	(77/2 <sup>+</sup> )	11030.9	(73/2 <sup>+</sup> )	
1138.4 5	≤0.3	13795.4	(83/2 <sup>-</sup> )	12657.0	79/2 <sup>-</sup>	
1139.1 <sup>a</sup> 5	≤0.3	13278.2	(81/2 <sup>-</sup> )	12139.2	77/2 <sup>-</sup>	
1140.8 5	≤0.3	13921.7	85/2 <sup>+</sup>	12780.9	81/2 <sup>+</sup>	DCO=0.98 20
1141.9 5	≤0.3	14299.7	(85/2 <sup>-</sup> )	13157.8	81/2 <sup>-</sup>	
1148.2 5	≤0.3	6830.5+y	(J3+14)	5682.3+y	(J3+12)	
1149.2 5	≤0.3	14111.9	(83/2 <sup>+</sup> )	12962.7	(79/2 <sup>+</sup> )	
1150.9 5	≤0.3	13278.2	(81/2 <sup>-</sup> )	12127.2	(77/2 <sup>-</sup> )	
1151.8 <sup>a</sup> 5	≤0.3	13291.0	(81/2 <sup>-</sup> )	12139.2	77/2 <sup>-</sup>	
1153.1 5	≤0.3	7662.5+x	(J2+14)	6509.4+x	(J2+12)	DCO=0.97 18
1160.1 5	0.5 2	13537.3	83/2 <sup>-</sup>	12377.2	79/2 <sup>-</sup>	DCO=0.97 19
1164.1 5	≤0.3	13851.1	(83/2 <sup>+</sup> )	12686.9	(79/2 <sup>+</sup> )	

Continued on next page (footnotes at end of table)



$^{123}\text{Sb}(^{48}\text{Ca},4n\gamma):\text{XUNDL-2}$  **2015Ro27** (continued) $\gamma(^{167}\text{Lu})$  (continued)

$E_\gamma^\dagger$	$I_\gamma^\ddagger$	$E_i(\text{level})$	$J_i^\pi$	$E_f$	$J_f^\pi$	Comments
1169.6 5	$\leq 0.3$	14965.0	(87/2 <sup>-</sup> )	13795.4	(83/2 <sup>-</sup> )	
1170.6 5	$\leq 0.3$	13611.0	83/2 <sup>+</sup>	12440.4	79/2 <sup>+</sup>	DCO=1.07 21
1173.1 5	$\leq 0.3$	15472.8	(89/2 <sup>-</sup> )	14299.7	(85/2 <sup>-</sup> )	
1183.3 5	0.4 1	14315.0	85/2 <sup>+</sup>	13131.7	81/2 <sup>+</sup>	DCO=0.97 19
1186.4 5	$\leq 0.3$	15108.1	89/2 <sup>+</sup>	13921.7	85/2 <sup>+</sup>	DCO=0.98 20
1188.2 5	$\leq 0.3$	14466.4	(85/2 <sup>-</sup> )	13278.2	(81/2 <sup>-</sup> )	
1191.1 2	1.5 2	2894.4	29/2 <sup>-</sup>	1703.3	25/2 <sup>-</sup>	DCO=1.03 21
1192.4 5	$\leq 0.3$	14487.8	(85/2 <sup>+</sup> )	13295.4	(81/2 <sup>+</sup> )	
1200.1 5	$\leq 0.3$	15312.0	(87/2 <sup>+</sup> )	14111.9	(83/2 <sup>+</sup> )	Final level: $J^\pi=(81/2^+)$ in Table IV of <b>2015Ro27</b> is a misprint, it should be (83/2 <sup>+</sup> ) as in level-scheme Figure 1.
1200.2 5	$\leq 0.3$	14737.5	87/2 <sup>-</sup>	13537.3	83/2 <sup>-</sup>	DCO=0.91 18
1208.4 5	$\leq 0.3$	16681.2	(93/2 <sup>-</sup> )	15472.8	(89/2 <sup>-</sup> )	
1210.0 5	$\leq 0.3$	8040.5+y	(J3+16)	6830.5+y	(J3+14)	
1210.4 5	$\leq 0.3$	8872.9+x	(J2+16)	7662.5+x	(J2+14)	DCO=1.00 20
1212.3 5	$\leq 0.3$	14823.3	87/2 <sup>+</sup>	13611.0	83/2 <sup>+</sup>	DCO=1.04 21
1231.0 5	$\leq 0.3$	15968.5	(91/2 <sup>-</sup> )	14737.5	87/2 <sup>-</sup>	
1231.2 5	$\leq 0.3$	16339.3	93/2 <sup>+</sup>	15108.1	89/2 <sup>+</sup>	DCO=1.00 20
1243.2 5	$\leq 0.3$	15558.2	(89/2 <sup>+</sup> )	14315.0	85/2 <sup>+</sup>	
1244.0 5	$\leq 0.3$	16067.3	(91/2 <sup>+</sup> )	14823.3	87/2 <sup>+</sup>	
1247.2 5	$\leq 0.3$	15735.0	(89/2 <sup>+</sup> )	14487.8	(85/2 <sup>+</sup> )	
1256.1 5	$\leq 0.3$	17323.4	(95/2 <sup>+</sup> )	16067.3	(91/2 <sup>+</sup> )	
1261.3 5	$\leq 0.3$	17229.8	(95/2 <sup>-</sup> )	15968.5	(91/2 <sup>-</sup> )	
1262.1 <sup>a</sup> 5	$\leq 0.3$	17943.3	(97/2 <sup>-</sup> )	16681.2	(93/2 <sup>-</sup> )	
1264.0 5	$\leq 0.3$	10136.9+x	(J2+18)	8872.9+x	(J2+16)	DCO=0.97 19
1270.2 5	$\leq 0.3$	9310.7+y	(J3+18)	8040.5+y	(J3+16)	
1278.1 2	1.5 2	2483.5	25/2 <sup>-</sup>	1205.3	21/2 <sup>-</sup>	DCO=1.11 22
1278.6 5	$\leq 0.3$	17617.9	(97/2 <sup>+</sup> )	16339.3	93/2 <sup>+</sup>	
1309.3 5	$\leq 0.3$	11446.2+x	(J2+20)	10136.9+x	(J2+18)	DCO=1.11 29
1313.1 <sup>a</sup> 5	$\leq 0.3$	17048.1	(93/2 <sup>+</sup> )	15735.0	(89/2 <sup>+</sup> )	
1356.1 5	$\leq 0.3$	12802.3+x	(J2+22)	11446.2+x	(J2+20)	
1370.0 5	0.6 1	2165.0	21/2 <sup>-</sup>	794.5	17/2 <sup>-</sup>	

<sup>†</sup> According to footnote 'a' in Table IV of **2015Ro27**, uncertainty is 0.2 keV for most transitions, except 0.5 keV for  $\gamma$  rays with  $I_\gamma < 10$  units relative to 1000 for 410.8-keV  $\gamma$  ray from 1205.3, 21/2<sup>-</sup> level, or <1.0 unit relative to 100.0 for 410.8-keV  $\gamma$  ray listed here. Compiler also assigns 0.5 keV uncertainty for all the unresolved multiplets as marked by footnote 'e' in table IV of **2015Ro27**. For  $E_\gamma$  values stated to nearest keV,  $\Delta(E_\gamma)=1$  keV is assigned.

<sup>‡</sup> Values listed in Table IV are divided by a factor of 10 by compiler thus these are given here relative to 100.0 for 410.8-keV  $\gamma$  ray.

# Unresolved multiplet. Energy uncertainty is assigned by the compiler as 0.5 keV, and the intensity is listed as approximate by **2015Ro27**.

@ Intensity is not given in Table IV of **2015Ro27**, however it is expected to be strong as the transition lies near the bottom of the band, thus compiler assigns  $\Delta(E_\gamma)=0.2$  keV.

& Multiply placed with intensity suitably divided.

<sup>a</sup> Placement of transition in the level scheme is uncertain.

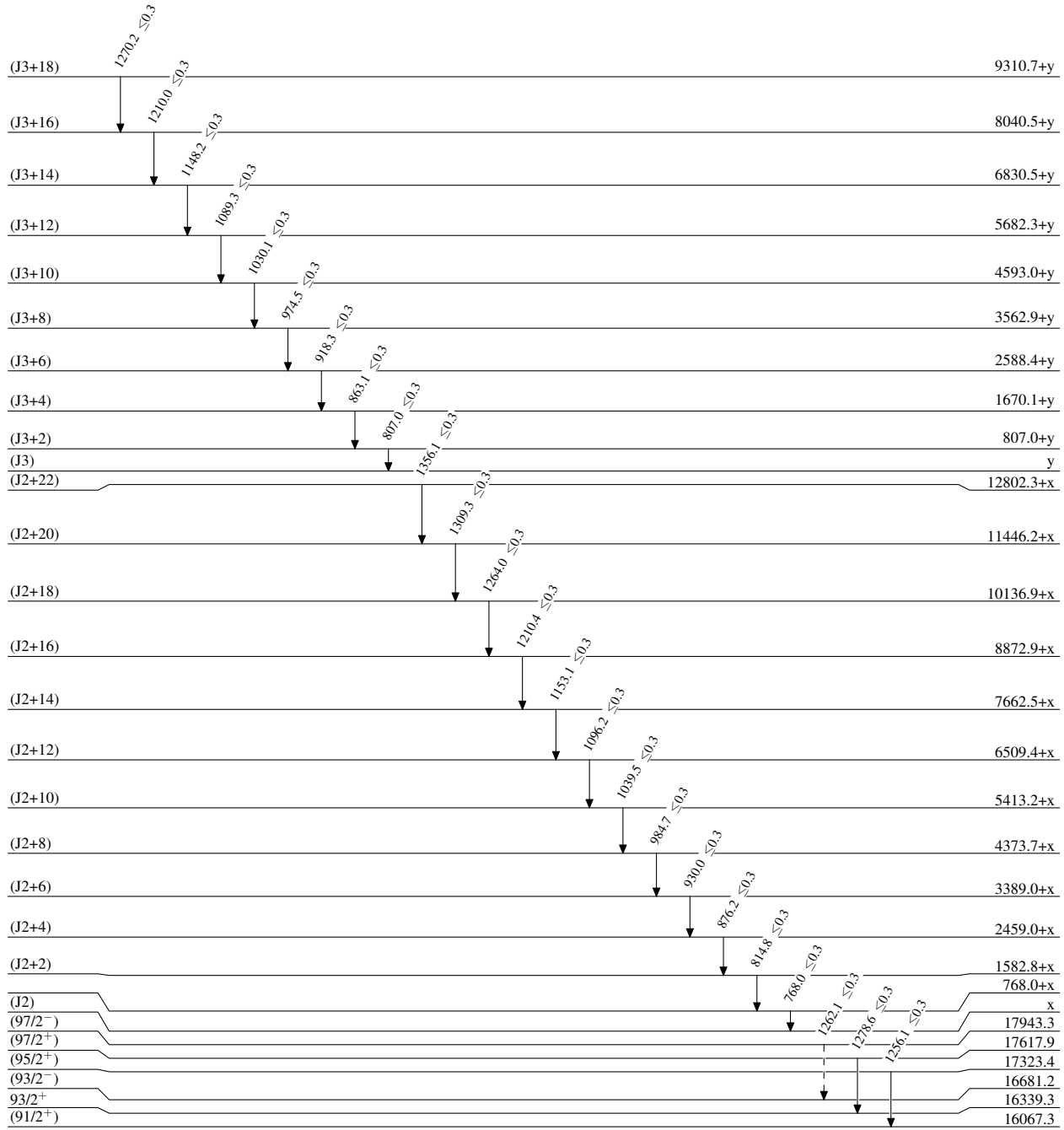
$^{123}\text{Sb}(^{48}\text{Ca}, 4n\gamma): \text{XUNDL-2} \quad 2015\text{Ro27}$ 

Legend

## Level Scheme

Intensities: Relative  $I_\gamma$ 

- $\longrightarrow$   $I_\gamma < 2\% \times I_\gamma^{\max}$   
 $\longrightarrow$   $I_\gamma < 10\% \times I_\gamma^{\max}$   
 $\longrightarrow$   $I_\gamma > 10\% \times I_\gamma^{\max}$   
 $\cdots$   $\gamma$  Decay (Uncertain)

7/2<sup>+</sup>

0.0

51.5 min 10

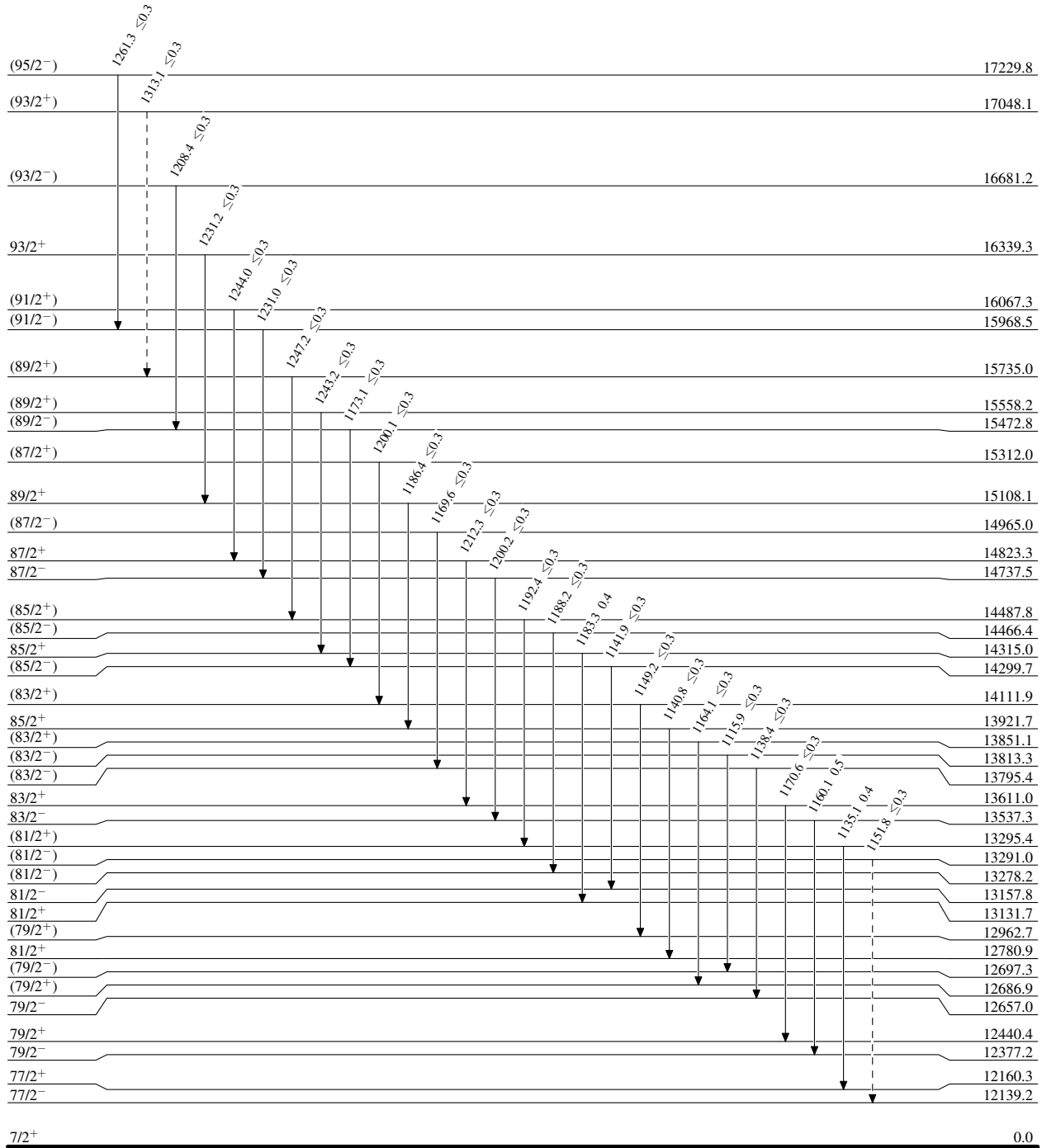
$^{123}\text{Sb}(^{48}\text{Ca},4n\gamma):\text{XUNDL-2}$  2015Ro27

Legend

## Level Scheme (continued)

Intensities: Relative  $I_\gamma$ 

- $\longrightarrow$   $I_\gamma < 2\% \times I_\gamma^{\max}$   
 $\longrightarrow$   $I_\gamma < 10\% \times I_\gamma^{\max}$   
 $\longrightarrow$   $I_\gamma > 10\% \times I_\gamma^{\max}$   
 $\cdots\cdots\cdots$   $\gamma$  Decay (Uncertain)

7/2<sup>+</sup>

0.0

51.5 min 10

 $^{167}_{71}\text{Lu}_{96}$

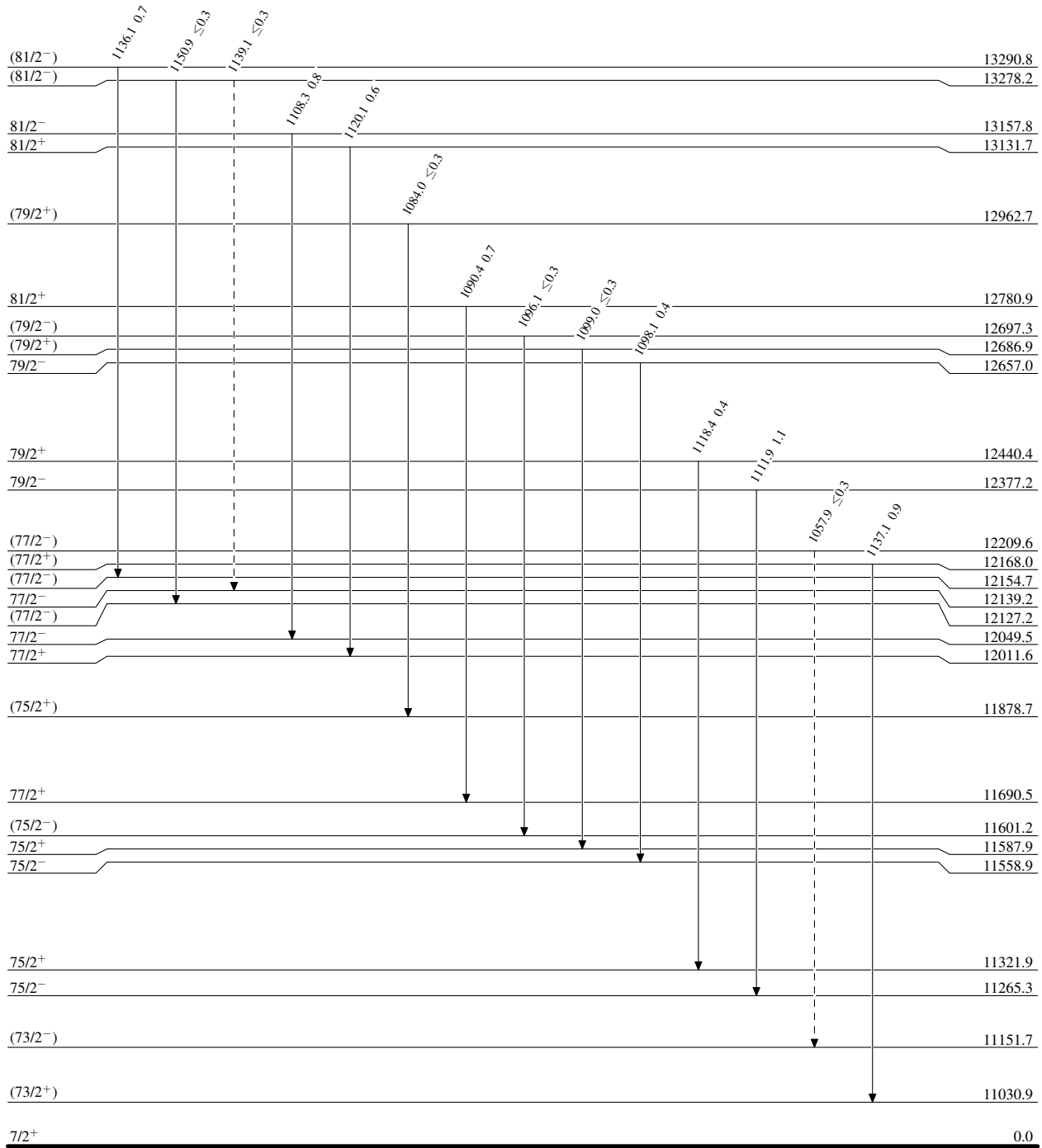
$^{123}\text{Sb}(^{48}\text{Ca},4n\gamma):\text{XUNDL-2}$  2015Ro27

## Level Scheme (continued)

Intensities: Relative  $I_\gamma$ 

## Legend

- $I_\gamma < 2\% \times I_\gamma^{\max}$
- $I_\gamma < 10\% \times I_\gamma^{\max}$
- $I_\gamma > 10\% \times I_\gamma^{\max}$
- - -  $\gamma$  Decay (Uncertain)



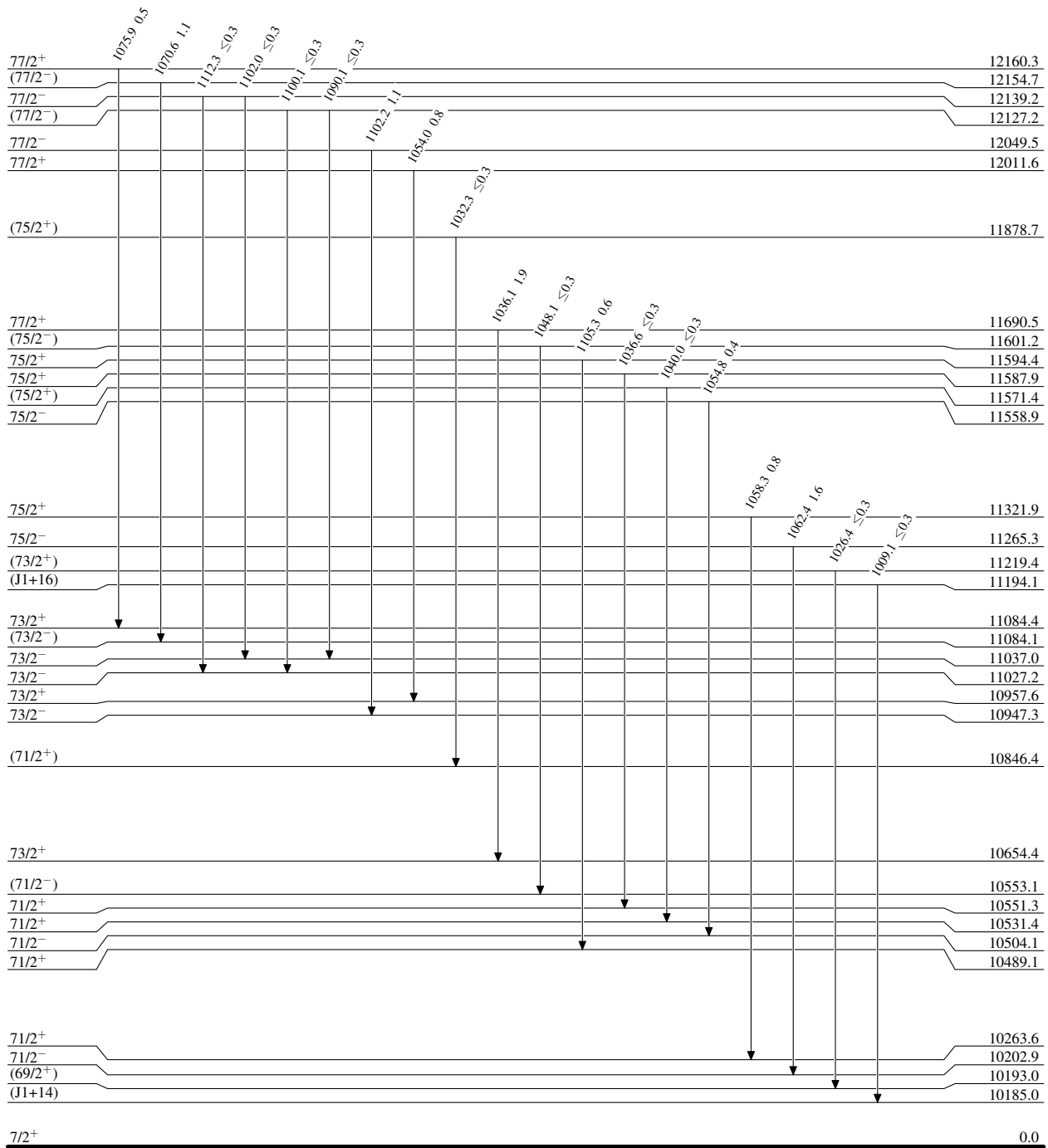
$^{123}\text{Sb}(^{48}\text{Ca}, 4n\gamma): \text{XUNDL-2}$  2015Ro27

## Level Scheme (continued)

Intensities: Relative  $I_\gamma$ 

## Legend

- $\longrightarrow$   $I_\gamma < 2\% \times I_\gamma^{\max}$   
 $\longrightarrow$   $I_\gamma < 10\% \times I_\gamma^{\max}$   
 $\longrightarrow$   $I_\gamma > 10\% \times I_\gamma^{\max}$



51.5 min 10

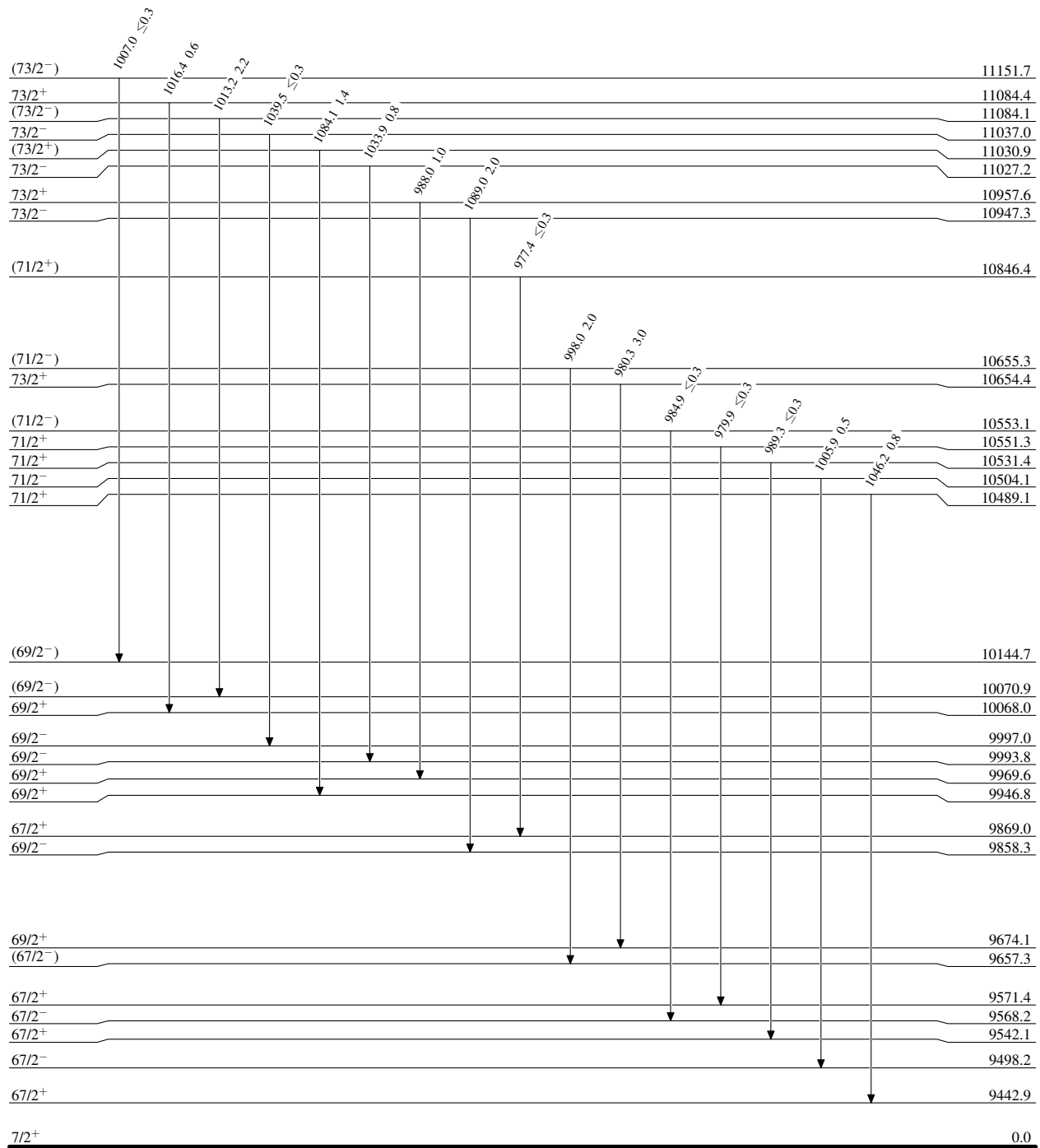
$^{123}\text{Sb}(^{48}\text{Ca},4n\gamma):\text{XUNDL-2}$  2015Ro27

## Level Scheme (continued)

Intensities: Relative  $I_\gamma$ 

## Legend

- $\longrightarrow$   $I_\gamma < 2\% \times I_\gamma^{\max}$   
 $\longrightarrow$   $I_\gamma < 10\% \times I_\gamma^{\max}$   
 $\longrightarrow$   $I_\gamma > 10\% \times I_\gamma^{\max}$



51.5 min 10

 $^{167}_{71}\text{Lu}_{96}$

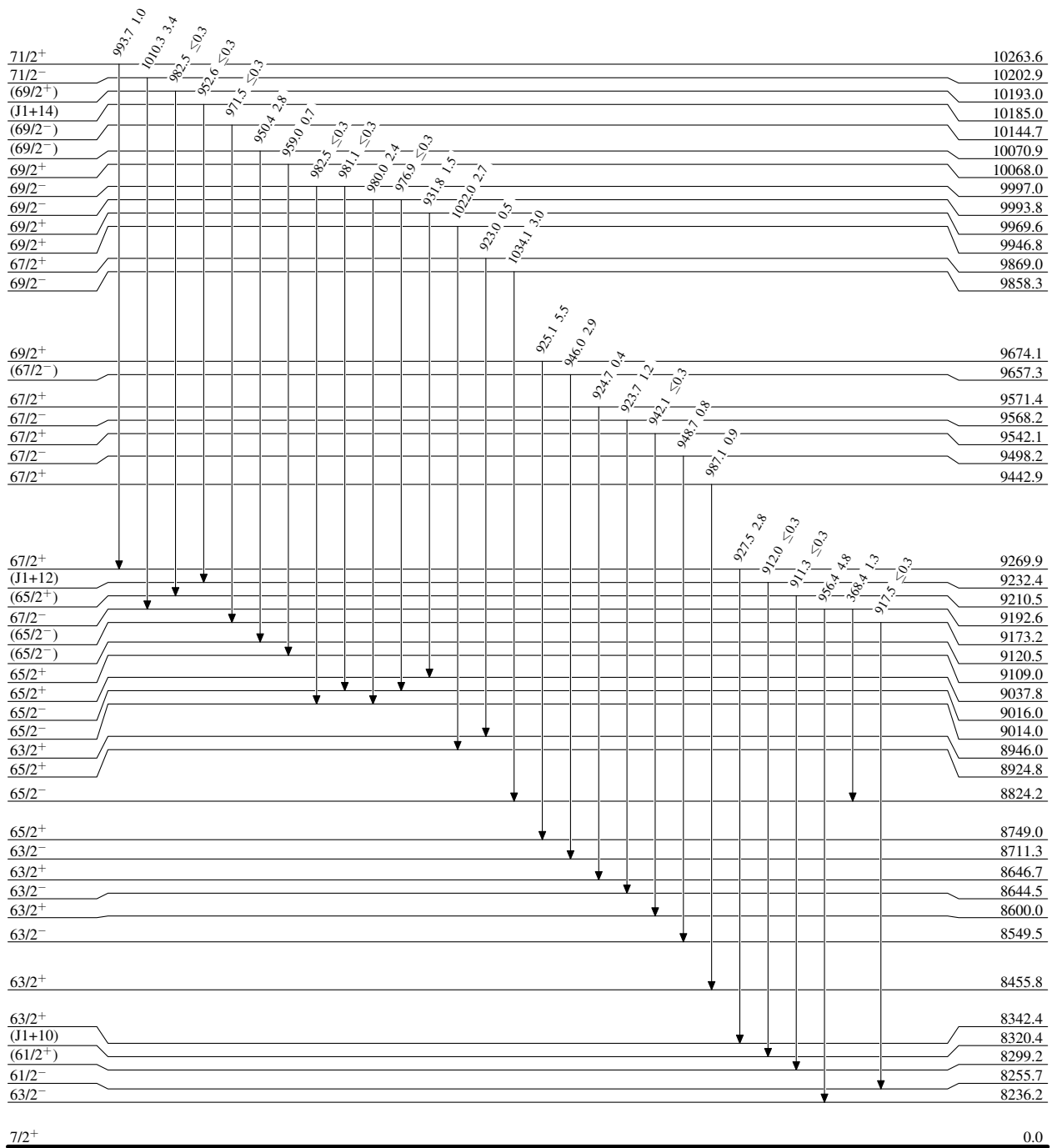
$^{123}\text{Sb}(^{48}\text{Ca},4n\gamma):\text{XUNDL-2}$  2015Ro27

## Level Scheme (continued)

Intensities: Relative  $I_\gamma$ 

## Legend

- $\longrightarrow$   $I_\gamma < 2\% \times I_\gamma^{\max}$   
 $\longrightarrow$   $I_\gamma < 10\% \times I_\gamma^{\max}$   
 $\longrightarrow$   $I_\gamma > 10\% \times I_\gamma^{\max}$

7/2<sup>+</sup>

0.0

51.5 min 10

 $^{167}_{71}\text{Lu}_{96}$

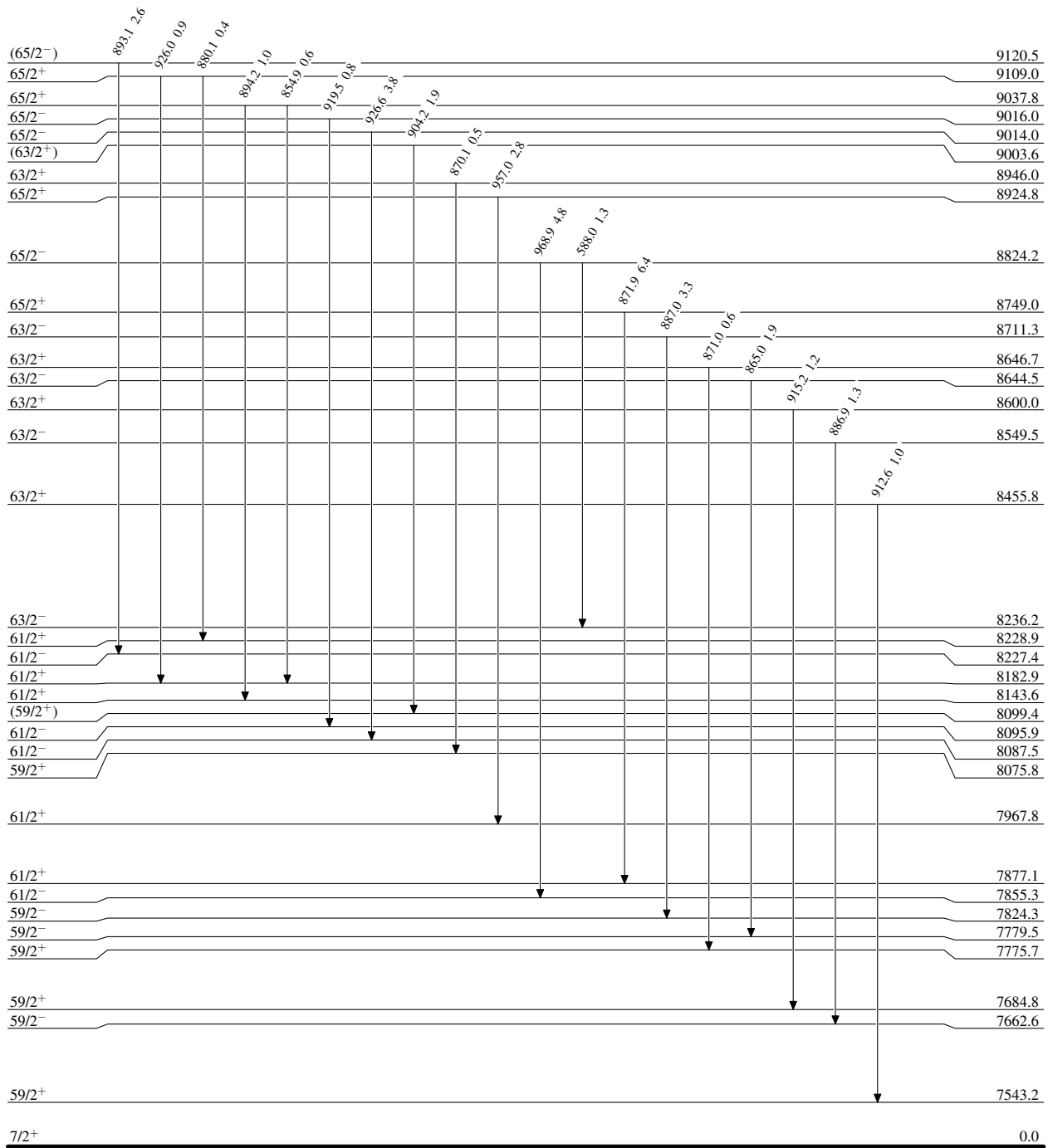
$^{123}\text{Sb}(^{48}\text{Ca},4n\gamma):\text{XUNDL-2}$  2015Ro27

## Level Scheme (continued)

Intensities: Relative  $I_\gamma$ 

## Legend

- $\longrightarrow$   $I_\gamma < 2\% \times I_\gamma^{\max}$   
 $\longrightarrow$   $I_\gamma < 10\% \times I_\gamma^{\max}$   
 $\longrightarrow$   $I_\gamma > 10\% \times I_\gamma^{\max}$





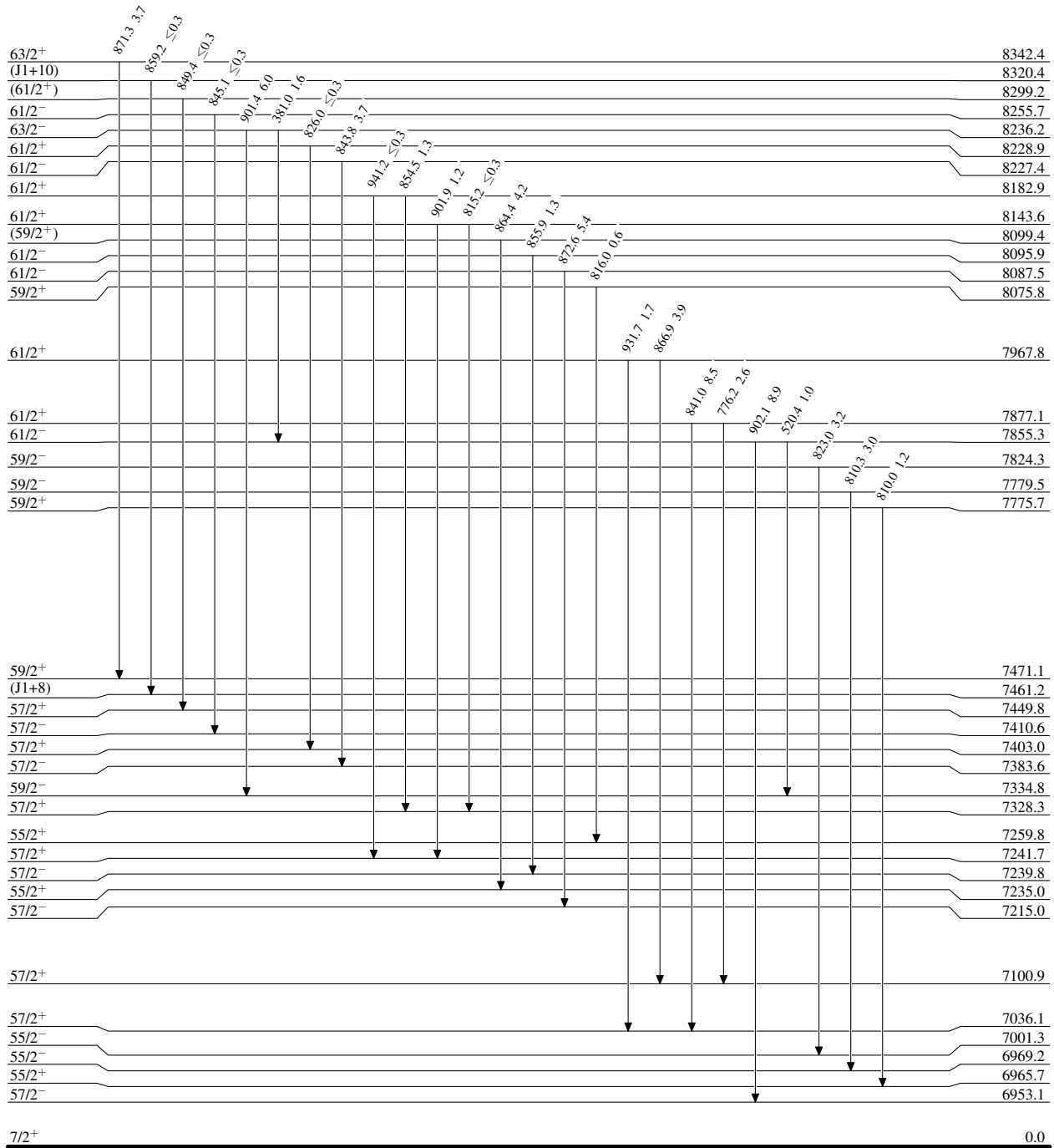
$^{123}\text{Sb}(^{48}\text{Ca}, 4n\gamma): \text{XUNDL-2}$  2015Ro27

## Level Scheme (continued)

Intensities: Relative  $I_\gamma$ 

## Legend

- $\longrightarrow$   $I_\gamma < 2\% \times I_\gamma^{\max}$   
 $\longrightarrow$   $I_\gamma < 10\% \times I_\gamma^{\max}$   
 $\longrightarrow$   $I_\gamma > 10\% \times I_\gamma^{\max}$



51.5 min 10

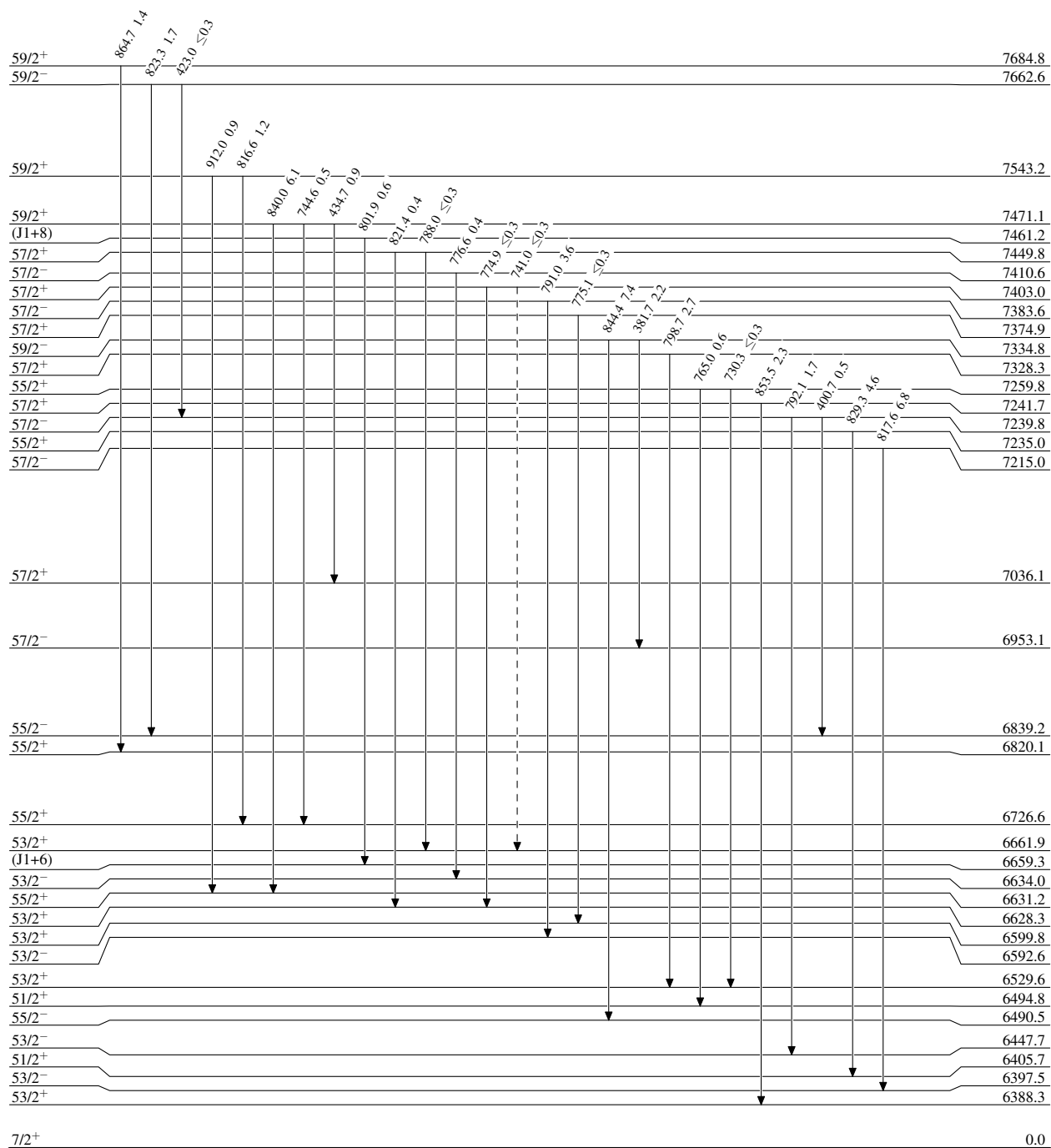
$^{123}\text{Sb}(^{48}\text{Ca},4n\gamma):\text{XUNDL-2}$  2015Ro27

Legend

## Level Scheme (continued)

Intensities: Relative  $I_\gamma$ 

- $\longrightarrow$   $I_\gamma < 2\% \times I_\gamma^{\max}$   
 $\longrightarrow$   $I_\gamma < 10\% \times I_\gamma^{\max}$   
 $\longrightarrow$   $I_\gamma > 10\% \times I_\gamma^{\max}$   
 $\longrightarrow$   $\gamma$  Decay (Uncertain)



51.5 min 10

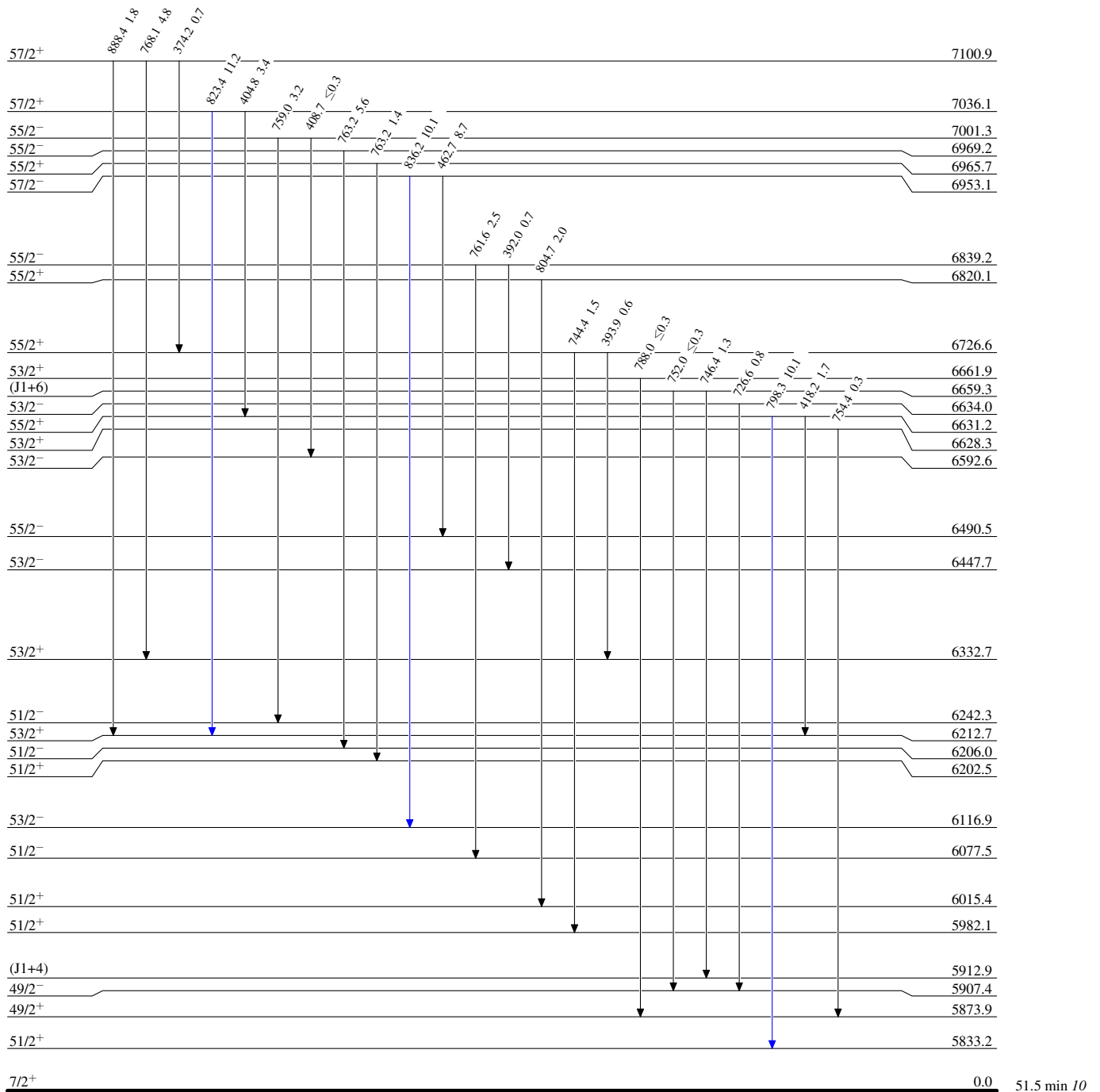
$^{123}\text{Sb}(^{48}\text{Ca}, 4n\gamma): \text{XUNDL-2} \quad 2015\text{Ro27}$ 

## Level Scheme (continued)

Intensities: Relative  $I_\gamma$ 

## Legend

- $\longrightarrow$   $I_\gamma < 2\% \times I_\gamma^{\max}$   
 $\longrightarrow$   $I_\gamma < 10\% \times I_\gamma^{\max}$   
 $\longrightarrow$   $I_\gamma > 10\% \times I_\gamma^{\max}$

 $^{167}_{71}\text{Lu}_{96}$

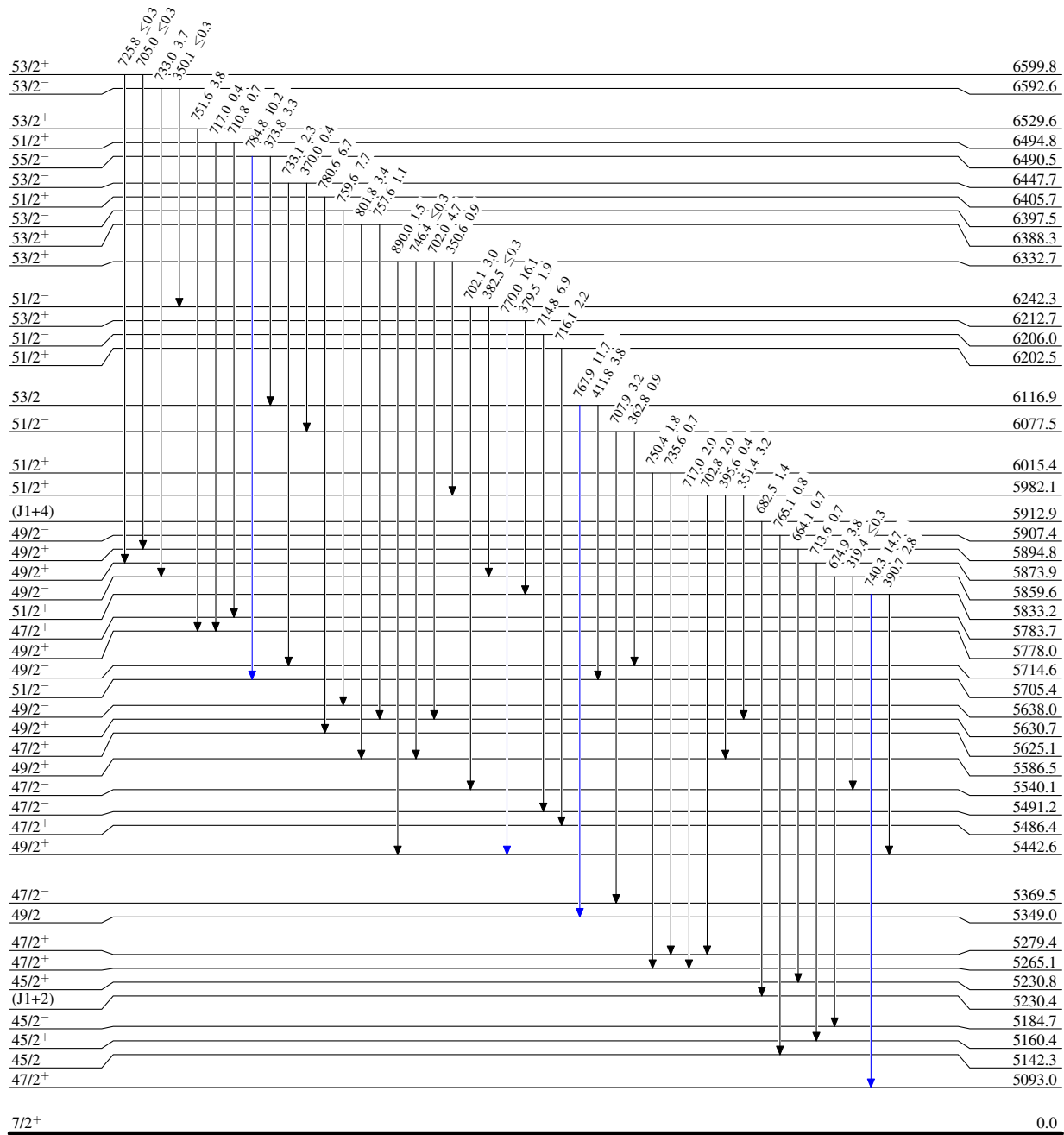
$^{123}\text{Sb}(^{48}\text{Ca},4n\gamma):\text{XUNDL-2}$  2015Ro27

## Level Scheme (continued)

Intensities: Relative  $I_\gamma$ 

## Legend

- $\longrightarrow$   $I_\gamma < 2\% \times I_\gamma^{\max}$   
 $\longrightarrow$   $I_\gamma < 10\% \times I_\gamma^{\max}$   
 $\longrightarrow$   $I_\gamma > 10\% \times I_\gamma^{\max}$



51.5 min 10

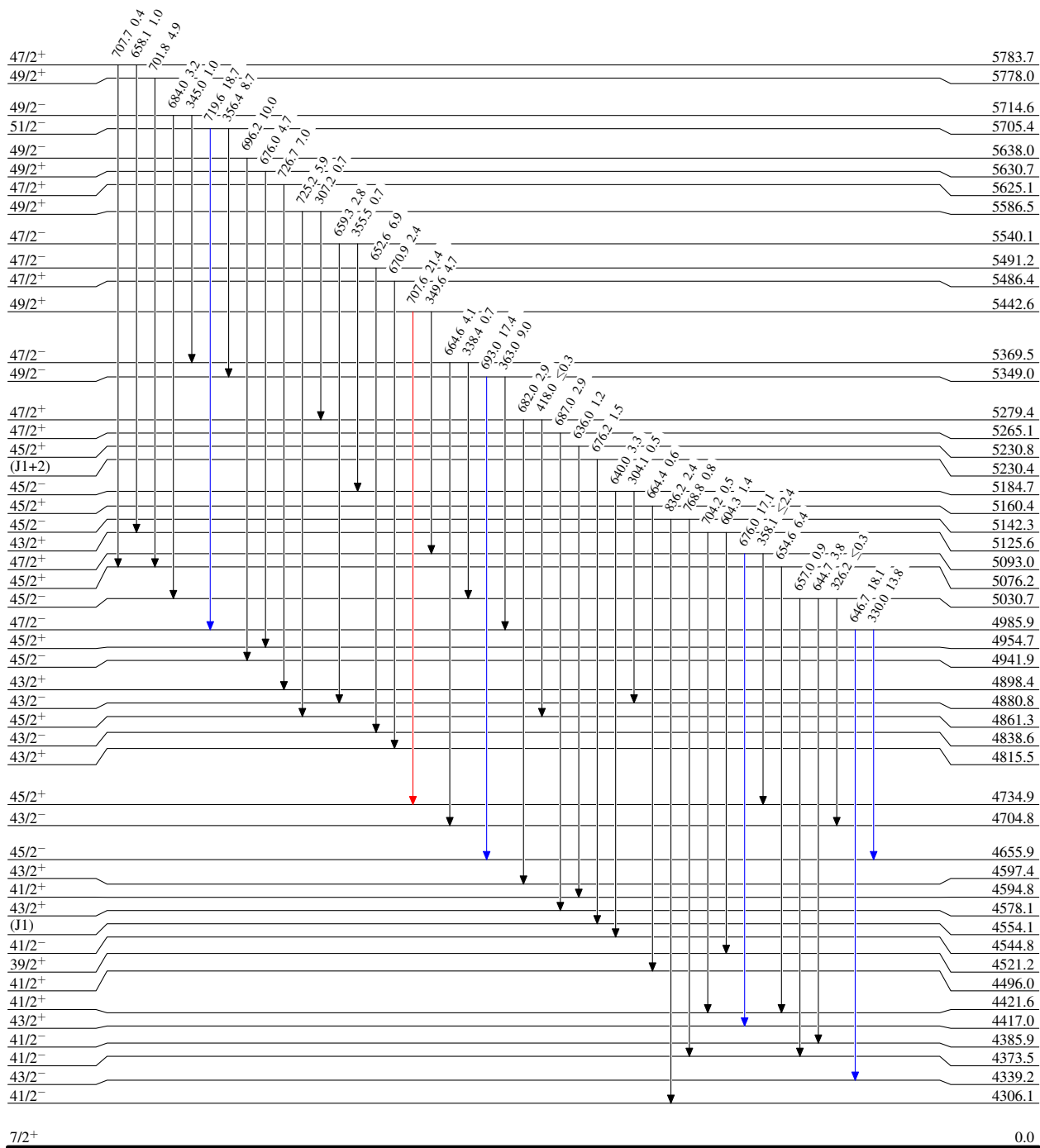
$^{123}\text{Sb}(^{48}\text{Ca},4n\gamma):\text{XUNDL-2}$  2015Ro27

## Level Scheme (continued)

Intensities: Relative  $I_\gamma$ 

## Legend

- $\longrightarrow$   $I_\gamma < 2\% \times I_\gamma^{\max}$   
 $\longrightarrow$   $I_\gamma < 10\% \times I_\gamma^{\max}$   
 $\longrightarrow$   $I_\gamma > 10\% \times I_\gamma^{\max}$

7/2<sup>+</sup>

0.0

51.5 min 10

 $^{167}_{71}\text{Lu}_{96}$

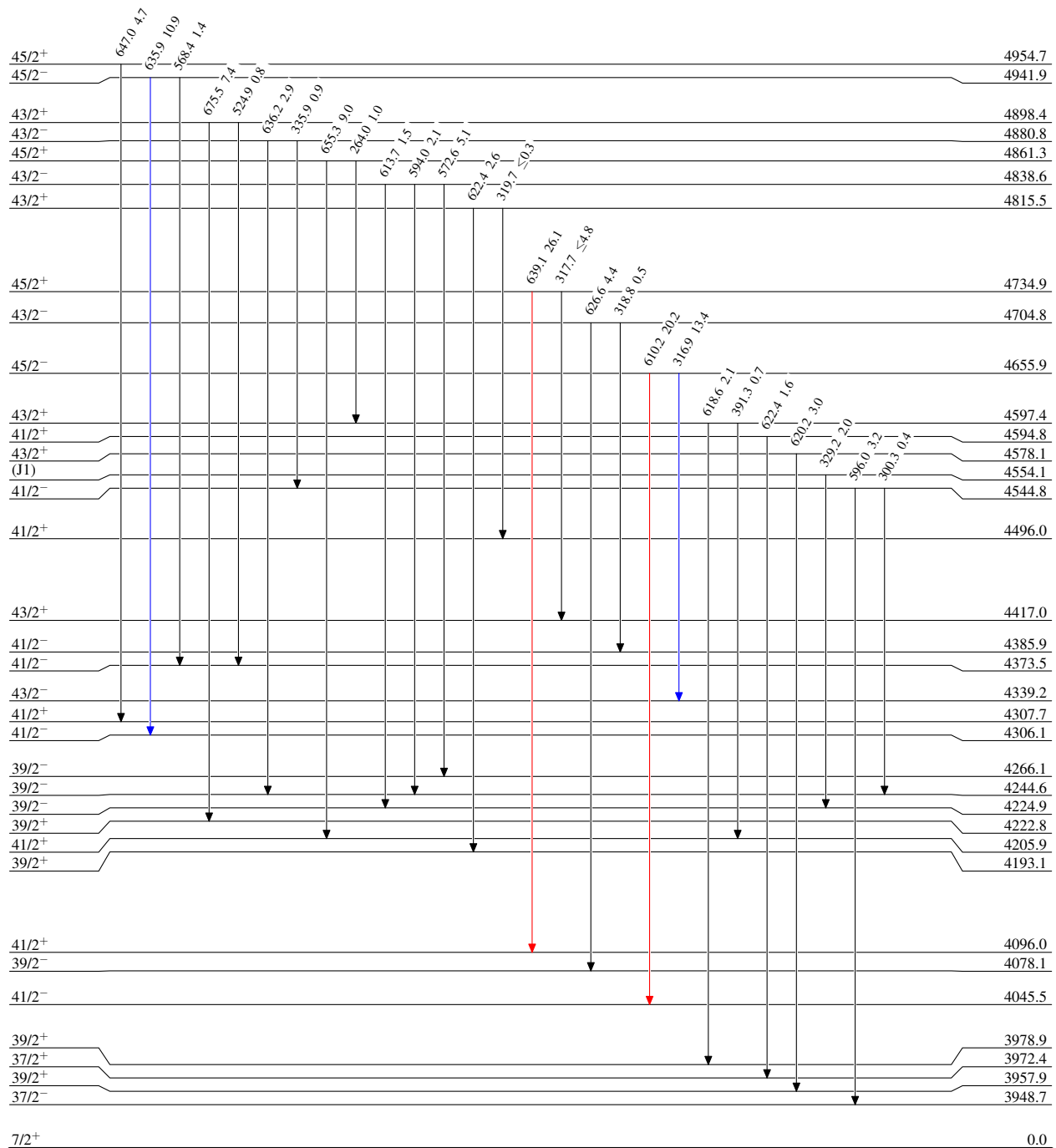
$^{123}\text{Sb}(^{48}\text{Ca},4n\gamma):\text{XUNDL-2}$  2015Ro27

## Level Scheme (continued)

Intensities: Relative  $I_\gamma$ 

## Legend

- $\longrightarrow$   $I_\gamma < 2\% \times I_\gamma^{\max}$   
 $\longrightarrow$   $I_\gamma < 10\% \times I_\gamma^{\max}$   
 $\longrightarrow$   $I_\gamma > 10\% \times I_\gamma^{\max}$



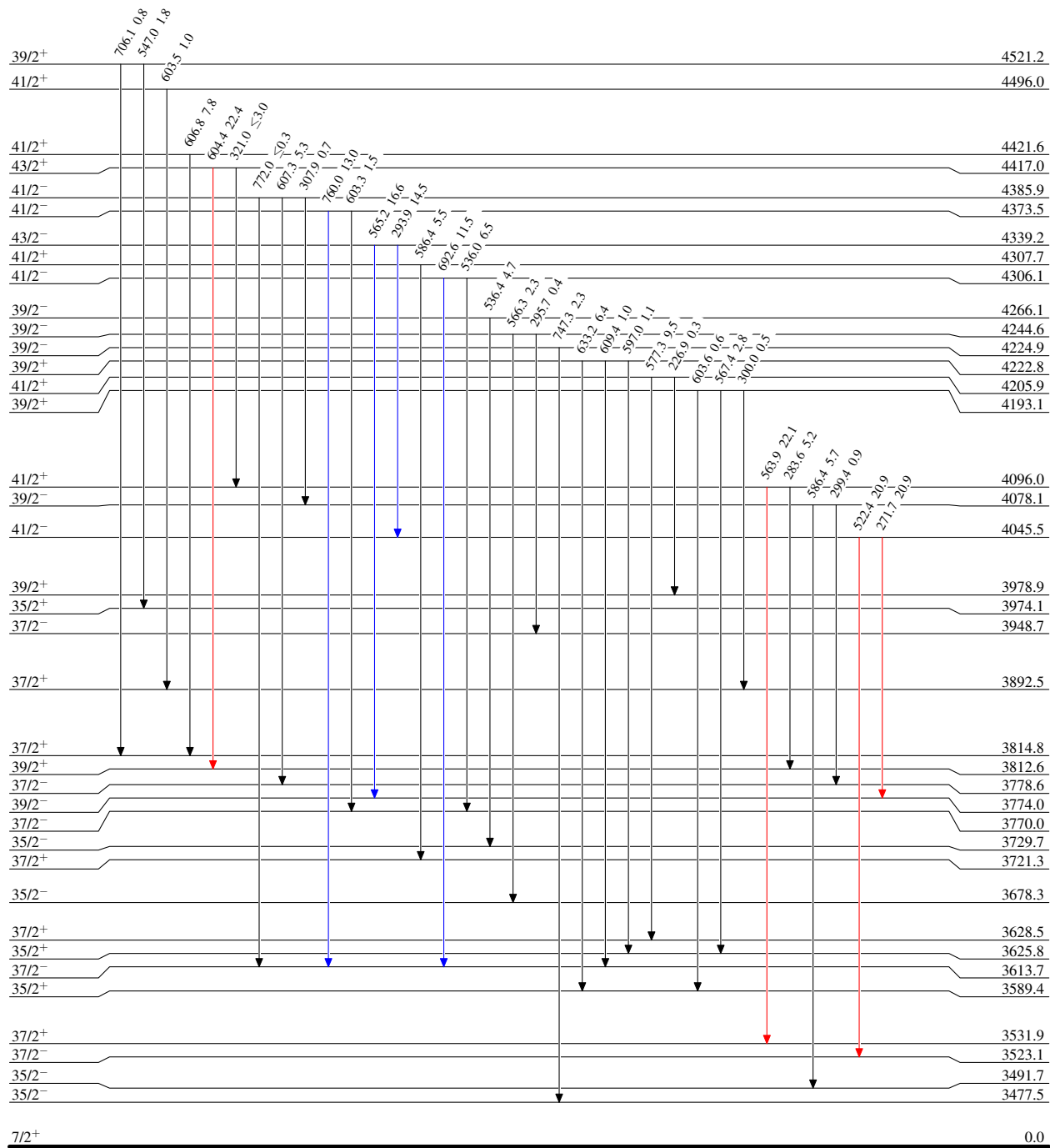
$^{123}\text{Sb}(^{48}\text{Ca},4n\gamma):\text{XUNDL-2}$  2015Ro27

## Level Scheme (continued)

Intensities: Relative  $I_\gamma$ 

## Legend

- $\longrightarrow$   $I_\gamma < 2\% \times I_\gamma^{\max}$   
 $\longrightarrow$   $I_\gamma < 10\% \times I_\gamma^{\max}$   
 $\longrightarrow$   $I_\gamma > 10\% \times I_\gamma^{\max}$



51.5 min 10

 $^{167}_{71}\text{Lu}_{96}$

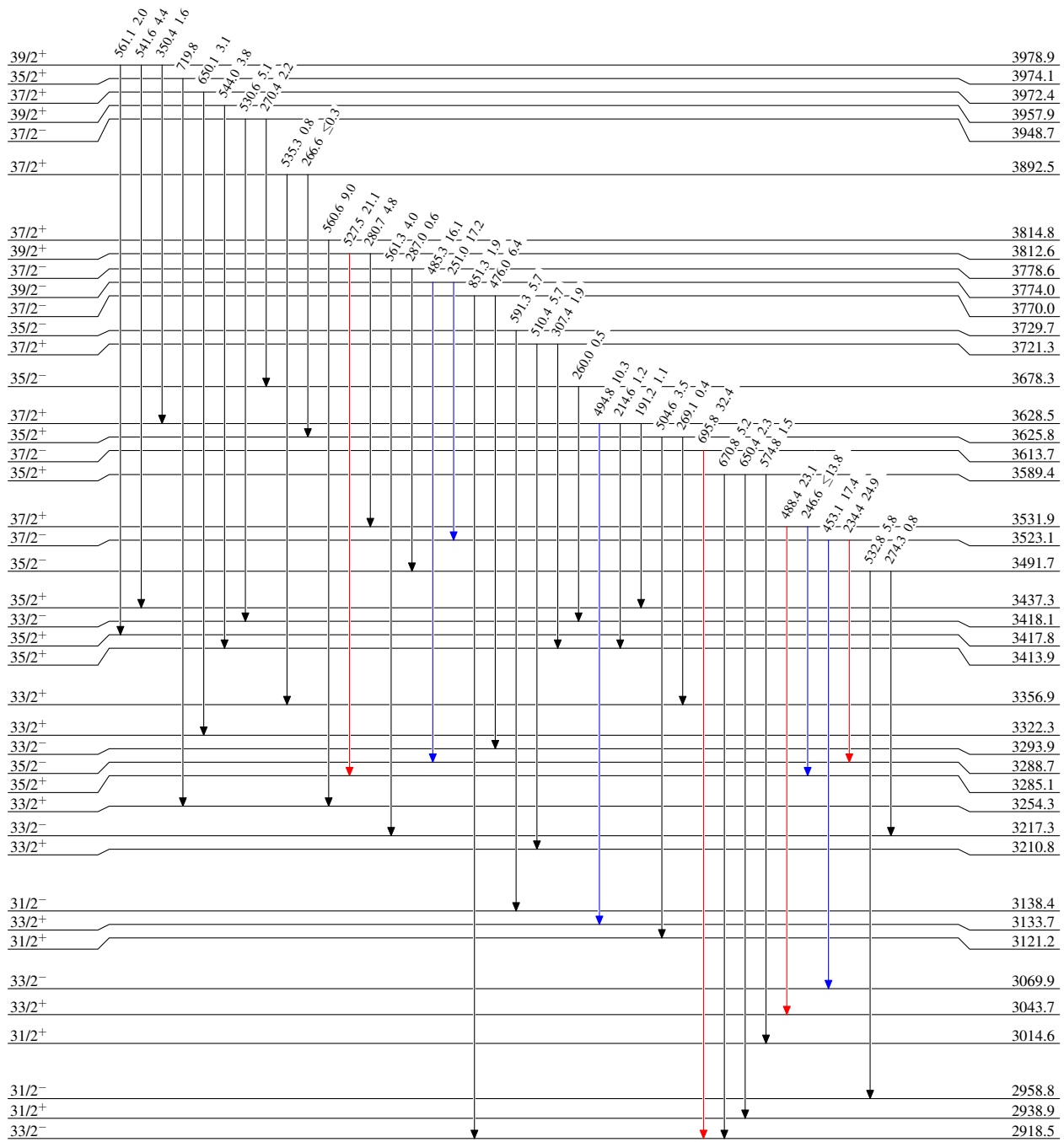
$^{123}\text{Sb}(^{48}\text{Ca}, 4n\gamma): \text{XUNDL-2} \quad 2015\text{Ro27}$ 

## Level Scheme (continued)

Intensities: Relative  $I_\gamma$ 

## Legend

- $\longrightarrow$   $I_\gamma < 2\% \times I_\gamma^{\max}$   
 $\longrightarrow$   $I_\gamma < 10\% \times I_\gamma^{\max}$   
 $\longrightarrow$   $I_\gamma > 10\% \times I_\gamma^{\max}$

 $7/2^+$ 

0.0

51.5 min 10

 $^{167}_{71}\text{Lu}_{96}$



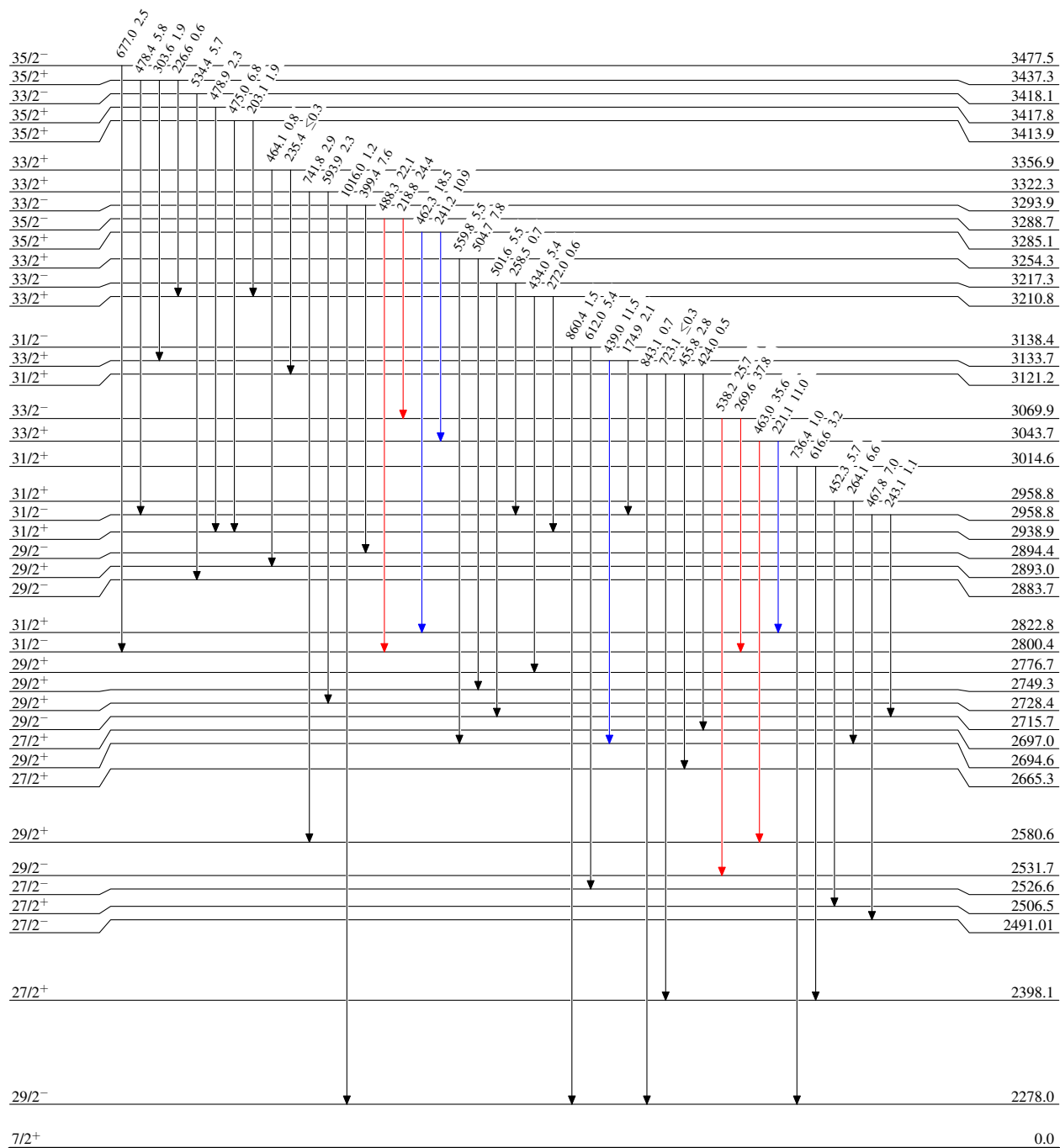
$^{123}\text{Sb}(^{48}\text{Ca}, 4n\gamma): \text{XUNDL-2}$  2015Ro27

## Level Scheme (continued)

Intensities: Relative  $I_\gamma$ 

Legend

- $\longrightarrow$   $I_\gamma < 2\% \times I_\gamma^{\max}$   
 $\longrightarrow$   $I_\gamma < 10\% \times I_\gamma^{\max}$   
 $\longrightarrow$   $I_\gamma > 10\% \times I_\gamma^{\max}$



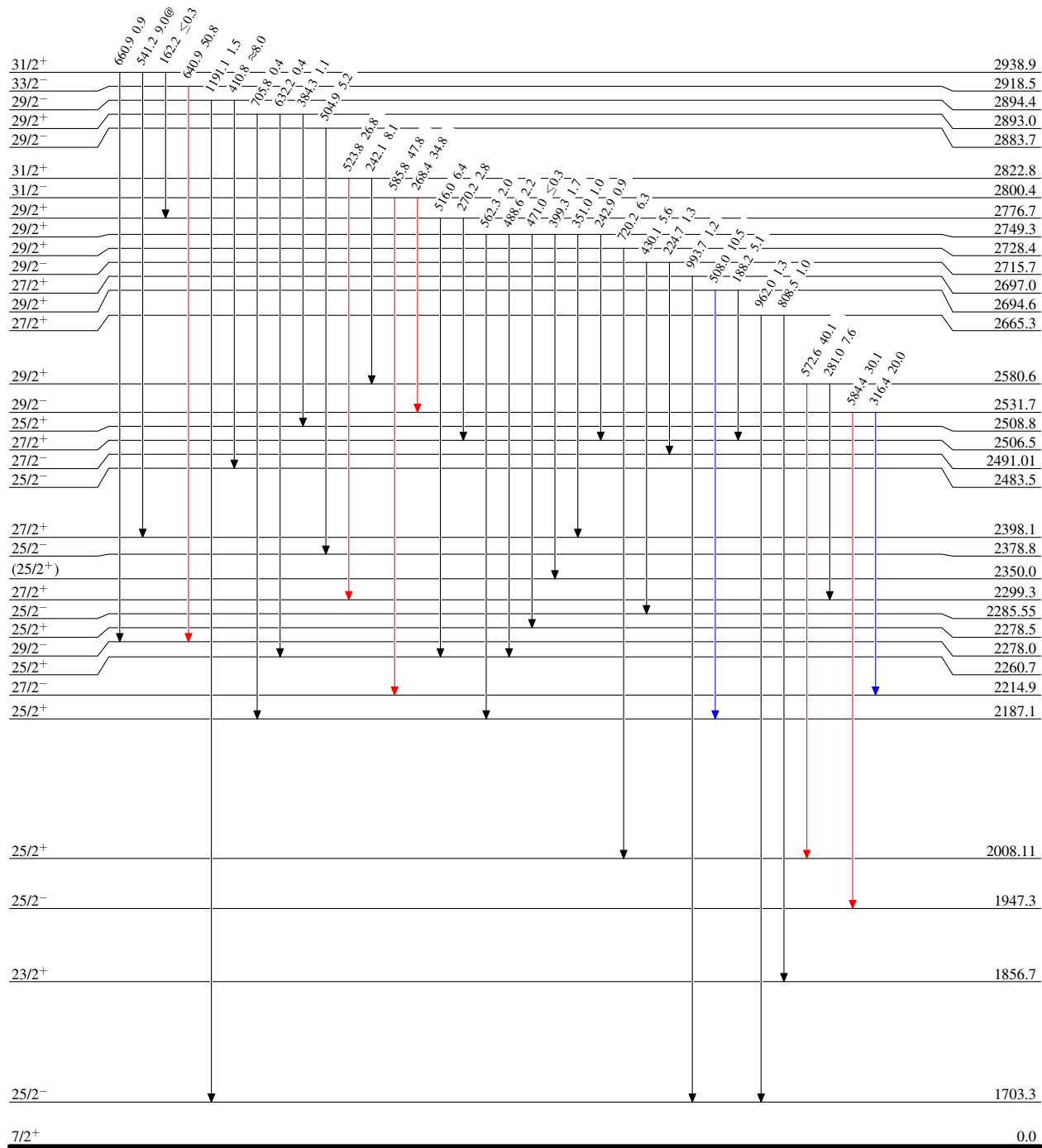
$^{123}\text{Sb}(^{48}\text{Ca}, 4n\gamma): \text{XUNDL-2}$  2015Ro27

## Level Scheme (continued)

Intensities: Relative  $I_\gamma$   
 @ Multiply placed: intensity suitably divided

## Legend

- $\longrightarrow$   $I_\gamma < 2\% \times I_\gamma^{\max}$   
 $\longrightarrow$   $I_\gamma < 10\% \times I_\gamma^{\max}$   
 $\longrightarrow$   $I_\gamma > 10\% \times I_\gamma^{\max}$



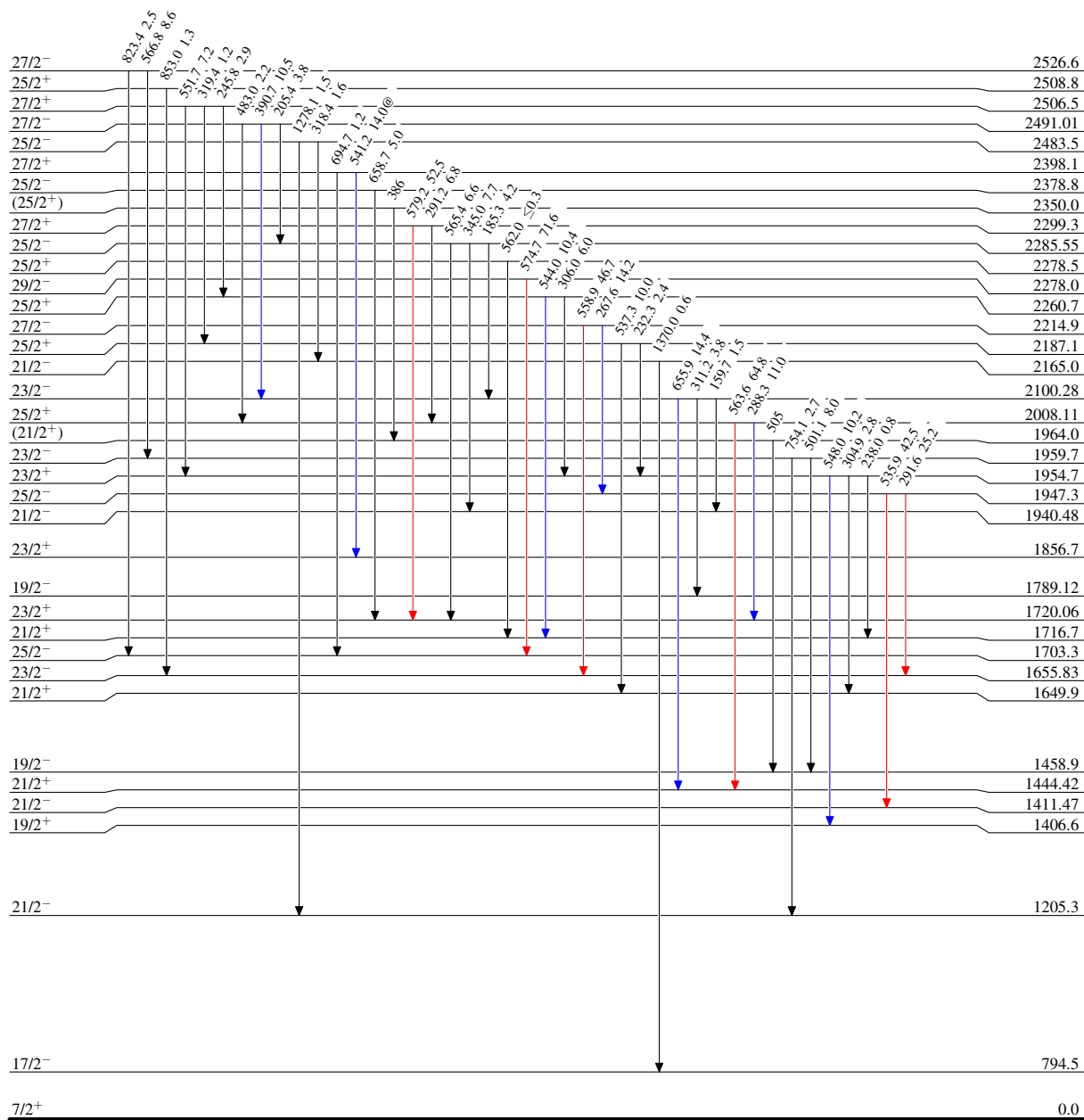
$^{123}\text{Sb}(^{48}\text{Ca},4n\gamma):\text{XUNDL-2}$  2015Ro27

## Level Scheme (continued)

## Legend

Intensities: Relative  $I_\gamma$   
 @ Multiply placed: intensity suitably divided

→  $I_\gamma < 2\% \times I_\gamma^{\max}$   
 →  $I_\gamma < 10\% \times I_\gamma^{\max}$   
 →  $I_\gamma > 10\% \times I_\gamma^{\max}$



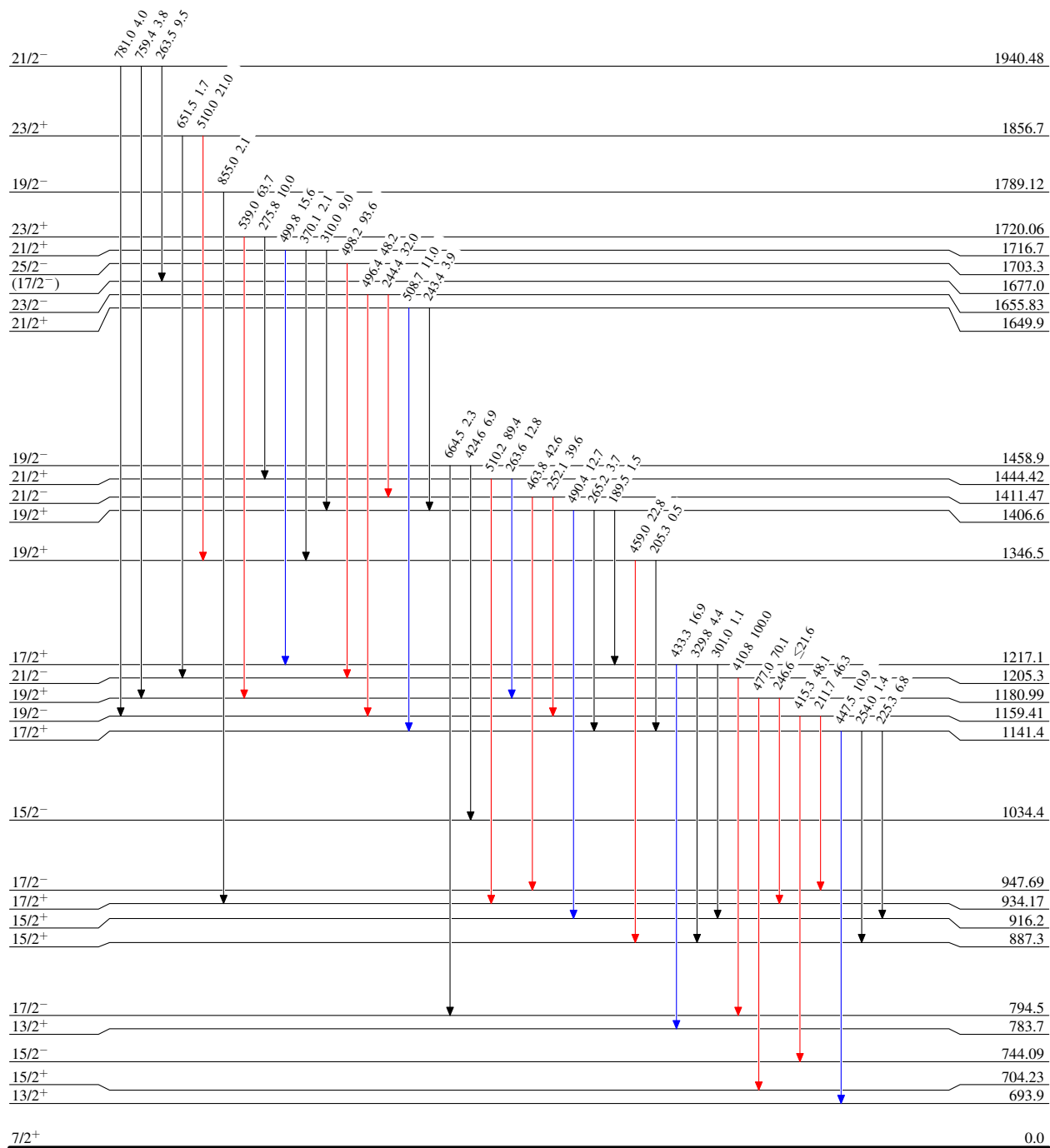
$^{123}\text{Sb}(^{48}\text{Ca},4n\gamma):\text{XUNDL-2}$  2015Ro27

## Level Scheme (continued)

Intensities: Relative  $I_\gamma$   
 @ Multiply placed: intensity suitably divided

## Legend

- $\longrightarrow$   $I_\gamma < 2\% \times I_\gamma^{\max}$   
 $\longrightarrow$   $I_\gamma < 10\% \times I_\gamma^{\max}$   
 $\longrightarrow$   $I_\gamma > 10\% \times I_\gamma^{\max}$



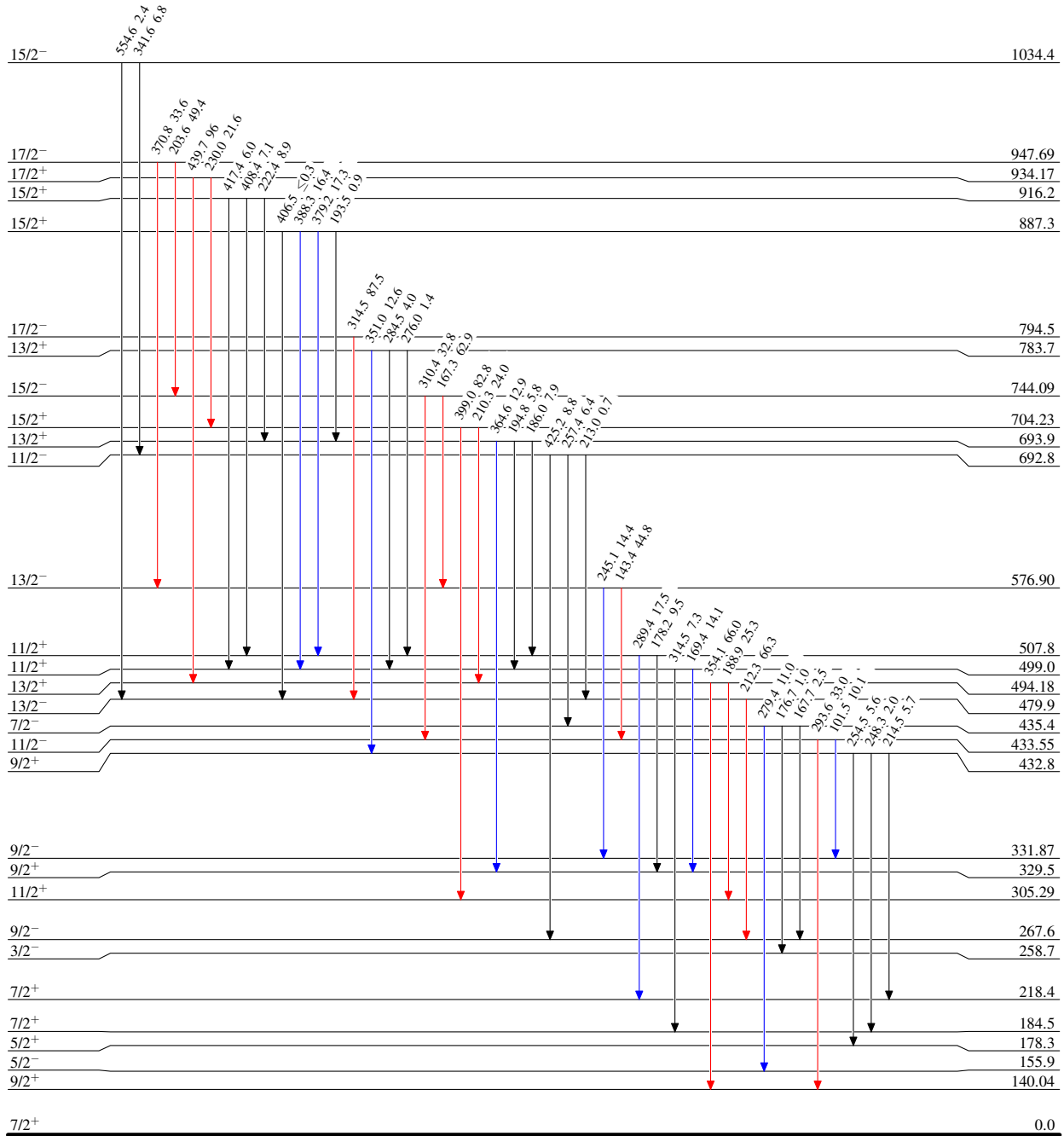
$^{123}\text{Sb}(^{48}\text{Ca},4n\gamma):\text{XUNDL-2}$  2015Ro27

## Level Scheme (continued)

Intensities: Relative  $I_\gamma$   
 @ Multiply placed: intensity suitably divided

## Legend

- $\longrightarrow$   $I_\gamma < 2\% \times I_\gamma^{\max}$   
 $\longrightarrow$   $I_\gamma < 10\% \times I_\gamma^{\max}$   
 $\longrightarrow$   $I_\gamma > 10\% \times I_\gamma^{\max}$

 $^{167}_{71}\text{Lu}_{96}$ 

51.5 min 10

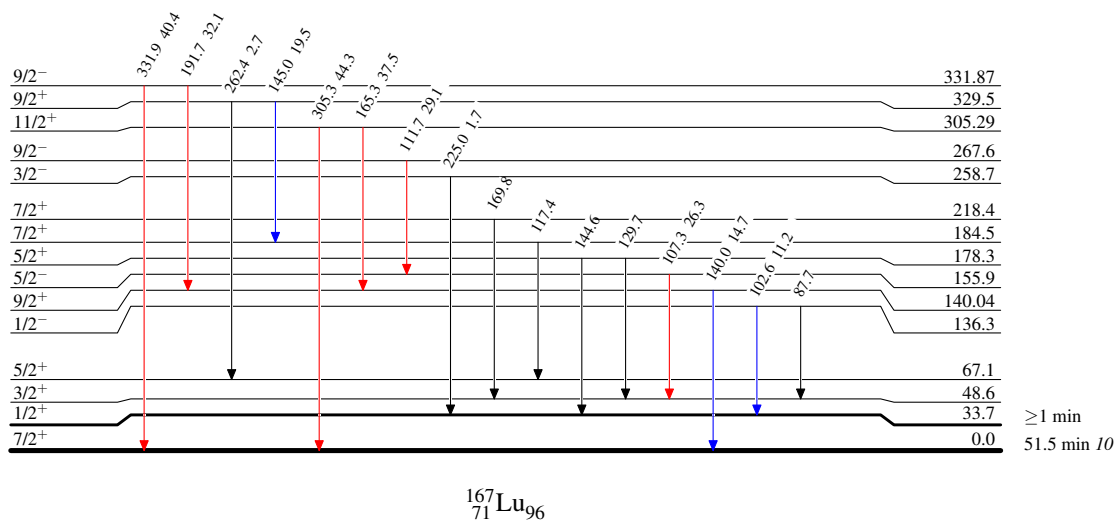
$^{123}\text{Sb}(^{48}\text{Ca},4n\gamma):\text{XUNDL-2}$  2015Ro27

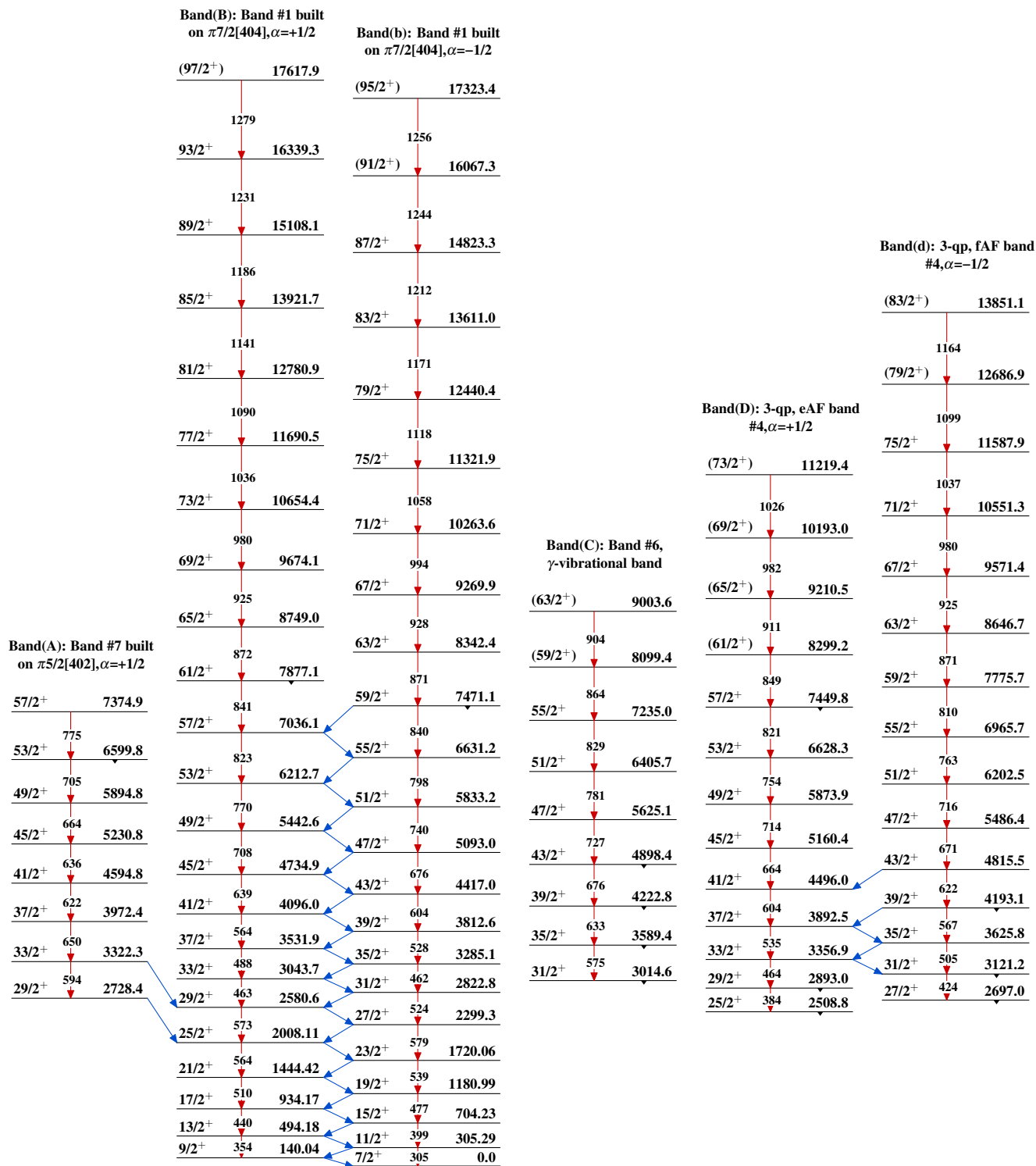
## Level Scheme (continued)

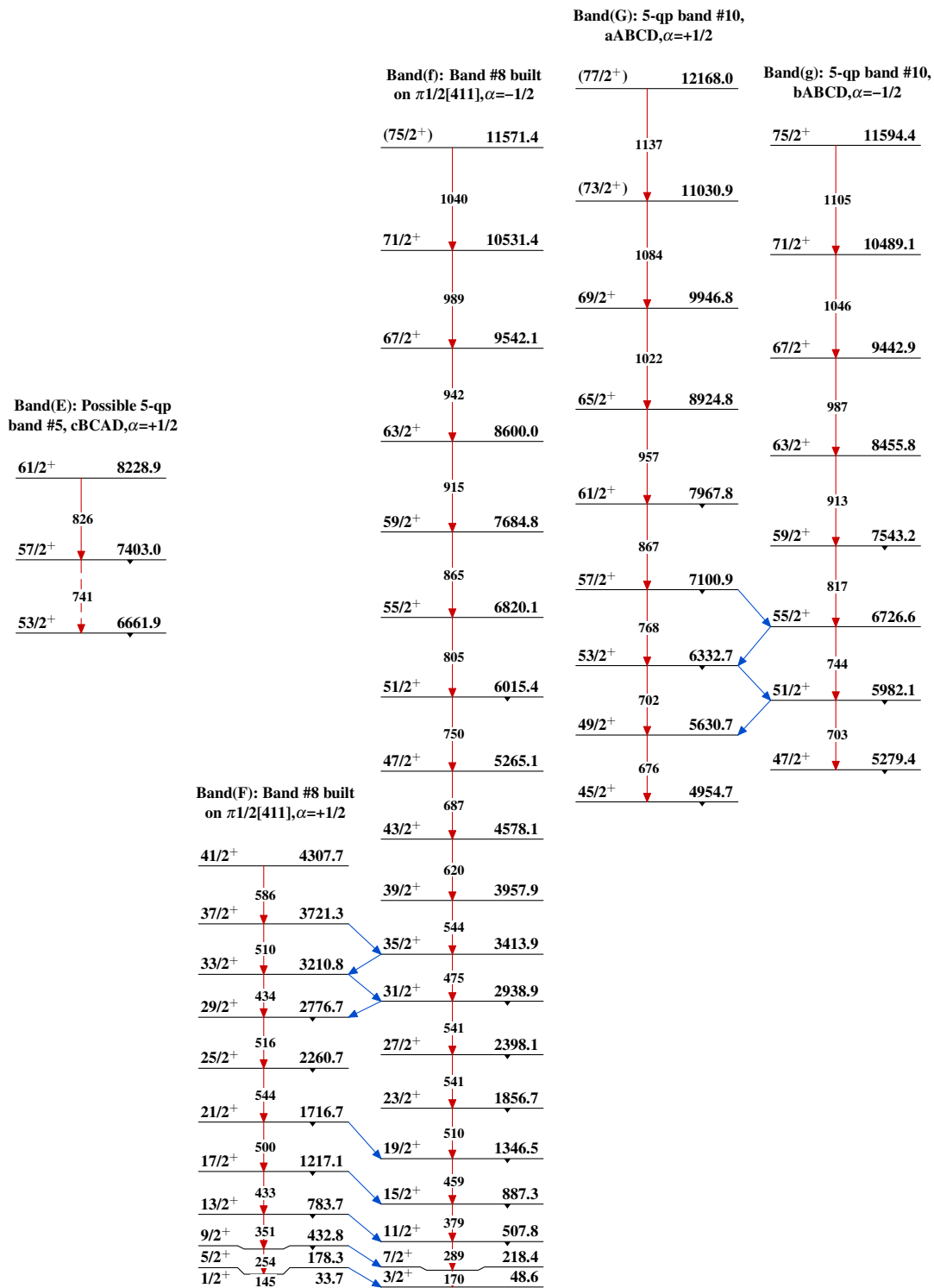
Intensities: Relative  $I_\gamma$   
 @ Multiply placed: intensity suitably divided

## Legend

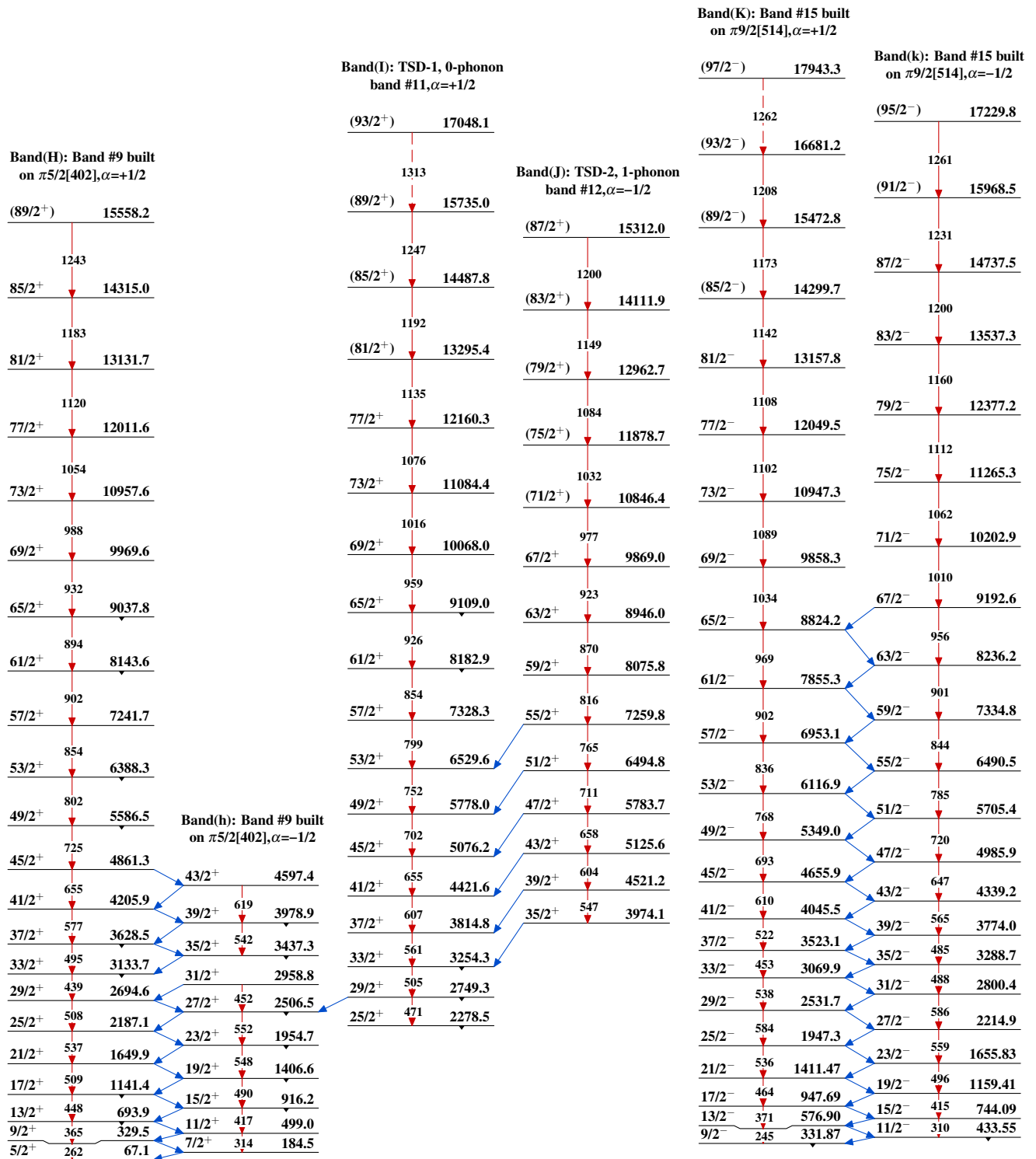
- $I_\gamma < 2\% \times I_\gamma^{\max}$
- $I_\gamma < 10\% \times I_\gamma^{\max}$
- $I_\gamma > 10\% \times I_\gamma^{\max}$



$^{123}\text{Sb}(^{48}\text{Ca}, 4n\gamma): \text{XUNDL-2}$  2015Ro27

$^{123}\text{Sb}(^{48}\text{Ca},4n\gamma):\text{XUNDL-2}$  2015Ro27 (continued)



$^{123}\text{Sb}(^{48}\text{Ca},4n\gamma):\text{XUNDL-2}$  2015Ro27 (continued)

$^{123}\text{Sb}(^{48}\text{Ca},4n\gamma):\text{XUNDL-2}$  2015Ro27 (continued)

Band(M): Possible  
triaxial  
strongly-deformed band  
#18

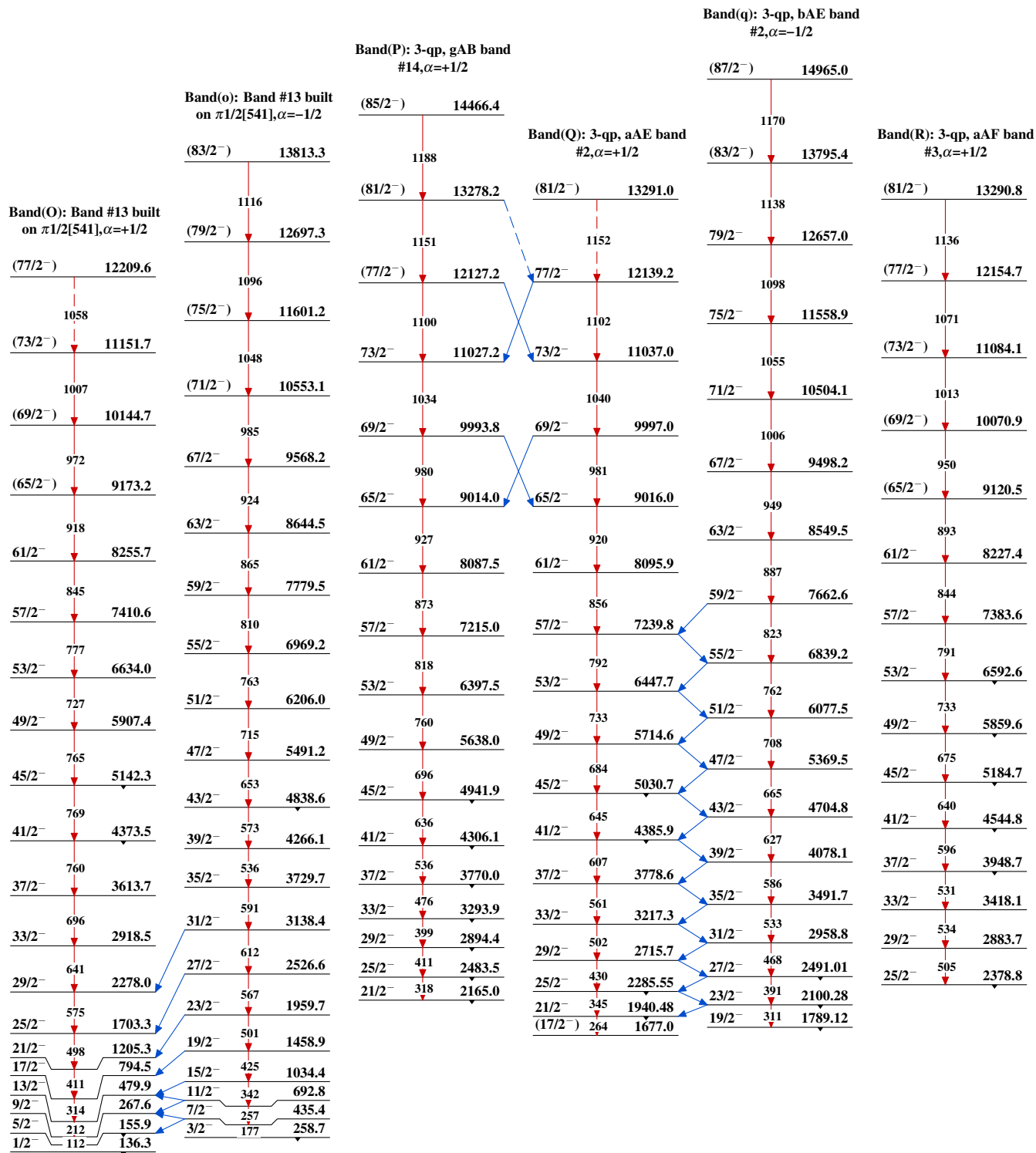
(J3+18)	9310.7+y
(J3+16)	$\xrightarrow{1270}$ 8040.5+y
(J3+14)	$\xrightarrow{1210}$ 6830.5+y
(J3+12)	$\xrightarrow{1148}$ 5682.3+y
(J3+10)	$\xrightarrow{1089}$ 4593.0+y
(J3+8)	$\xrightarrow{1030}$ 3562.9+y
(J3+6)	$\xrightarrow{974}$ 2588.4+y
(J3+4)	$\xrightarrow{918}$ 1670.1+y
(J3+2)	$\xrightarrow{863}$ 807.0+y
(J3)	$\xrightarrow{807}$ y

Band(N): Possible  
triaxial  
strongly-deformed band  
#17

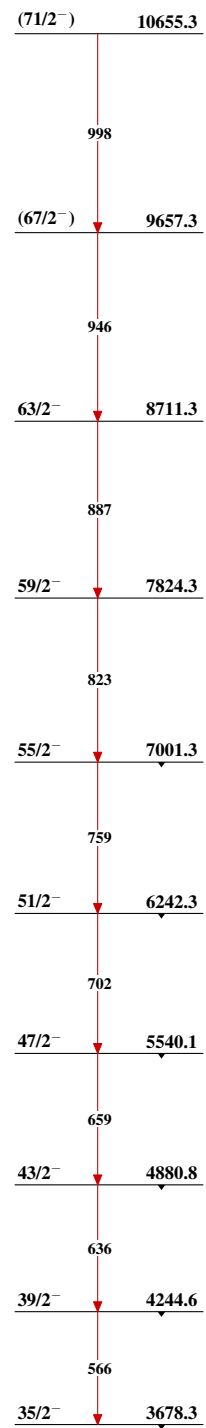
(J2+22)	12802.3+x
(J2+20)	$\xrightarrow{1356}$ 11446.2+x
(J2+18)	$\xrightarrow{1309}$ 10136.9+x
(J2+16)	$\xrightarrow{1264}$ 8872.9+x
(J2+14)	$\xrightarrow{1210}$ 7662.5+x
(J2+12)	$\xrightarrow{1153}$ 6509.4+x
(J2+10)	$\xrightarrow{1096}$ 5413.2+x
(J2+8)	$\xrightarrow{1040}$ 4373.7+x
(J2+6)	$\xrightarrow{985}$ 3389.0+x
(J2+4)	$\xrightarrow{930}$ 2459.0+x
(J2+2)	$\xrightarrow{876}$ 1582.8+x
(J2)	$\xrightarrow{815}$ 768.0+x
(J2)	$\xrightarrow{768}$ x

Band(L): 3-qp, eBC band  
#16

(J1+16)	11194.1
(J1+14)	$\xrightarrow{1009}$ 10185.0
(J1+12)	$\xrightarrow{953}$ 9232.4
(J1+10)	$\xrightarrow{912}$ 8320.4
(J1+8)	$\xrightarrow{859}$ 7461.2
(J1+6)	$\xrightarrow{802}$ 6659.3
(J1+4)	$\xrightarrow{746}$ 5912.9
(J1+2)	$\xrightarrow{682}$ 5230.4
(J1)	$\xrightarrow{676}$ 4554.1

$^{123}\text{Sb}(^{48}\text{Ca}, 4n\gamma): \text{XUNDL-2}$  2015Ro27 (continued)

$^{123}\text{Sb}(^{48}\text{Ca},4n\gamma):\text{XUNDL-2}$  2015Ro27 (continued)

 Band(r): 3-qp, bAF band  
 #3,  $\alpha=-1/2$ 

 $^{167}_{71}\text{Lu}_{96}$